

BAB IV

ANALISIS DAN PEMBAHASAN

4.1. Potensi Energi Listrik dari Sampah Surakarta

Untuk menganalisa dan membahas potensi energi listrik dari sampah Solo di TPA Putri Cempo, penulis mencari data dari beberapa sumber yang *valid* sehingga objek yang diteliti menghasilkan tingkat akurasi hasil yang tinggi. Dalam pembahasan dan analisis ini, data yang penulis perlukan adalah dari berbagai sumber,

Dalam Peraturan Presiden Nomor 18 Tahun 2016 tentang Percepatan Pembangunan Pembangkit Listrik Berbasis Sampah Di Provinsi DKI Jakarta,Kota Tangerang, Kota Bandung, Kota Semarang, Kota Surakarta, Kota Surabaya, Dan Kota Makassar dalam (Pasal 2 Ayat (2) dan Pasal 3 ayat (2)) menyatakan bahwa dilakukan kerjasama antara Kabupaten Karanganyar, Kabupaten Sukoharjo, Kabupaten Boyolali, Kabupaten Wonogiri, Kabupaten Sragen, dan Kabupaten Klaten yang disebut Regional Surakarta, untuk memenuhi skala keekonomian untuk pembangkitan listrik berbasis sampah di Kota Surakarta. Penugasan atau penunjukan sebagaimana dimaksud pada ayat (2) dilakukan oleh Gubernur Jawa Tengah dan/atau Kepala Daerah Regional Surakarta dengan dikoordinasikan oleh Gubernur Jawa Tengah.

Dalam Diktat Teknik Lingkungan ITB (2008) menyatakan bahwa Sampah di TPA dengan pemandaran konvensional = $0,50 - 0,60 \text{ ton/m}^3$ untuk wilayah Indonesia. Dengan demikian kita dapat memprediksi berat sampah regional surakarta berdasarkan data Tabel 4.1., berat sampah dapat dianalisis sebagai berikut:

Tabel 4.1. Volume Rata-rata (m^3) dan berat (Ton) Sampah Perhari
Kabupaten/Kota Regional Surakarta

Kabupaten/Kota	Vol. Sampah Campuran (m^3)	Berat Sampah Camp. (Ton) ($1m^3 = 0,57$ Ton)	Komposisi Sampah Org. (%)	Berat Smph (Q) Org. (Ton)
Karanganyar	315,00	179,55	63	113,12
Bayolali	70,37	40,11	70	28,08
Sragen	180,00	102,60	75	76,95
Sukoharjo	250,00	142,5	80	114,00
Klaten	150,00	85,5	65	55,77
Wonogiri	199,00	113,43	41	46,51
Kota Surakarta	252,00	143,64	61,95	88,98
Massa Total Sampah Organik (Q) (Ton/hari)				523,41

Sumber : Dinas Pekerjaan Umum Kabupaten/Kota, 2011.

4.1.1. Perhitungan jumlah dari *total solid* (TS), *volatile solid* (VS) dan produksi biogas dalam proses *anaerobik digestion*.

$$T_S = 27,7 \% \times Q$$

$$M_S = 74,1\% \times T_S$$

$$M_{BS} = 0,676 \times M_S$$

Keterangan:

Q = jumlah potensi sampah dalam (kg/hari)

T_S = nilai *total solid* dalam (kg/hari)

M_S = Massa *Volatile Solid* dalam (kg/hari)

M_{BS} = Massa produksi biogas dalam (kg/hari)

Diketahui Potensi Sampah Regional Surakarta (Q): 523,41 Ton/hari

Maka:

$$T_S = 27,7\% \times Q$$

$$T_S = 27,7\% \times 523,41 \text{ Ton/hari} = 144,98 \text{ Ton/hari maka,}$$

$$M_S = 74,1\% \times T_S$$

$$= 74,1\% \times 144,98 \text{ Ton/hari} = 107,43 \text{ Ton/hari),}$$

Dari hasil diatas, kita dapat menentukan produksi massa gas metan setiap hari di regional surakarta,

$$M_{BS} = 0,676 \times M_S$$

$$= 0,676 \times 107,43 \text{ Ton/hari} = 72,63 \text{ Ton/hari.}$$

4.1.2. Perhitungan Jumlah Gas Metan yang Dihasilkan

$$M_{GM} = 60\% \times M_{BS}$$

Keterangan:

$$M_{GM} = \text{Massa gas metan (kg/hari)}$$

$$M_{BS} = \text{Massa produksi biogas (kg/hari)}$$

Diketahui Massa Produksi Biogas (M_{BS}): 72,63 (Ton/hari) maka,

$$M_{GM} = 60\% \times M_{BS}$$

$$= 60\% \times 72,63 \text{ Ton/hari} = 43,58 \text{ Ton/hari.}$$

Jadi peroduksi massa gas metan dari gas biogas adalah 66,68 (Ton/hari).

4.1.3. Jumlah Energi yang Dibangkitkan dari Gas Metan

Tabel 4.2. Data Konversi Energi

Konversi Energi	
1 Kg Gas Metan	$6,13 \times 10^7 \text{ J}$
1 kWh	$3,6 \times 10^6 \text{ J}$
1 m ³ gas metan	9,39 kWh

Sumber: Sulistyo (2010)

$$\text{Diketahui } V_{GM} = 43,58 \text{ Ton/hari maka,}$$

$$\text{Produksi Energi (J/h)} = 43,58 \times 6,13 \times 10^7 = 267,15 \times 10^{10} \text{ J/hari}$$

$$\text{Produksi Daya (kW)} = \frac{267,15 \times 10^{10}}{3,6 \times 10^6 \times 24} = 3,03 \times 10^4 \text{ kW.}$$

Keterangan: 24 adalah waktu (jam) dalam 1 hari.

Dalam penelitian ini penulis menerapkan penggunaan Pembangkit Listrik *Gas Turbine (Electricity Generation)* karena biaya dan kapasitas daya yang dibangkitkan juga cukup besar. Dalam aplikasinya, turbin gas biasa digunakan untuk kapasitas daya 1 MW hingga 100 MW.

Dalam bebagai penelitian besar daya yang dapat dibangkitkan oleh Turbin gas adalah 24% - 35% dari potensi daya sampah. Dalam penelitian ini penulis menerapkan nilai efisiensi 30%, sehingga dapat kita tentukan dayanya berikut ini:

$$\begin{aligned} P &= 30\% \times \text{Produksi Daya Sebelum Dibangkitkan} \\ &= 30\% \times 30,3 \text{ MW} = 10,1 \text{ MW}. \end{aligned}$$

Jadi daya yang dapat dibangkitkan oleh turbine gas sebesar 10,1 MW.

4.2. Pengaruh Pembangkit Listrik Tenaga Sampah Terhadap estimasi pertumbuhan kebutuhan listrik

Dalam menganalisa pengaruh PLTSa terhadap pertumbuhan beban Area Sureakarta maka, harus dilakukan analisa besar potensi energi listrik yang bisa dibangkitkan oleh mesin gas atau generator. Tahap selanjutnya yaitu, menganalisa pertumbuhan kebutuhan energi listrik dalam hal ini, penulis menerapkan metode

DKL 3.01, yaitu metode berdasarkan penggunaan energi sektoral (publik, industri, komersil, rumah tangga).

4.2.1. Estimasi Pertumbuhan Beban (2017-2026) Menggunakan Motode DKL 3.01

Tabel 4.3. Jumlah Pelanggan per Sektor APJ Surakarta

Tahun	Rumah Tangga	Bisnis	Industri	Publik	Rasio Elektrifikasi (%)
2015	1.139.681	48.117	1.336	31.924	-
2016	1.170.900	53.861	1.461	33.414	95,91

Sumber: PLN APJ Surakarta, 2016.

Tabel 4.4. Jumlah Energi Terjual (kWh)

Tahun	Rumah Tangga	Bisnis	Industri	Publik	Total
2015	1.439.308.441	444.992.403	2.247.777.050	240.385.290	4.372.463.184
2016	1.529.355.279	487.996.012	2.375.092.098	265.824.580	4.645.301.072

Sumber: PLN APJ Surakarta, 2016

Tabel 4.5. Jumlah Penduduk, Pertumbuhan Produk Domestik Regional Bruto (PDRB) Sektor Industri

Kab./Kota Lingkup APJ Surakarta	Jumlah Penduduk		(PDRB) (Ribu Rupiah)	
	Tahun		Tahun	
	2015	2016	2015	2016
Surakarta	512.207	514.212	2.748.121,10	2.959.727,19
Karanganyar	856.181	863.975	6.414.504,10	6.761.526,81
Sukoharjo	864.245	871.387	8.045.937,72	8.285.661,50
Sragen	878.983	882.198	8.192.457,37	9.397.105,29
Wonogiri	948.976	951.928	2.983.255,55	3.331.761,32
Total	4.060.592	4.083.700	28.384.275,84	30.735.782,11

Sumber: BPS Provinsi Jawa Tengah, 2016

4.2.1.a) Pertumbuhan Kebutuhan Energi Listrik Layanan APJ Surakarta

Pertumbuhan jumlah penduduk pada umumnya akan meningkatkan penggunaan energi listrik di suatu daerah, hal ini terjadi karena peningkatan jumlah penduduk mengindikasikan perkembangan sektor (industri, publik, bisnis, rumah tangga).

Berdasarkan populasi penduduk yang ada di Kabupaten/Kota wilayah layanan APJ Surakarta dan pertumbuhannya setiap tahun maka, akan dapat diprediksikan jumlah penduduk pada tahun berikutnya. Persamaan yang bisa digunakan ialah persamaan:

$$P_t = P_{t-1} (1 + \Delta_{t-1})$$

Dimana :

P_t = besar jumlah penduduk yang di prediksi pada tahun t

P_{t-1} = besar jumlah penduduk yang di prediksi pada tahun t-1

Δ_{t-1} = besar pertumbuhan penduduk pada sebelum tahun t yang akan diprediksi (%).

Estimasi pertumbuhan penduduk Kabupaten/Kota wilayah layanan APJ surakarta didapat berdasarkan pedoman jumlah penduduk beberapa tahun terakhir seperti yang tercantum dalam Tabel 4.5.

$$\Delta_{2016} = \frac{P_{2016} - P_{2015}}{P_{2015}} \times 100\%$$

$$\Delta_{2016} = \frac{4.083.700 - 4.060.592}{4.060.592} \times 100\% = 0,569\%$$

Dengan tingkat pertumbuhan penduduk 2016 tersebut maka, kita dapat memprediksi jumlah penduduk pada tahun 2017 dengan menggunakan persamaan yang berikut:

$$P_{2017} = P_{2016} (1 + \Delta_{2016})$$

$$P_{2017} = 4.083.700 (1 + 0,569\%)$$

$$= 4.106.978$$

Untuk perhitungan 2018 dan seterusnya menggunakan prinsip yang sama,

$$\Delta_{2017} = \frac{P_{2017} - P_{2016}}{P_{2016}} \times 100\%$$

$$\Delta_{2018} = \frac{4.106.978 - 4.083.700}{4.083.700} \times 100\% = 0,569\%.$$

Maka kita dapat memprediksi jumlah penduduk 2018,

$$P_{2018} = P_{2017} (1 + \Delta_{2017})$$

$$P_{2018} = 4.106.978 (1 + 0,570\%) = 4.130.388$$

Untuk tahun 2019 hingga tahun 2025 perhitungan menggunakan cara yang sama.

4.2.1.b) Prediksi Penggunaan Energi Sektor Rumah Tangga

Prediksi pertumbuhan energi listrik di sektor rumah tangga dapat menggunakan persamaan berikut:

$$E_{RT} = Pel. Rt \times UKR_{(t-1)}$$

Keterangan:

E_{RT} = besar konsumsi energi rumah tangga pada tahun t

Pel. Rt = jumlah pelanggan rumah tangga pada tahun t

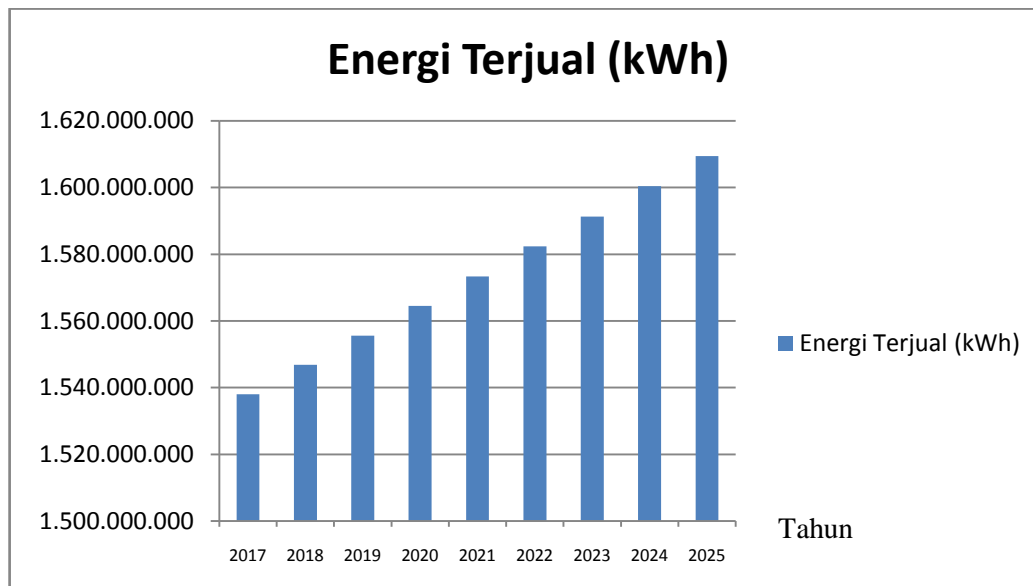
UKR = besar rata-rata konsumsi energi listrik per rumah tangga

Persamaan diatas menyatakan bahwa pertumbuhan jumlah penduduk adalah sebanding dengan pertumbuhan penggunaan energi listrik dari tahun ke tahun. Perhitungan pertumbuhan jumlah penduduk 2016 adalah 0,569 %, nilai pertumbuhan penduduk tersebut untuk tahun-tahun selanjutnya (2017-2025) diasumsikan konstan. Oleh sebab itu, prediksi penggunaan energi sektor rumah tangga 2017-2025 dapat dihitung berdasarkan data penggunaan energi listrik 2016 di tabel 4.3.

Tabel 4.5. Proyeksi Kebutuhan Energi Listrik (GWh) Sektor Rumah Tangga

Tahun	Jumlah Penduduk	Pelanggan RT	Energi Terjual (kWh)
2017	4.106.936	1.177.567,3	1.538.063.660
2018	4.130.304	1.184.267,6	1.546.815.243
2019	4.153.806	1.191.006,1	1.555.616.621
2020	4.177.441	1.197.782,9	1.564.468.080
2021	4.201.211	1.204.598,3	1.573.369.903
2022	4.225.115	1.211.452,5	1.582.322.278
2023	4.249.156	1.218.345,7	1.591.325.793

Tahun	Jumlah Penduduk	Pelanggan RT	Energi Terjual (kWh)
2024	4.273.334	1.225.278	1.600.380.436
2025	4.297.650	1.232.249,9	1.609.486.601



Gambar 4.1. Grafik Perdiksi Pertumbuhan Penggunaan Energi Listrik Sektor Rumah Tangga

4.2.1.c) Prediksi Penggunaan Energi Sektor Bisnis atau Komersil

Perhitungan perkiraan kebutuhan energi listrik pada pelanggan sektor Komersil dapat dihitung dengan rumus sebagai berikut:

$$EP_t = [EP_{t-1} (1+G_t)]$$

Dimana parameter-parameter yang digunakan:

1. Besar jumlah pelanggan rumah tangga (pel Rt)
2. Besar jumlah pelanggan komersil (pel.K)
3. Perbandingan pelanggan komersil terhadap pelanggan rumah tangga (RPK)
4. Tingkat pertumbuhan penggunaan energi listrik sektor komersil (Gt) .

Untuk memprediksi pertumbuhan penggunaan energi listrik sektor komersil maka terlebih dahulu mencari nilai perbandingan antara pelanggan komersil terhadap pelanggan rumah tangga, guna memprediksi jumlah pelanggan komersil

baru. Dengan mengasumsi bahwa rasio antara pelanggan dengan pelanggan rumah tangga relatif sama.

$$RPK = \frac{Pel.K_{2016}}{Pel.Rt_{2016}} = \frac{53.861}{1.170.900} = 0,046$$

Jumlah pelanggan komersil 2017 hingga 2015 dihitung dengan cara mengalikan rasio pelanggan komersil dan pelanggan rumah tangga terhadap pelanggan rumah tangga tahun prediksi.

$$\begin{aligned} Pel.K_{2017} &= Pel.R_{2017} \cdot RPK \\ &= 1.177.567,3 \times 0,046 \\ &= 54.167,69. \end{aligned}$$

$$\begin{aligned} Pel.K_{2018} &= Pel.R_{2018} \cdot RPK \\ &= 1.184.267,6 \times 0,046 \\ &= 54.167,69. \end{aligned}$$

Perhitungan pelanggan komersil atau bisnis menerapkan cara dan langkah-langkah yang sama sehingga nilai prediksi pada tahun 2019-2025 dapat dicari menggunakan software aplikasi.

Nilai tingkat pertumbuhan energi listrik sektor bisnis dapat ditentukan berdasarkan data penggunaan listrik sektor bisnis pada tahun 2015 dan 2016 dari PT. PLN APJ Surakarta.

$$G_{2016} = \frac{EK_{2016}}{EK_{2015}} - 1 = \left(\frac{487.996.012}{444.992.403} - 1 \right) \times 100\% = 9,6638994\%$$

Untuk tahun 2017 hingga 2015 persentase pertumbuhan pelanggan sektor bisnis sama seperti tahun 2016.

Prakiraan jumlah konsumsi energi listrik dapat ditentukan berdasarkan data jumlah energi yang dipakai di sektor bisnis yang bersumber dari PT. PLN APJ Surakarta, dan setiap tahun mengalami permbuhan 9,664%.

$$\begin{aligned} EK_{2017} &= EK_{2016} (1+G_{2016}) \\ &= 487.996.021 (1 + 9,664\%) \\ &= 535.155.465,5 \text{ kWh} \end{aligned}$$

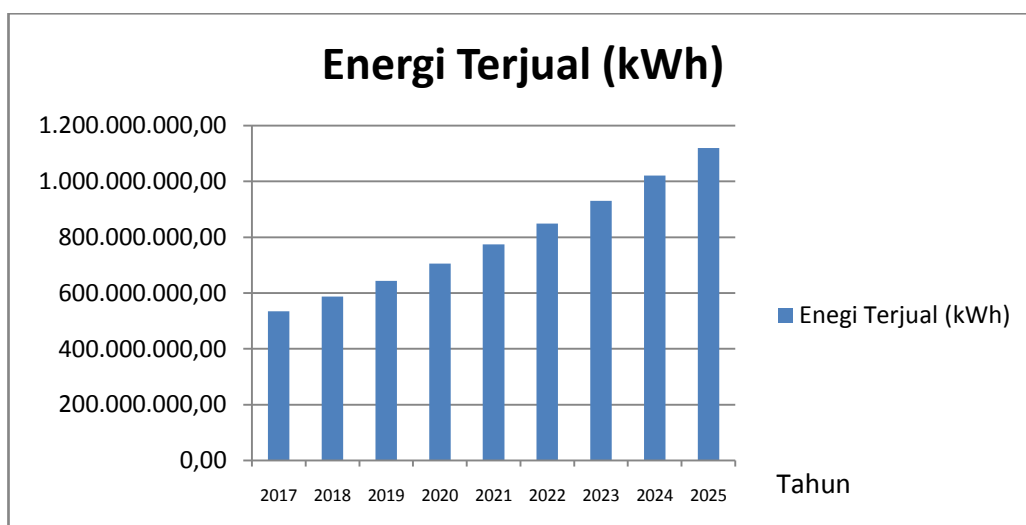
$$\begin{aligned} EK_{2018} &= EK_{2017} (1+G_{2017}) \\ &= 535.155.465,5 (1 + 9,664\%) \end{aligned}$$

$$= 586.872.351,4 \text{ kWh}$$

Untuk perhitungan prediksi jumlah penggunaan energi listrik sektor bisnis tahun 2019 hingga 2025 menerapkan langkah-langkah dan cara-car yang sama. Pada tabel 4.6. dan gambar 4.2. akan menyajikan data dan grafik prakiraan jumlah penggunaan energi listrik sektor industri.

Tabel 4.6. Data jumlah Pelanggan Sektor Rumah Tangga, Bisnis dan Jumlah Penggunaan Energi Listrik Sektor Bisnis.

Tahun	Pelanggan R. Tangga	Pelanggan Bisnis	Energi Sek. Bisnis
2017	1.177.567,3	54.168,0958	535.155.465,5
2018	1.184.267,6	54.476,3096	586.872.351,4
2019	1.191.006,1	54.786,2806	643.587.105
2020	1.197.782,9	55.098,0134	705.782.715,4
2021	1.204.598,3	55.411,5218	773.988.847
2022	1.211.452,5	55.726,815	848.786.350,5
2023	1.218.345,7	56.043,9022	930.812.209,6
2024	1.225.278	56.362,788	1.020.764.965
2025	1.232.249,9	56.683,4954	1.119.410.664



Gambar 4.2. Grafik Prakiraan Penggunaan Energi Listrik Sektor Komersil atau Bisnis Tahun 2017 hingga 2025

4.2.1.d) Prediksi Penggunaan Energi Listrik Sektor Industri

Untuk menghitung proyeksi kebutuhan energi listrik sektor industri dapat dilakukan cara dan langkah-langkah sebagai berikut,

$$EI_t = \left[EI_{t-1} \left(1 + \frac{G_t \cdot e_t}{100} \right) \right]$$

Perhitungan perkiraan kebutuhan energi listrik pada pelanggan sektor industri dilakukan dengan menggunakan parameter-parameter.

1. Jumlah pelanggan industri (Pel.It)
2. Tingkat pertumbuhan PDRB sektor industri (Gt)
3. Nilai elastisitas pelanggan sektor industri (ei)

Untuk mengetahui tingkat pertumbuhan PDRB Sektor industri dapat ditentukan berdasarkan data pada tabel 4.5.

$$\begin{aligned} G_{2016} &= \frac{G_{2016} - G_{2015}}{G_{2015}} \times 100\% \\ &= \frac{28.384.275,84 - 30.735.782,11}{30.735.782,11} \times 100\% = 8,23\% \end{aligned}$$

Besar jumlah pelanggan industri pada tahun 2017 (Pel.I 2017) dapat dihitung dari jumlah pelanggan industri 2016 yang sebesar 1.461 dan tingkat pertumbuhan PDRB pada tahun 2016 (G_{2016}) sebesar 8,23%. Diasumsikan bahwa nilai pertumbuhan PDRB untuk 2017 hingga 2017 adalah sama, maka dari data dan persamaan diatas dapat dihitung nilai Pelanggan industri berikut:

$$\begin{aligned} \text{Pel.I}_{2017} &= \text{Pel.I}_{2016} (1 + G_{2016}) \\ &= 1.461 (1 + 0,0823) \\ &= 1.581,24 \text{ pelanggan} \\ \text{Pel.I}_{2018} &= \text{Pel.I}_{2017} (1 + G_{2018}) \\ &= 1.581,24 (1 + 0,0823) \\ &= 1.711,29 \text{ pelanggan} \end{aligned}$$

Untuk perhitungan jumlah pelanggan sektor industri tahun 2019 hingga 2025 menggunakan langkah-langkah dan cara-cara yang sama.

Besar nilai elastisitas pelanggan industri pada tahun 2016 dapat dihitung menggunakan data konsumsi daya pada tahun 2015 sebesar 2.247.777.050 kWh dan data konsumsi energi listrik sektor industri pada tahun 2016 sebesar 2.375.092.098 kWh.

$$\begin{aligned} e_1 &= \left(\frac{EI_{2016}}{EI_{2015}} - 1 \right) \frac{100}{G_{2016}} \\ &= \left(\frac{2.375.092.098}{2.247.777.050} - 1 \right) \frac{100}{8,23} = 0,688 \end{aligned}$$

Besar elastisitas pelanggan industri untuk tahun 2017 hingga 2025 diasumsikan sama, untuk prediksi penggunaan energi listrik sektor industri tahun 2017 hingga tahun 2025 dapat menggunakan parameter-parameter berikut yang meliputi:

1. Tingkat pertumbuhan PDRB sektor industri pada tahun (G_{2016}) = 8,23%
2. Besar nilai elastisitas pelanggan Industri (e_1) = 0,688
3. Besar penggunaan energi listrik sektor industri tahun 2016 (EI_{2016}) = 2.375.092.098 kWh.

$$\begin{aligned} EI_{2017} &= \left[EI_{2016} \left(1 + \frac{e_1 \cdot G_{2017}}{100} \right) \right] \\ &= \left[2.375.092.098 \text{ kWh} \left(1 + \frac{0,688 \cdot 8,23}{100} \right) \right] \\ &= 2.509.575.513 \text{ kWh} \end{aligned}$$

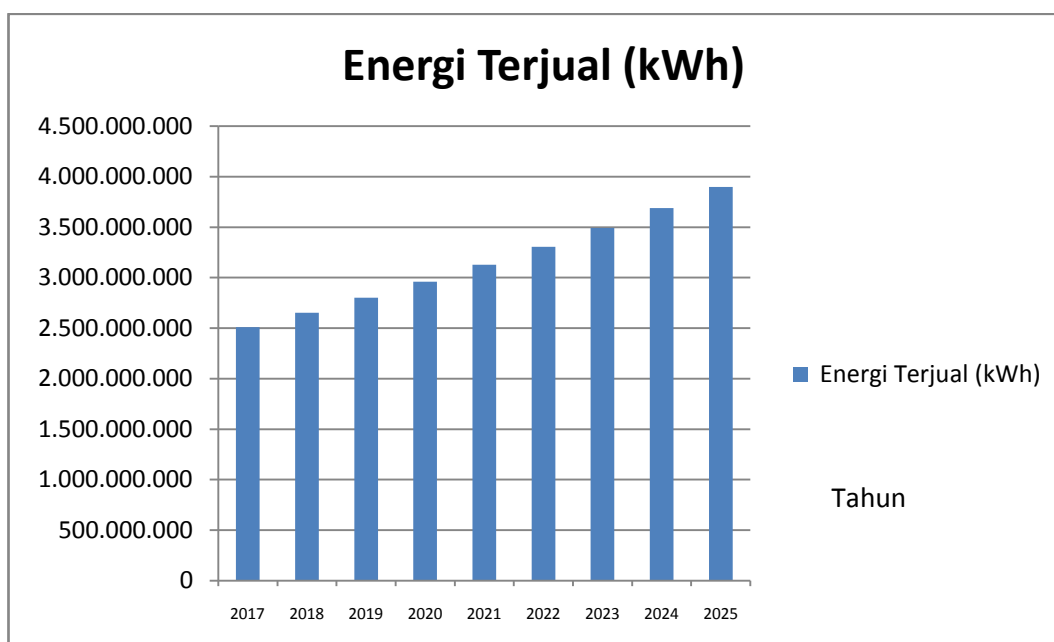
Untuk 2018 dan seterusnya menggunakan elastisitas dan pertumbuhan PDRB yang bernilai sama seperti nilai 2016, sebagai contoh untuk konsumsi energi listrik sektor industri sebagai berikut:

$$\begin{aligned} EI_{2018} &= \left[EI_{2017} \left(1 + \frac{e_1 \cdot G_{2018}}{100} \right) \right] \\ &= \left[2.509.575.513 \text{ kWh} \left(1 + \frac{0,688 \cdot 8,23\%}{100} \right) \right] \\ &= 2.651.673.701 \text{ kWh.} \end{aligned}$$

Untuk perhitungan 2019 hingga 2025 juga menggunakan langkah-langkah dan cara yang sama dalam memprediksi konsumsi energi listrik sektor publik. Pada tabel 4.7. dan gambar 4.3. dapat dilihat data atau gambaran pelanggan dan penggunaan energi listrik 2017 hingga 2025.

Tabel 4.7. Data Jumlah Pelanggan dan Energi Sektor Industri

Tahun	Jumlah pelanggan Sektor Industri	Penggunaan Energi Listrik Sek. Industri (kWh)
2017	1.581	2.509.575.513
2018	1.711	2.651.673.701
2019	1.852	2.801.817.830
2020	2.004	2.960.463.480
2021	2.169	3.128.092.028
2022	2.348	3.305.212.106
2023	2.541	3.492.361.148
2024	2.750	3.690.107.017
2025	2.977	3.899.049.733



Gambar 4.3. Grafik Prakiraan Kebutuhan Energi Listrik Sektor Industri

4.2.1.e) Prediksi Penggunaan Energi Listrik Sektor Publik

Untuk menentukan prediksi pertumbuhan energi listrik sektor publik dapat menggunakan persamaan berikut:

$$EP_t = [EP_{t-1} (1 + G_t)]$$

Keterangan:

Pel.Rt = jumlah pelanggan sektor rumah tangga

Pel.Pt = jumlah pelanggan sektor publik

RPP = rasio jumlah pelanggan publik terhadap pelanggan rumah tangga

Gt = tingkat pertumbuhan penggunaan energi listrik sektor publik

Langkah awal perhitungan untuk memprediksi pertumbuhan penggunaan energi listrik sektor publik adalah mencari besar nilai perbandingan antara jumlah pelanggan sektor publik terhadap pelanggan sektor rumah tangga berdasarkan data tahun 2016. Setelah itu, dilakukan perhitungan jumlah pelanggan publik baru berdasarkan data rasio pelanggan dan data jumlah pelanggan pada tahun 2016. Rasio pelanggan sektor publik terhadap pelanggan sektor rumah tangga diasumsikan sama untuk tahun-tahun selanjutnya.

$$RPP = \frac{\text{Pel.P}_{2016}}{\text{Pel.Rt}_{2016}} = \frac{33.414}{1.170.900} = 0,028537$$

Untuk prediksi jumlah pelanggan sektor publik tahun 2017 dapat dihitung dengan mengalikan rasio pelanggan publik tahun 2016 dengan jumlah pelanggan rumah pada tahun 2017.

$$\begin{aligned}\text{Pel.P}_{2017} &= \text{Pel.R}_{2017} \cdot RPP \\ &= 1.177.567 \times 0,028537\end{aligned}$$

$$= 33.604$$

$$\begin{aligned}\text{Pel.P}_{2018} &= \text{Pel.R}_{2018} \cdot RPP \\ &= 1.184.267 \times 0,028537 \\ &= 33.795\end{aligned}$$

Perhitungan yang sama dilakukan untuk memprediksi jumlah pelanggan sektor publik dari tahun 2019 hingga tahun 2025.

Untuk menghitung tingkat pertumbuhan energi listrik sektor publik dapat dihitung dari data penggunaan energi listrik sektor publik pada tahun 2015 sebesar 240.385.290 kWh dan pada tahun 2016 sebesar 265.824.580 kWh.

$$G_{2016} = \frac{EP_{2016}}{EP_{2015}} - 1$$

$$G_{2016} = \frac{265.824.580}{240.385.290} - 1 = 0,105827149$$

Untuk tingkat pertumbuhan penduduk untuk tahun-tahun selanjutnya diasumsikan sama dengan tingkat pertumbuhan pertumbuhan dengan tahun-tahun sebelumnya.

Perkiraan konsumsi energi listrik sektor publik dapat dilakukan dengan menggunakan parameter-parameter meliputi:

- a. Konsumsi energi listrik tahun 2016 (EP_{2016}) = 265.824.580 kWh
- b. Tingkat pertumbuhan konsumsi energi listrik 2016 (G_{2016}) = 1.0583%

Penggunaan energi sektor publik adalah

$$\begin{aligned} EP_{2017} &= [EP_{2016} (1+G_{2016})] \\ &= [265.824.580 (1 + 0,10583)] \\ &= 293.956.037,4 \text{ kWh.} \end{aligned}$$

$$\begin{aligned} EP_{2017} &= [EP_{2016} (1+G_{2016})] \\ &= [293.956.037,4 (1 + 0,10583)] \\ &= 325.064.566,8 \text{ kWh.} \end{aligned}$$

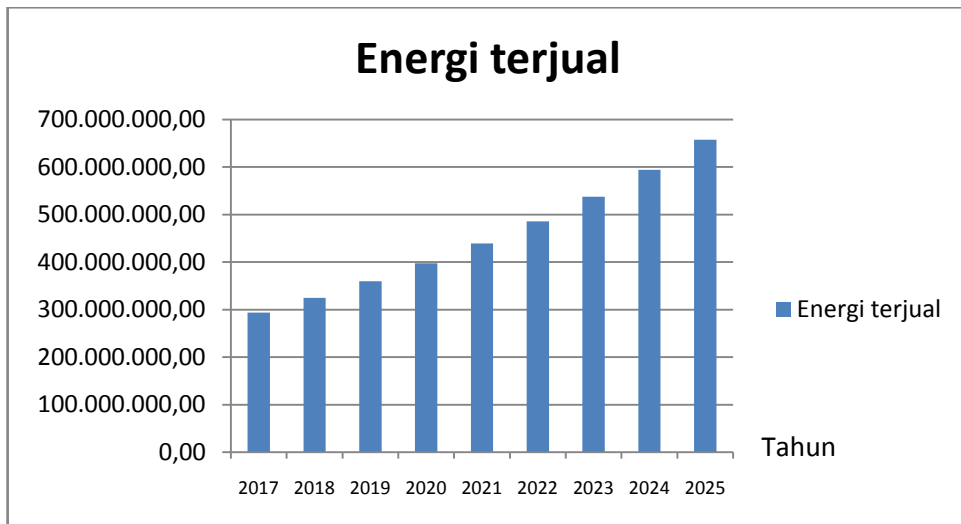
Untuk perhitungan prediksi penggunaan energi sektor publik pada tahun 2019 sampai 2025 menggunakan cara dan langkah yang sama. Pada tabel 4.8 dan gambar 4.4 dapat dilihat prediksi pelanggan dan penggunaan energi listrik sektor publik dari 2017 hingga 2025.

Tabel 4.8. Prediksi Kebutuhan Energi Listrik Sektor Publik

Tahun	Jumlah Pelanggan Rumah Tangga	Jumlah Pelanggan Publik	Penggunaan Energi Sektor Publik (kWh)
2017	1.177.567	33.604	293.956.037,4
2018	1.184.267	33.795	325.064.566,8
2019	1.191.006	33.987	359.465.223,2
2020	1.197.782	34.181	397.506.402,9

Tahun	Jumlah Pelanggan Rumah Tangga	Jumlah Pelanggan Publik	Penggunaan Energi Sektor Publik (kWh)
2021	1.204.598	34.375	439.573.372,2
2022	1.211.452	34.571	486.092.169
2023	1.218.345	34.767	537.533.917,4
2024	1.225.278	34.965	594.419.599,3
2025	1.232.249	35.164	657.325.330,8

Gambar 4.4. Grafik Prakiraan Energi Listrik Sektor Bisnis



4.2.1.f) Jumlah Prediksi Total Pelanggan dan Konsusmsi Energi Listrik

Jumlah pelanggan listrik total dapat dihitung dengan persamaan berikut :

$$\text{Pel.Tt} = \text{Pel.Rt} + \text{Pel.Kt} + \text{Pel.It} + \text{Pel.Pt}$$

Rumus ini diterapkan untuk menghitung jumlah pelanggan total yang tersambung dalam setiap 1 tahun dari semua sektor. Dalam hal ini, perhitungan sama dapat diterapkan dari tahun 2017 hingga 2025. Pada Tabel 4.9 dapat dilihat prediksi jumlah pelanggan layanan APJ Surakarta 2017 hingga 2025.

Tabel 4.9. Prediksi Jumlah Total Pelanggan Rumah Tangga, Komersil, Industri, Publik Wilayah Layanan APJ Surakarta

Tahun	Pelanggan Rum. Tangga	Pelanggan Bisnis	Pelanggan Industri	Pelanggan Publik	Total Pelanggan
2017	1.177.567	54.168	1.581	33.604	1.266.920
2018	1.184.267	54.476	1.711	33.795	1.274.249
2019	1.191.006	54.786	1.852	33.987	1.281.631
2020	1.197.782	55.098	2.004	34.181	1.289.065
2021	1.204.598	55.411	2.169	34.375	1.296.553
2022	1.211.452	55.726	2.348	34.571	1.304.097
2023	1.218.345	56.043	2.541	34.767	1.311.696
2024	1.225.278	56.362	2.750	34.965	1.319.355
2025	1.232.249	56.683	2.977	35.164	1.327.073

Kebutuhan atau konsumsi energi listrik total dapat dihitung dengan persamaan berikut:

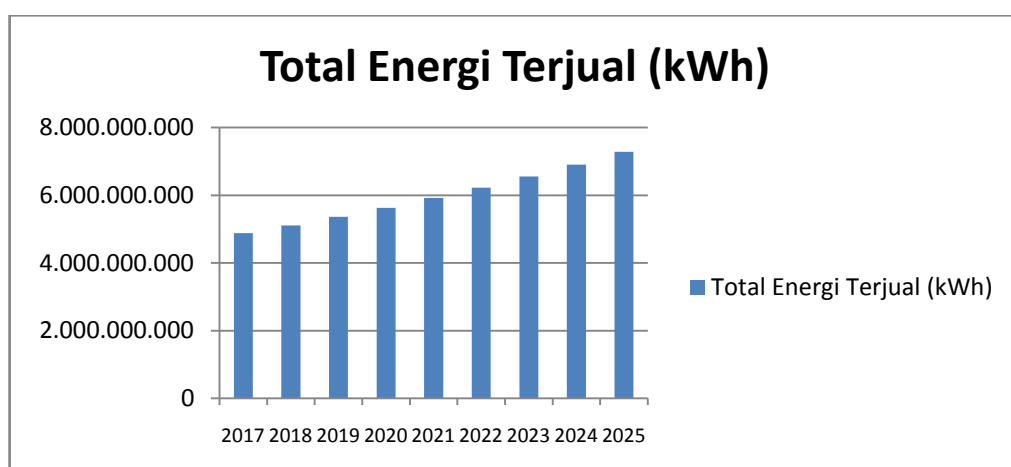
$$Ett = ERt + EKt + EIt + Ept.$$

Secara lengkap, konsumsi total energi listrik dapat dilihat pada tabel 4.10 berikut,

Tabel 4.10. Prediksi Penggunaan Total Energi (kWh) Listrik APJ Surakarta

Thn	Bisnis	RT	Industri	Publik	Total
t	EBt	ERt	EIt	EPt	ETt
2017	535.155.465	1.538.063.660	2.509.575.513	293.956.037	4.876.750.675
2018	586.872.351	1.546.815.243	2.651.673.701	325.064.566	5.110.425.861
2019	643.587.105	1.555.616.621	2.801.817.830	359.465.223	5.360.486.779
2020	705.782.715	1.564.468.080	2.960.463.480	397.506.402	5.628.220.677
2021	773.988.847	1.573.369.903	3.128.092.028	439.573.372	5.915.024.150

Thn	Bisnis	RT	Industri	Publik	Total
t	EBt	ERt	EIt	EPt	ETt
2022	848.786.350	1.582.322.278	3.305.212.106	486.092.169	6.222.412.903
2023	930.812.210	1.591.325.793	3.492.361.148	537.533.917	6.552.033.068
2024	1.020.764.965	1.600.380.436	3.690.107.017	594.419.599	6.905.672.017
2025	1.119.410.664	1.609.486.601	3.899.049.733	657.325.330	7.285.272.328



Gambar 4.5. Grafik Prakiraan Penggunaan Total Energi Listrik

4.2.1.g) Peramalan Pertumbuhan Beban Puncak

Dalam menganalisis pertumbuhan energi listrik juga diperlukan analisa terhadap pertumbuhan beban puncak guna menganalisis lebih lanjut keperluan penambahan supplai energi ke suatu jaringan. Persamaan berikut menyajikan penyelesaian peramalan beban puncak,

$$BP_t = \frac{EP_t}{8760 \times LF_t}$$

dimana :

BP_t = besar beban puncak pada tahun ke t

EP_t = besar energi produksi total sektor pada tahun ke t

LF_t = besar nilai load factor pada tahun ke t

Load Factor (LF) Ditentukan Dengan Persaman:

$$LF_t = lf_R \frac{ER_t}{ET_t} + lf_{PC} \frac{EK_t + EP_t}{ET_t} + lf_I \frac{EI_t}{ET_t}$$

Dimana:

ET_t = jumlah energi terjual pada tahun ke t (KWh);

ER_t = jumlah konsumsi energi sektor rumah tangga pada tahun ke t (KWh);

EK_t = jumlah konsumsi energi sektor komersil pada tahun ke t (kWh) ;

EP_t = jumlah konsumsi energi sektor publik pada tahun ke t (KWh);

EI_t = jumlah konsumsi enjergi sektor industri tahun ke t (kWh);

Untuk nilai faktor beban di tiap-tiap sektor, berdasarkan hasil survei dan simulasi yang dilakukan di Kota besar di Indonesia oleh Kikih Siwi Koncoro (2010) tentang Studi Pembangunan Pembangkit Listrik Tenaga Sampah 10 MWe di Kota Medan ditinjau dari Aspek Teknis, Ekonomi dan Lingkunga. Menyatakan bahwa nilai faktor beban adalah:

0,45 = Angka faktor beban untuk sektor rumah tangga

0,55 = Angka faktor beban untuk sektor komersil dan publik

0,7 = Angka faktor beban untuk sektor industri

Dengan persamaan diatas, maka dapat ditentukan prediksi beban puncak 2017 hingga 2025 berdasarkan hasil prediksi pertumbuhan energi listrik tahun 2017-2025 pada tabel 4.10,

Perkiraan perbandingan energi beban rumah tangga terhadap total konsumsi energi 2017,

$$\frac{ER_{2017}}{ET_{2017}} = \frac{1.538.063.660}{4.876.750.675} = 0,315386978$$

Perkiraan perbandingan energi beban komersil dan publik terhadap total konsumsi energi 2017,

$$\frac{EK_{2017} + EP_{2017}}{ET_{2017}} = \frac{535.155.465 + 293.956.037}{4.876.750.675} = 0,1700131$$

Perkiraan perbandingan energi beban industri terhadap total konsumsi energi 2017,

$$\frac{EI_{2017}}{ET_{2017}} = \frac{2.509.575.513}{4.876.750.675} = 0,514599921.$$

Maka, dapat ditentukan besar faktor beban berdasarkan persamaan diatas,

$$LF_{2017} = 0,45 \times 0,315386978 + 0,55 \times 0,1700131 + 0,7 \times 0,514599921 = 0,595651$$

Untuk faktor beban tahun 2018 menggunakan cara yang sama, seperti perhitungan berikut

$$\frac{ER_{2018}}{ET_{2018}} = \frac{1.546.815.243}{5.110.425.861} = 0,14192414$$

$$\frac{EK_{2018} + EP_{2018}}{ET_{2018}} = \frac{586.872.351 + 325.064.566}{5.110.425.861} = 0,0935072$$

$$\frac{EI_{2018}}{ET_{2018}} = \frac{2.651.673.701}{5.110.425.861} = 0,36022$$

$$LF_{2018} = 0,45 \times 0,302678345 + 0,55 \times 0,178446 + 0,7 \times 0,51887529 = 0,597563$$

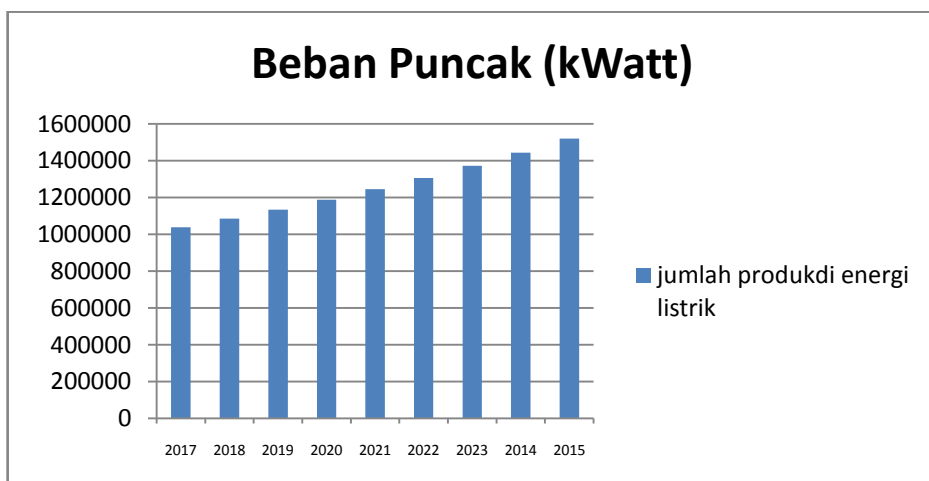
Untuk tahun 2019 hingga 2025 menggunakan cara dan langkah yang sama.

Bila diasumsikan efisiensi jaringan distribusi tenaga listrik di APJ Surakarta tahun 2016-2025 adalah 93% (berdasarkan data rata-rata rugi jaringan 2010-2015, RUPTL 2015-2026), maka dapat ditentukan besar total produksi energi 2017-2025 dengan menggunakan perkiraan penggunaan energi listrik dari 2017 hingga 2025 dalam tabel 4.10. Dengan persamaan $EP_t = ET_t / \text{Efisiensi}$, sehingga dapat ditentukan nilai data perkiraan beban puncak 2017-2025 seperti pada tabel 4.11. berikut,

$$Bp_{2017} = \frac{EP_{2017}}{8760 \cdot LF_{2017}} = \frac{5.418.611.861}{8760 \cdot 0,595651} = 1.038.464,97 \text{ kWatt}$$

Tabel 4.11. Prakiraan Beban Puncak 2017 hingga 2025

Tahun	Energi Produksi (kWh)	Konsumsi Energi Total (kWh)	Beban Puncak (kWatt)
2017	5.243.817.930	4.876.750.675	1.004.966,10
2018	5.495.081.571	5.110.425.861	1.049.750,29
2019	5.763.964.278	5.360.486.779	1.097.775,54
2020	6.051.850.190	5.628.220.677	1.149.303,38
2021	6.360.241.022	5.915.024.150	1.204.618,11
2022	6.690.766.562	6.222.412.903	1.264.028,88
2023	7.045.196.847	6.552.033.068	1.327.872,13
2024	7.425.453.782	6.905.672.017	1.396.513,88
2025	7.833.626.159	7.285.272.328	1.470.352,75



Gambar 4.6. Grafik Prakiraan Beban Puncak APJ Surakarta

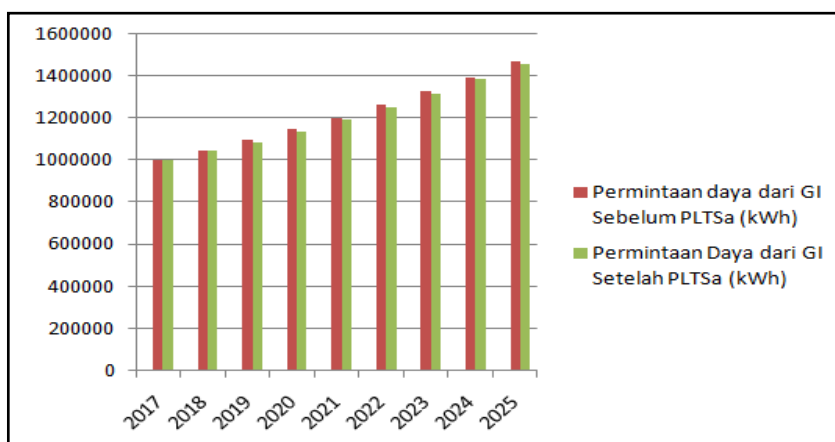
4.2.1.h) Pengaruh Penerapan PLTSa Terhadap Proyeksi Pertumbuhan Permintaan Daya Listrik Saat Beban Puncak pada GI di APJ Surakarta

Dengan diterapkan penambahan PLTSa di jaringan distribusi APJ Surakrata, tentunya mempengaruhi besar supply daya dari gardu induk APJ Surakarta. Jika diasumsikan PLTSa beroperasi dan dikoneksikan di jaringan distribusi APJ Surakarta pada tahun 2019 maka, pengaruhnya dapat dilihat pada tabel 4.12 berikut,

Tabel 4.12. Prakiraan permintaan daya dari GI atau Sumber Lainnya Sebelum dan Setelah Pemasangan PLTSa di APJ Surakarta,

Tahun	Permintaan daya dari GI Sebelum PLTSa (kW)	Permintaan Daya dari GI Setelah PLTSa (kW)	Pengaruh PLTSa Terhadap Pengurangan Permintaan Daya Listrik dari GI (%)
2017	1.004.966,10	1.004.966,10	0
2018	1.049.750,29	1.049.750,29	0
2019	1.097.775,54	1.087.675,54	0,920
2020	1.149.303,38	1.139.203,38	0,879
2021	1.204.618,11	1.194.518,11	0,838
2022	1.264.028,88	1.253.928,88	0,799
2023	1.327.872,13	1.317.772,13	0,760
2024	1.396.513,88	1.386.413,88	0,723
2025	1.470.352,75	1.460.252,75	0,686

Penurunan nilai persentase pengaruh PLTSa terhadap permintaan daya dari GI dikarenakan faktor peningkatan permintaan daya listrik di Surakarta setiap tahun mengalami peningkatan, sedangkan dalam penelitian dianumsikan besar energi listrik yang dihasilkan oleh PLTSa tiap tahunnya adalah sama.



Gambar 4.7. Grafik Perbandingan Prakiraan Permintaan Daya dari GI Sebelum dan Setelah Penerapan (PLTSa) di APJ Surakarta

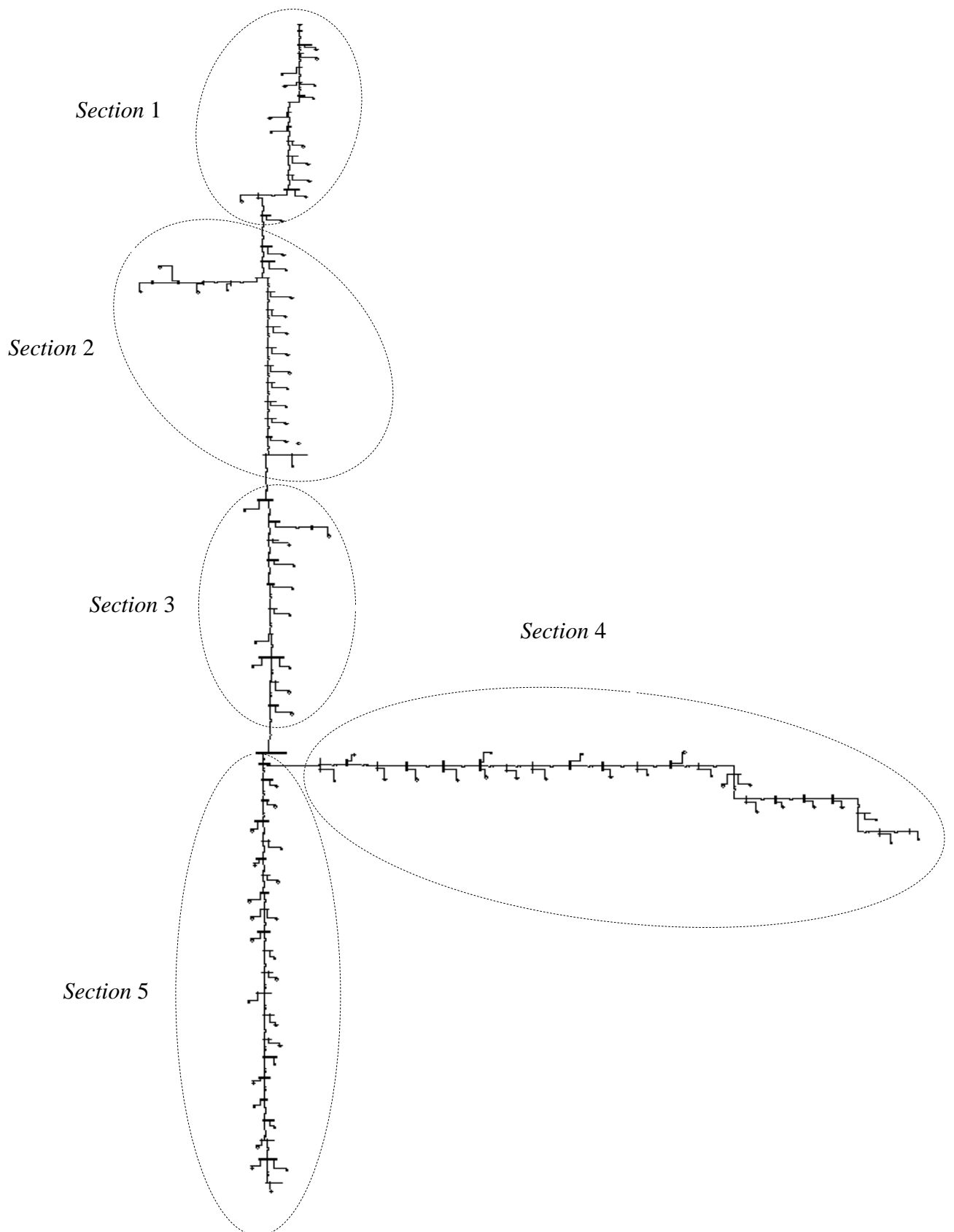
4.3. Simulasi Aliran Daya

Simulasi aliran daya pada penyulang GDO 04 dan PALUR 01 menggunakan ETAP. Parameter yang diamati adalah Profil Tegangan dan rugi-rugi daya berupa daya aktif dan daya reaktif. pada simulasi ini menggunakan 2, Skenario pertama dilakukan simulasi pada penyulang GDO 04 dan PLR 01 tanpa DG saat operasi beban puncak, skenario kedua dilakukan dengan penerapan DG saat operasi beban puncak. Data beban puncak dan single diagram dijelaskan berikut,

A. Single Line Digram

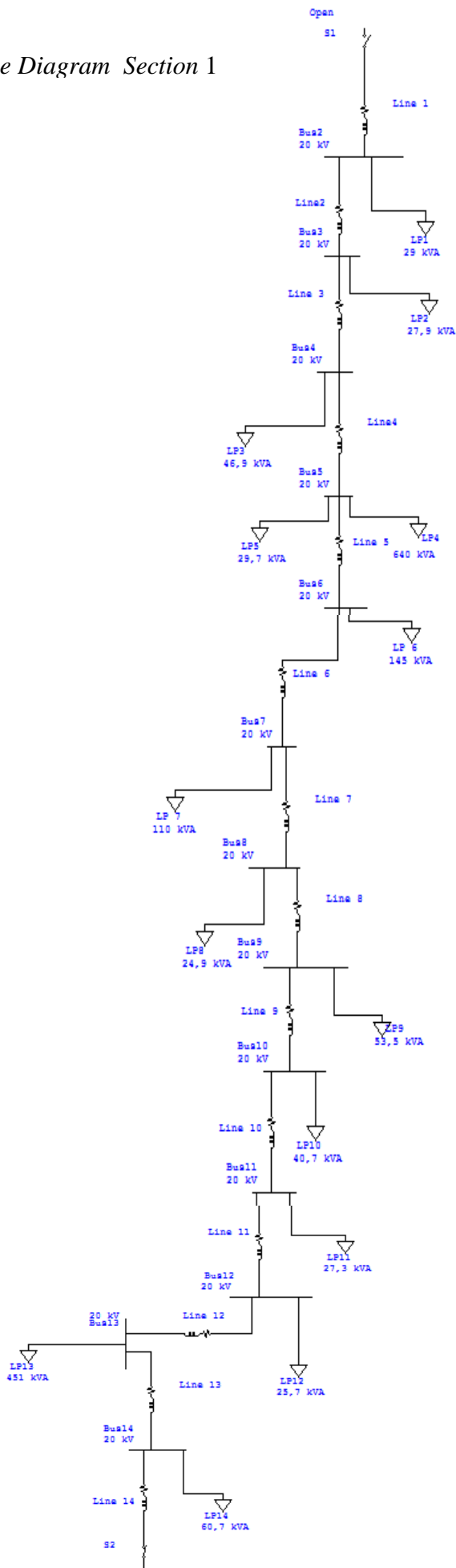
Saat Beban Penuh dan dalam kondisi normal, daya yang dibutuhkan beban disuplai dari gardu induk Gedongrejo dan Palur. Jaringan ini terdiri dari 2 penyulang utama yaitu penyulang GDO 04 dan PLR 01, dan memiliki beban dalam sektor yang beda-beda seperti beban industri, komersil, publik dan rumah tangga. Penyulang GDO 04 dan PLR 01 terhubung ke titik beban atau *load point* yang berjumlah 89 titik. Tiap titik beban terdiri dari minimal 1 trafo, 89 titik beban yang dianalisis mengandung 11.387 pelanggan. Penyulang GDO 04 dan PLR 01 terdiri dari 84 line dengan total panjang penyulang utama 22,55 km. Penyulang GDO 04 terdiri dari 5 seksi dan setiap seksi dipisahkan oleh pemisah (*sectionalizer*) yang berjumlah 11 unit.

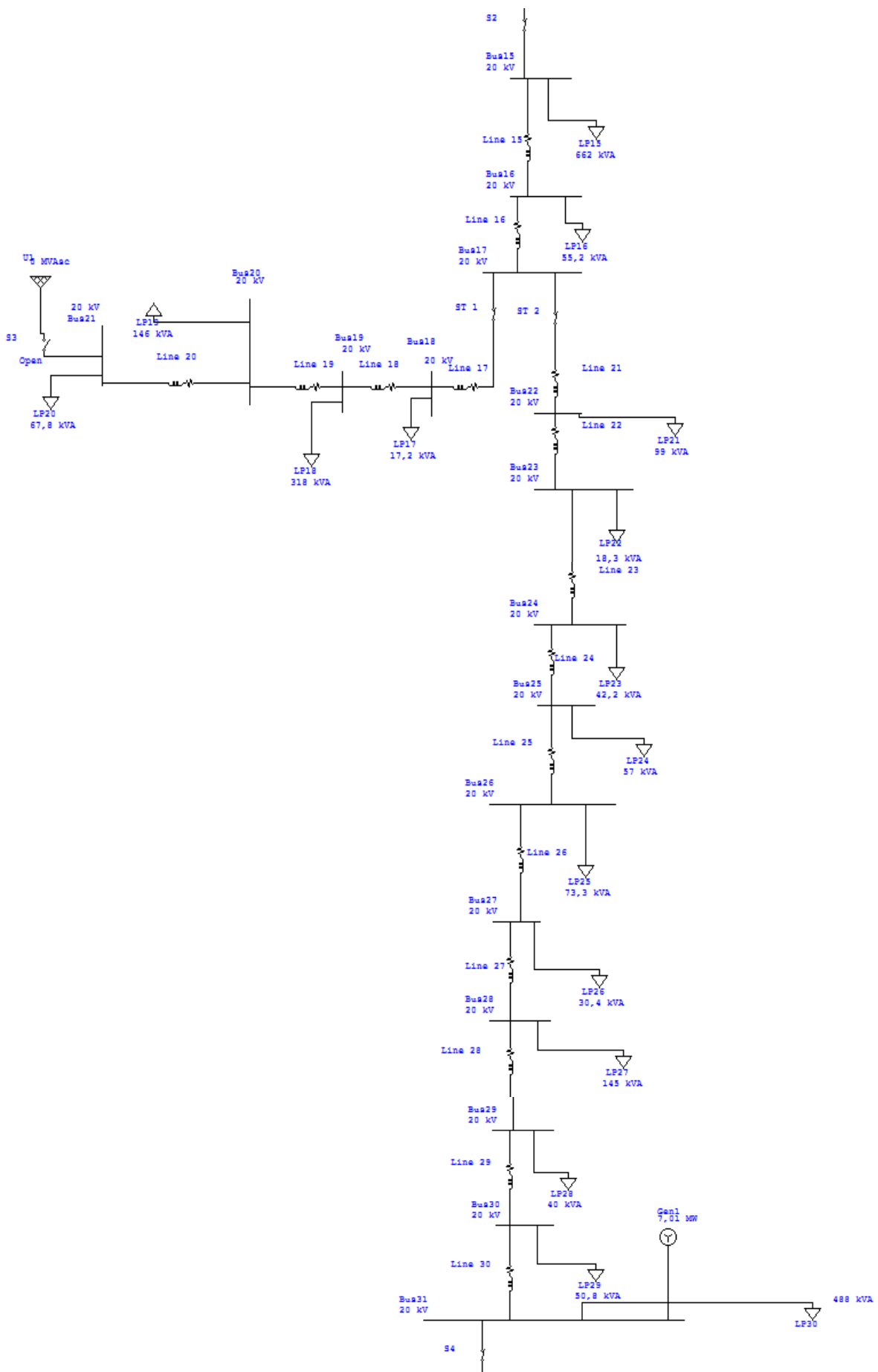
Kapasitas beban yang terpasang saat simulasi menggunakan ETAP 12.6 pada penyulang GDO 04 dan PLR 01 yaitu berdasarkan besar daya saat beban puncak di APJ Surakarta. Dalam melakukan analisis aliran daya dan indeks keandalan, maka harus mengetahui single line diagram yang akan di evaluasi mengetahui posisi *section*, *load point*, dan komponen apa saja yang ada pada jaringan distribusi di jaringan tersebut.



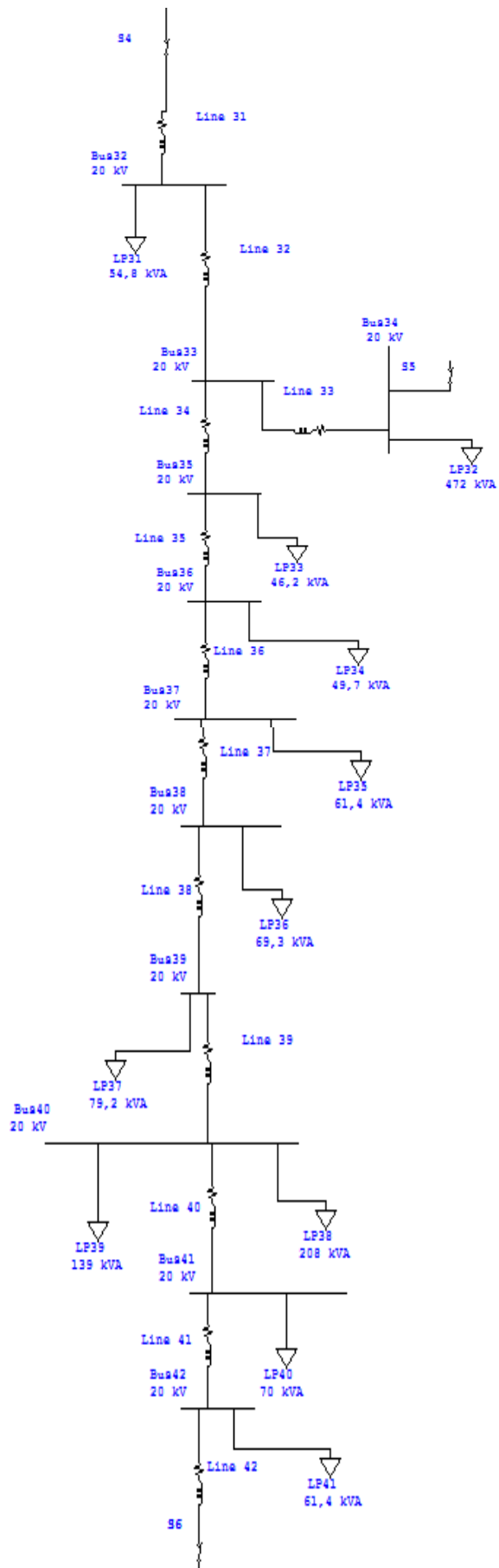
Gambar 4.8. Gambar *Single Line Diagram* Semua Section

Gambar 4.9. Gambar Single Line Diagram Section 1

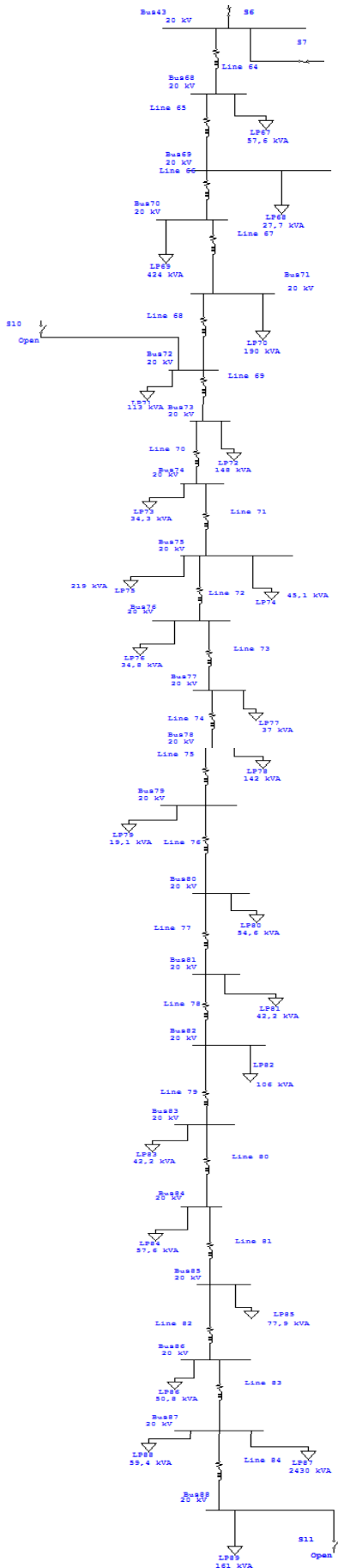




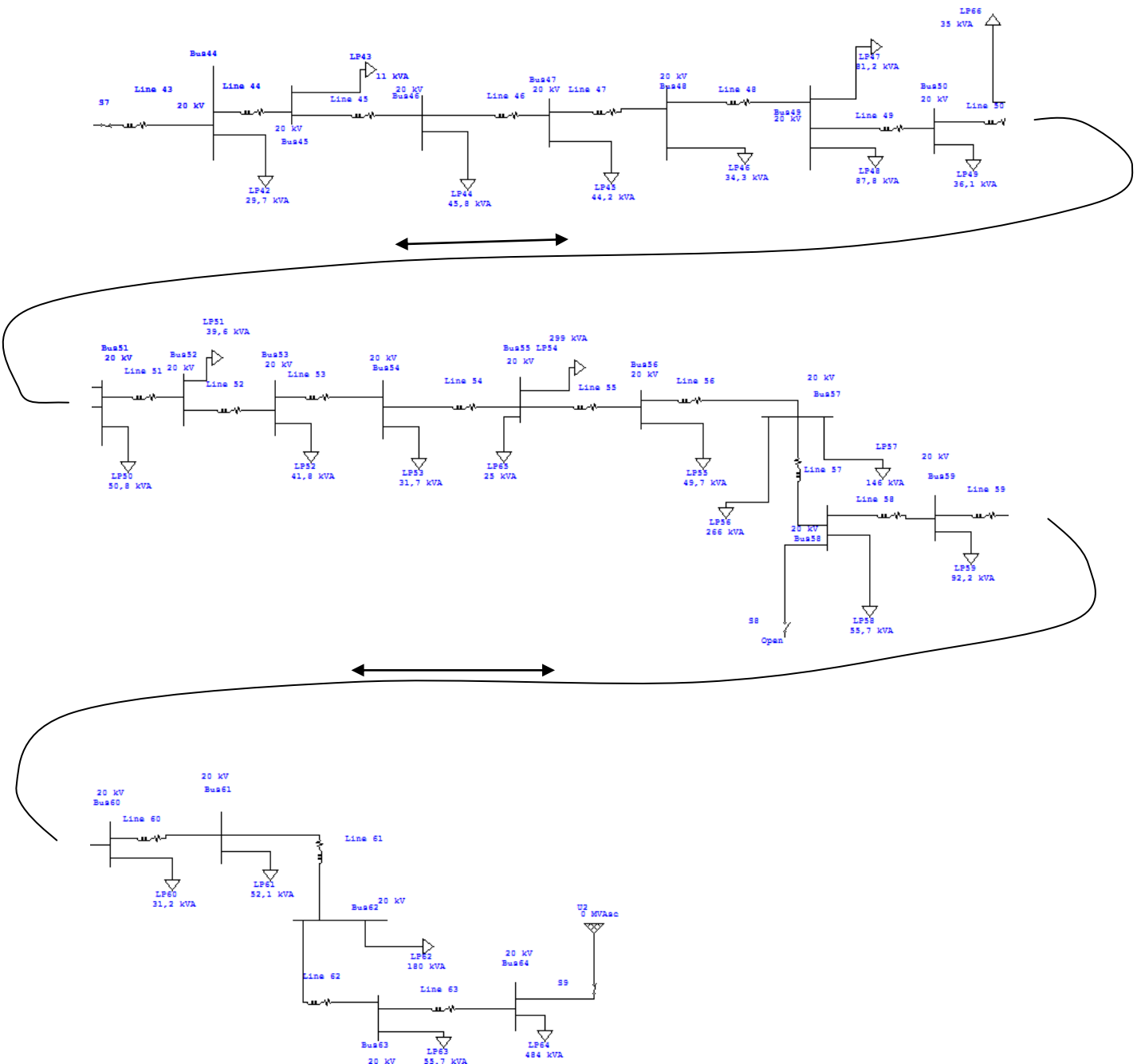
Gambar 4.10. Gambar Single Line Diagram Section 2



Gambar 4.11. Gambar Single Line Diagram Section 3



Gambar 4.12. Gambar Single Line Diagram Section 5



Gambar 4.11. Single Line Diagram Section 4

B. Penentuan nilai Beban Puncak untuk Pembebanan di Penyulang GDO 04 dan PLR 01

Berdasarkan data PLN APJ Surakarta (2016), Daya yang tersambung (BT) di APJ Surakarta pada awal tahun 2016 yaitu bulan Januari, adalah 1.889.307 kVA. Data energi yang terjual tahun 2016 Berdasarkan (Tabel 4.4) adalah energi total (ET) 4.645.301.072 kWh, energi sektor industri (EI) 2.375.092.098 kWh, energi sektor publik (EP) 265.824.580 kWh, energi sektor rumah tangga (ER) 1.529.355.279, energi sektor komersil (EK) 487.996.012 kWh.

Untuk mencari beban puncak tahun 2016 dapat diterapkan rumus,

$BP_{2016} = \frac{EP_{2016}}{8760 \times LF_{2016}}$, nilai faktor beban total (LF) dapat ditentukan dengan persamaan $LF_t = lf_R \frac{ER_t}{ET_t} + lf_{PC} \frac{EK_t + EP}{ET_t} + lf_I \frac{EI_t}{ET_t}$ dan angka faktor beban tiap sektor menurut Kukuh Siwi Kuncuro (2010) adalah,

0,45 = Angka faktor beban untuk sektor rumah tangga

0,55 = Angka faktor beban untuk sektor komersil dan publik

0,7 = Angka faktor beban untuk sektor industri

Dari data dan persamaan diatas, kita menentukan beban puncak 2016 berikut ini ,

$$\text{Beban Puncak (LF}_t\text{)} = lf_R \frac{ER_t}{ET_t} + lf_{PC} \frac{EK_t + EP}{ET_t} + lf_I \frac{EI_t}{ET_t}$$

$$LF_{2016} = 0,45 \times \frac{1.529.355.279 \text{ kWh}}{4.645.301.072 \text{ kWh}} + 0,55 \times \frac{265.824.580 \text{ kWh} + 487.996.012 \text{ kWh}}{4.645.301.072 \text{ kWh}} + \\ 0,7 \times \frac{2.375.092.098 \text{ kWh}}{4.645.301.072 \text{ kWh}} = 0,595306.$$

Untuk menghitung Energi Produksi Total APJ Surakarta (EP) diperlukan data efisiensi jaringan distribusi listrik. dalam RUPTL 2016-2025, data susut jaringan distribusi listrik di Indonesia dapat dilihat pada tabel berikut,

Tabel 3.13. Rugi Jaringan Distribusi (%)

Tahun	2010	2011	2012	2013	2014	2015
Susut Distribusi	7,09	7,34	6,96	7,77	7,52	7,12

Berdasarkan data persentase rugi-rugi daya diatas, penulis mengasumsikan rugi-rugi daya pada tahun 2016 di APJ Surakarta adalah rata-rata rugi daya dari tahun 2010-2015 yaitu sebesar 7,3%. Dengan demikian, efisiensi (%) jaringan distribusi kota surakarta yaitu:

$$(\%) \text{ Effisiensi Jaringan Listrik APJ Surakarta} = 100\% - 7,3\% = 92,7\%.$$

$$\begin{aligned} \text{Energi Produksi 2016 (EP}_{2016}) &= \text{Energi Terjual Total (ET)} / \text{Efisiensi} \\ &= 4.645.301.072 \text{ kWh} / 0,927 = 5.011.112.268 \text{ kWh}. \end{aligned}$$

Jadi Beban Puncak (BP₂₀₁₆),

$$\begin{aligned} \text{BP}_{2016} (\text{kWatt}) &= \frac{\text{EP}_{2016}}{8760 \times \text{LF}_{2016}} = \frac{5.011.112.268}{8760 \times 0,595306} = 960.925,6 \text{ (kWatt)} \text{ atau} \\ \text{BP}_{2016} (\text{kVA}) &= \frac{960.925,6}{0,85} = 1.130.501,00 \text{ (kVA)}, \text{ dengan asumsi nilai cos phi} \\ &\text{adalah 0,85.} \end{aligned}$$

Untuk mencari persentase (%) beban puncak, dilakukan perhitungan berikut:

$$\% \text{ BP}_{2016} = \frac{\text{BP}_{2016}}{\text{BT}_{2016}} \times 100\% = \frac{1.130.501,00 \text{ KVA}}{1.889.307 \text{ KVA}} \times 100\% = 59,84\%$$

Jadi, nilai persentase beban puncak dari perhitungan diatas (59,84%) dijadikan sebagai persentase untuk pembebanan dalam skenario sebelum dan setelah pemasangan DG (PLTSa) pada penyulang GDO 04 dan PLR 01 saat simulasi dengan ETAP 12.6.

Penelitian yang dilakukan oleh Didik Hardianto (2011), dalam tesisnya di di Program Magister UGM yang berjudul Pengaruh Penetrasi *Distributed Generation* Terhadap Profil Tegangan, Susut Daya dan Keandalan Jaringan Distribusi Tenaga Listrik, menerapkan bahwa DG beroperasi pada kisaran 50%-80%. Dengan opereasi DG 50%-85%, penetrasi DG memberi dampak baik untuk kontinuitas operasi sistem DG.

Pada simulasi di ETAP 12.6 ini, penulis mencoba menerapkan nilai operasi DG (70%) berdasarkan pada penelitian yang telah dilakukan oleh (Kikih D.K, (2010). Nilai 70% tersebut, adalah nilai dari kapasitas PLTSa maksimum sebesar 10,1 MW. Dengan demikian, daya yang dibangkitkan ole PLTSa saat simulasi di ETAP 12.6 adalah 7,07 MW.

4.3.1. Simulasi Aliran Daya untuk Mengetahui Profil Tegangan

4.3.1.a) Profil Tegangan Tanpa Pemasangan DG

Pada skenario ini dilakukan simulasi aliran daya pada penyulang GDO 04 dan PLR 01 Manahan tanpa penerapan DG saat beban operasi 59,84%. Profil yang diamati ialah parameter tegangan di penyulang yang berada di busbar paling hilir dan Busbar terdekat dengan DG.

Pada keadaan ini, Switch 6 berada dalam posisi open sehingga suplai daya dari GI Gedongrejo dan GI Palur terpisah dalam melayani beban di 2 penyulang yang berbeda. Dalam hal ini, GI Gedongrejo melayani beban yang terkoneksi pada penyulang GDO 04 dan GI Palur akan melayani beban yang terkoneksi pada penyulang PLR 01.

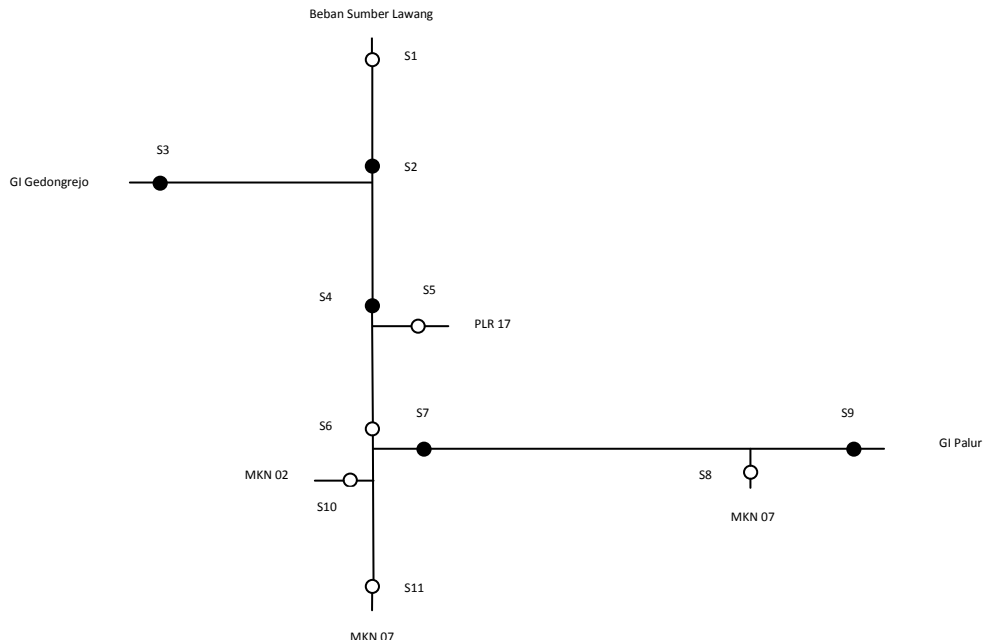
Penyulang PLR 01 dan GDO 04 memiliki 5 seksi, setiap seksi dibatasi oleh pemisah. Dalam meghubungkan atau memutus 1 seksi dengan seksi lainnya, ada beberapa keadaan switch/pemisah saat simulasi menggunakan ETAP 12.6 seperti dijelaskan dalam tabel dan gambar berikut:

Tabel 4.14. Kode, Keadaan dan Fungsi Switch di Penyulang PLR 01 dan GDO 04 sebelum Penetrasi PLTSa

No	Kode Switch	Keadaan	Fungsi
1	S1	Open	Memutus penyulang GDO 04 dengan penyulang lain
2	S2	Close	Menghubungkan seksi 1 dengan seksi 2
3	S3	Close	Untuk menghubungkan suplai daya dari GI Gedongrejo ke penyulang GDO 04

No	Kode Switch	Keadaan	Fungsi
4	S4	Close	Untuk menghubungkan seksi 2 dengan seksi 3
5	S5	Open	Memutus suplai daya dari penyulang PLR 17 ke penyulang GDO 04
6	S6	Open	Memutus penyulang PLR 01 dengan GDO 04
7	S7	Close	Menghubungan seksi 4 dengan seksi 5
8	S8	Open	Memutus daya dari penyulang MKN 07 ke penyulang PLR 01
9	S9	Close	Menghubungkan suplai daya dari GI Palur ke beban di penyulang PLR 01
10	S10	Open	Memutus suplai daya dari penyulang MKN 02 ke penyulang PLR 01
11	S11	Open	Memutus suplai daya dari penyulang MKN 07 ke penyulang PLR 01

Untuk lebih jelasnya, dapat dilihat pada gambar posisi dan keadaan switch berikut:



Keterangan: ● Switch Posisi Close
○ Switch Posisi Open

Gambar 4.14. Posisi dan Keadaan Switch sebelum Penetrasi PLTSa

Berdasarkan hasil simulasi menggunakan ETAP diiperoleh hasil bahwa sebelum pemasangan DG (PLTSa), tegangan paling paling Hilir penyulang utama (Bus 88) adalah 19,932 kV, (Bus 2) 19,984 kV. Selain di bus paling hilir, nilai tegangan bus yang berlokasi di dekat DG (PLTSa) adalah (Bus 31) 19,987 kV, (Bus 30) 19,988 kV, (Bus 32) 19,986 kV. Untuk mencari besarnya drop tegangan dapat menggunakan cara berikut,

$$V_{\text{drop}} = \text{Tegangan Nominal di Bus Sumber Daya} (V_S) - \text{Tegangan Nominal di Bus Pengamatan} (V_{\text{ukur}}).$$

Jika di Bus 88 tegangannya adalah 19,887 kV dan Tegangan Nominal di Bus Sumber Daya (V_S) adalah 20 kV.

$$\text{Maka, } V_{\text{drop}} = 20 \text{ kV} - 19,932 \text{ kV} = 68 \text{ V.}$$

Untuk besarnya nilai drop tegangan di bus-bus lainnya, bisa menggunakan cara dan langkah yang sama, untuk hasil drop tegangan tersebut dapat dilihat pada tabel berikut:

Tabel 4.15. Tegangan Nominal dan Drop Tegangan sebelum Penetrasi PLTSa

No	Kode Bus	Tegangan Nominal di Bus Pengamatan (V_{ukur})	Drop Tegangan	
			(V)	(%)
1	Bus 2	19,984 kV	16	0,080
2	Bus 88	19,932 kV	68	0,341
3	Bus 31	19,987 kV	13	0,065
4	Bus 30	19,988 kV	12	0,060
5	Bus 32	19,986 kV	14	0,070

4.3.1.b) Profil Tegangan saat Penetrasi DG

Pada skenario ini dilakukan simulasi aliran daya pada penyulang GDO 04 dan PLR 01 Manahan dengan penerapan DG saat beban operasi 59,84%. Profil yang diamati ialah parameter tegangan penyulang yang berada di busbar paling hilir dan Busbar terdekat dengan DG.

Pada skenario ini, Switch/Sectionalizer 6 berada dalam posisi close sehingga penyulang GDO 04 dan Penyulang PLR 01 saling terkoneksi. Selain itu, Switch/Sectionalizer 3 Open sehingga suplai daya dari GI Gedongrejo ke penyulang GDO 04 terputus namun, Penyulang GDO 04 tetap mendapatkan daya dari PLTSa atau GI Palur setelah rekonfigurasi jaringan.

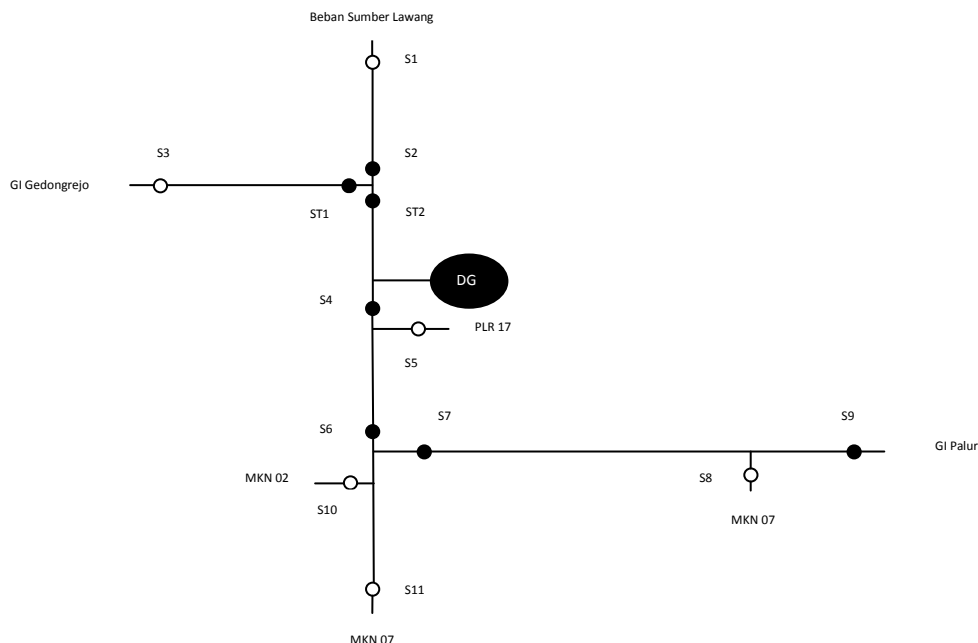
Penyulang PLR 01 dan GDO 04 memiliki 5 seksi, dalam setiap seksi dibatasi oleh pemisah. Dalam menghubung atau memutus 1 seksi dengan seksi lainnya, ada beberapa keadaan switch/pemisah saat simulasi menggunakan ETAP 12.6, yaitu sesuai tabel dan gambar berikut,

Tabel 4.16. Kode, Keadaan dan Fungsi Switch di Penyulang PLR 01 dan GDO 04 setelah Penetrasi PLTSa

No	Kode Switch	Keadaan	Fungsi
1	S1	Open	Memutus penyulang GDO 04 dengan penyulang lain
2	S2	Close	Menghubungkan seksi 1 dengan seksi 2
3	S3	Open	Untuk memutus suplai daya dari GI Gedongrejo ke penyulang GDO 04
4	S4	Close	Untuk menghubungkan seksi 2 dengan seksi 3
5	S5	Open	Memutus suplai daya dari penyulang PLR 17 ke penyulang GDO 04
6	S6	Close	Menghubungkan penyulang PLR 01 dengan GDO 04
7	S7	Close	Menghubungkan seksi 4 dengan seksi 5

No	Kode Switch	Keadaan	Fungsi
8	S8	Open	Memutus daya dari penyulang MKN 07 ke penyulang PLR 01
9	S9	Close	Menghubungkan suplai daya dari GI Palur ke beban di penyulang PLR 01
10	S10	Open	Memutus suplai daya dari penyulang MKN 02 ke penyulang PLR 01
11	S11	Open	Memutus suplai daya dari penyulang MKN 07 ke penyulang PLR 01

Untuk lebih jelasnya, dapat dilihat pada gambar posisi dan keadaan switch berikut:



- Keterangan:
- Switch Posisi Close
 - Switch Posisi Open

Gambar 4.15. Posisi dan Keadaan Switch setelah Penetrasi PLTSa

Berdasarkan hasil simulasi menggunakan ETAP diiperoleh hasil bahwa sebelum pemasangan DG (PLTSa), tegangan paling hilir penyulang utama (Bus 88) adalah 19,952 kV, (Bus 2) 19,978 kV. Selain di bus paling hilir, nilai

tegangan bus yang berlokasi di dekat DG (PLTSa) adalah (Bus 31) 20 kV, (Bus 30) 19,998 kV, (Bus 32) 19,996 kV.

$$V_{\text{drop}} = \text{Tegangan Nominal di Bus Sumber Daya} (V_S) - \text{Tegangan Nominal di Bus Pengamatan} (V_{\text{ukur}}).$$

Jika di Bus 88 tegangannya adalah 19,948 kV dan Tegangan Nominal di Bus Sumber Daya (V_S) adalah 20 kV.

$$\text{Maka, } V_{\text{drop}} = 20 \text{ kV} - 19,952 \text{ kV} = 48 \text{ V.}$$

Untuk besarnya nilai drop tegangan di bus-bus lainnya, kita bisa menggunakan cara dan langkah yang sama. untuk hasil drop tegangan tersebut dapat dilihat pada tabel berikut:

Tabel 4.17. Tegangan Nominal dan Drop Tegangan setelah Penetrasi PLTSa

No	Kode Bus	Tegangan Nominal di Bus (V_{ukur})	Drop Tegangan	
			(V)	(%)
1	Bus 2	19,978 kV	22	0,110
2	Bus 88	19,952 kV	48	0,240
3	Bus 31	20 kV	0	0
4	Bus 30	19,998 kV	2	0,010
5	Bus 32	19,996 kV	4	0,020

4.3.1.c) Perbandingan Jatuh Tegangan Sebelum dan Setelah Penetrasi DG (PLTSa)

Dilakukan perbandingan jatuh tegangan saat operasi beban 59,84% di Penyulang GDO 04 dan PLR 01 Manahan Solo.

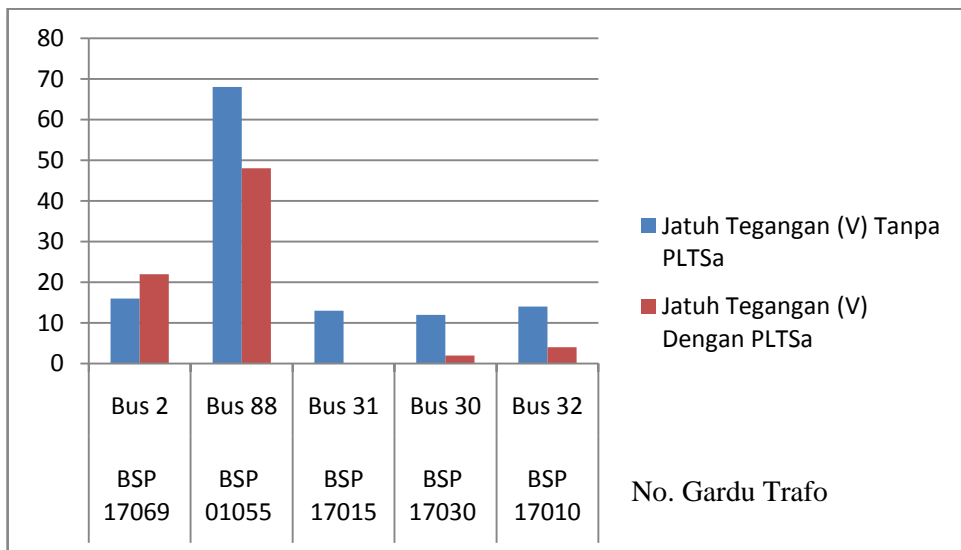
Tabel 4.18. Tabel Perbandingan Jatuh Tegangan Sebelum dan Setelah penerapan PLTSa saat Operasi 59,84%

Wilayah	No. Gardu Trafo	No. Busbar	Jatuh Tegangan			
			Tanpa PLTSa		Dengan PLTSa	
			(V)	(%)	(V)	(%)
Gemblung	BSP 17069	Bus 2	16	0,080	22	0,110
Kelurahan Mojosongo	BSP 01055	Bus 88	68	0,341	48	0,240
Jatirejo, Mojosongo	BSP 17015	Bus 31	13	0,065	0	0
Mayor Ahmadi	BSP 17030	Bus 30	12	0,060	2	0,010
Brigjend Katamso	BSP 17010	Bus 32	14	0,070	4	0,020

Dari simulasi menggunakan ETAP saat beban 59,84% sebelum dan setelah penerapan PLTSa, ternyata PLTSa sangat efektif dalam memberikan dampak positif terhadap perbaikan Profil tegangan pada jaringan distribusi tenaga listrik.

Besar drop tegangan di ujung penyulang yang berlokasi di Kelurahan Mojosongo mengalami pebaikan tegangan yang signifikan. Besar drop tegangan di busbar No. Gardu Trafo BSP 01055 (Kelurahan Mojosongo) sebelum penerapan DG adalah 68 V dan setelah dilakukan pemasangan DG (PLTSa), nilai Drop tegangan turun menjadi 48 V. Jadi saat penerapan DG (PLTSa) sebesar 7,07 Mwatt, drop tegangan di Busbar No. Gardu Trafo BSP 01055 di (Kelurahan Mojosongo) turun sebesar 20 V begitupun dengan busbar yang lain, yang pada umumnya juga megalami perbaikan tegangan. Namun, bus 2 (BSP 17069) penyulang GDO 04 yang berlokasi di Gemblung mengalami kenaikan drop tegangan. Hal ini terjadi karena adanya disposisi suplai daya listrik dari GI Gedongrejo ke PLTSa sedangkan, jarak antara posisi PLTSa ke Bus 2 (BSP

17069) lebih jauh dibandingkan dengan jarak GI Gedongrejo ke Bus 2 (BSP 17069).



Gambar 4.16. Perbandingan Drop Tegangan Sebelum dan Setelah Penerapan DG (PLTSa)

4.3.3. Simulasi Aliran Daya untuk Mengetahui Rugi-Rugi Daya

4.3.3.a) Rugi-Rugi Daya Tanpa PLTSa Saat Operasi Beban 59,84%

Pada skenario ini dilakukan simulasi aliran daya dengan Operasi Beban 59,64% pada penyulang GDO 04 dan PALUR 01 Manahan, Solo. Parameter yang diamati adalah parameter daya aktif dan daya reaktif sehingga dapat diketahui besar rugi-rugi daya pada penyulang utama jaringan distribusi. Konfigurasi jaringan saat keadaan ini yaitu sama dengan konfigurasi gambar 4.12.

Pada simulasi ini dilakukan analisis aliran daya pada jaringan distribusi GDO 04 dan Palur 1 Manahan, Solo. Berdasarkan simulasi yang dilakukan di ETAP diperoleh hasil bahwa, sebelum pemasangan PLTSa rugi-rugi daya jaringan distribusi tenaga listrik GDO 04 dan PALUR 01 adalah 10,4 kW.

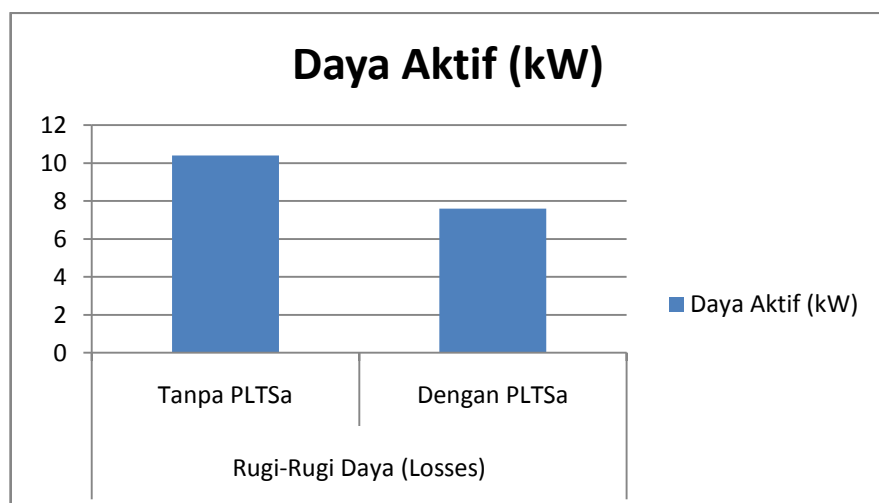
4.3.3.b) Rugi-Rugi Daya Dengan PLTSa Saat Operasi Beban 59,84%

Pada skenario ini dilakukan simulasi aliran daya aktif dan reaktif dengan operasi beban 59,84% di penyulang GDO 04 dan PALUR 01 Manahan, Solo menggunakan ETAP guna mengetahui besar rugi-rugi daya aktif dan reaktif pada penyulang GDO 04 dan PLR 01. Simulasi ini hampir sama dengan simulasi 4.3.3.a namun, simulasi ini menerapkan PLTSa sebagai supplai daya tambahan untuk jaringan distribusi tenaga listrik penyulang GDO 04 Manahan Solo. Konfigurasi jaringan saat keadaan ini sama dengan konfigurasi gambar 4.13.

Pada simulasi ini dilakukan analisis aliran daya pada jaringan distribusi GDO 04 dan Palur 1 Manahan, Solo. Berdasarkan simulasi yang dilakukan di ETAP diperoleh hasil bahwa, setelah penetrasi PLTSa rugi-rugi daya jaringan distribusi tenaga listrik GDO 04 dan PALUR 01 adalah 7,8 kW.

Tabel 4.19. Perbandingan Rugi-rugi daya Dengan dan Tanpa

Jenis Daya	Rugi-Rugi Daya (<i>Losses</i>)	
	Tanpa PLTSa	Dengan PLTSa
Daya Aktif (kW)	10,4	7,8



Gambar 4.17. Perbandingan Rugi-Rugi Daya Sebelum dan Setelah Penerapan PLTSa Saat Operasi Beban 59,84%

Berdasarkan hasil simulasi menggunakan ETAP, diperoleh bahwa rugi-rugi daya mengalami penurunan secara signifikan setelah penetrasi PLTSa penyulang GDO 04 dan PLR 01. Besar rugi-rugi daya sebelum penerapan PLTSa adalah 10,4 kW dan setelah penerapan PLTSa, daya menjadi 7,8 kW atau mengalami penurunan daya 2,6 kW.

Rugi-rugi daya menurun setelah penetrasi PLTSa dikarenakan lokasi PLTSa lebih dekat dengan pusat beban dibandingkan GI Gedongrejo. Lokasi PLTSa berada di kawasan TPA Putri Cempo (Jatirejo, Mojosongo), tepatnya *disection* 2 jaringan distribusi tenaga listrik penyulang GDO 04 dan PLR 01.

4.4. Pengaruh Pemasangan PLTSa Terhadap Indeks Keandalan Jaringan Distribusi Feeder GDO 04 dan PALUR 01 Manahan

Dalam menganalisis indeks keandalan *Feeder* GDO 04 dan PALUR 01 Manahan menggunakan metode *Section Technique* pada jaringan distribusi tenaga listrik, ada beberapa data yang di perlukan, yaitu sebagai berikut:

- A. Data *load point* pada penyulang GDO 04 dan PALUR 01 Manahan berdasarkan *section*.

Tabel 4.20. jumlah pelanggan tiap *load point* yang dianalisis *section* I

No	No. Load Point	Jumlah Pelanggan
1	1	121
2	2	57
3	3	89
4	4	1375
5	5	46
6	6	92
7	7	194
8	8	36
9	9	96

No	No. Load Point	Jumlah Pelanggan
10	10	67
11	11	35
12	12	41
13	13	616
14	14	35
Jumlah Total		2900

Tabel 4.21. jumlah pelanggan tiap *load point* yang dianalisis *section 2*

No	No. Load Point	Jumlah Pelanggan
1	15	1397
2	16	133
3	17	36
4	18	1
5	19	18
6	20	172
7	21	2
8	22	12
9	23	39
10	24	155
11	25	1
12	26	29
13	27	40
14	28	89
15	29	17
16	30	403
Jumlah Total		2544

Tabel 4.22. jumlah pelanggan tiap *load point* yang dianalisis section 3

No	No. Load Point	Jumlah Pelanggan
1	31	88
2	32	1
3	33	178
4	34	95
5	35	119
6	36	1
7	37	1
8	38	108
9	39	1
10	40	2
11	41	2
Jumlah Total		596

Tabel 4.23. jumlah pelanggan tiap *load point* yang dianalisis section 4

No	No. Load Point	Jumlah Pelanggan
1	42	1
2	43	12
3	44	94
4	45	13
5	46	150
6	47	87
7	48	2
8	49	35
9	50	125
10	51	1

No	No. <i>Load Point</i>	Jumlah Pelanggan
11	52	124
12	53	130
13	54	501
14	55	94
15	56	218
16	57	309
17	58	218
18	59	148
19	60	57
20	61	22
21	62	212
22	63	141
23	64	499
24	65	136
24	66	86
Jumlah Total		3415

Tabel 4.24. jumlah pelanggan tiap *load point* yang dianalisis section 5

No	No. <i>Load Point</i>	Jumlah Pelanggan
1	67	3
2	68	2
3	69	5
4	70	1
5	71	180
6	72	85

No	No. Load Point	Jumlah Pelanggan
7	73	87
8	74	224
9	75	225
10	76	97
11	77	3
12	78	1
13	79	138
14	80	56
15	81	1
16	82	123
17	83	15
18	84	173
19	85	2
20	86	94
21	87	179
22	88	4
23	89	234
Jumlah Total		1932

Jumlah pelanggan setiap *section* di penyulang GDO 04 dan PLR 01 bervariasi, hal tersebut dapat dilihat dari jumlah pelanggan per *section* dalam tabel 4.20. hingga 4.24, Jumlah pelanggan *section* I 2900 pelanggan, *section* II 2544 pelanggan, *section* III 596 pelanggan, *section* IV 3415 pelanggan, *section* V 1932 pelanggan. Jenis pelanggan di penyulang GDO 04 dan PLR 01 terdiri dari pelanggan industri, pelanggan rumah tangga, pelanggan publik dan komersil.

Penyulang GDO 04 dan PLR 01 terbagi menjadi 84 saluran udara dengan total panjang mencapai 22,54483 km sesuai Gambar 4.7 sampai 4.11. Penyulang ini merupakan penyulang dengan jumlah *line* yang tidak terlalu banyak dan *line*

yang tidak terlalu panjang. Data panjang saluran pada penyulang ini dapat dilihat pada Tabel 4.25. sampai Tabel 2.29. berikut,

Tabel 4.25. Panjang Tiap-Tiap Saluran di *Section 1* Penyulang GDO 04 dan PLR 01

No	Komponen	Panjang (km)
1	Line 1	0,3014
2	Line 2	0,154
3	Line 3	0,2196
4	Line 4	0,42383
5	Line 5	0,107
6	Line 6	0,486
7	Line 7	0,361
8	Line 8	0,465
9	Line 9	0,078
10	Line 10	0,423
11	Line 11	0,689
12	Line 12	0,152
13	Line 13	0,296
14	Line 14	0,477

Tabel 4.26. Panjang Tiap-Tiap Saluran di *Section 2* Penyulang GDO 04 dan PLR 01

No	Komponen	Panjang (km)
15	Line 15	0,312
16	Line 16	0,417
17	Line 17	0,065
18	Line 18	0,173

No	Komponen	Panjang (km)
19	Line 19	0,204
20	Line 20	0,251
21	Line 21	0,107
22	Line 22	0,264
23	Line 23	0,057
24	Line 24	0,293
25	Line 25	0,426
26	Line 26	0,277
27	Line 27	0,112
28	Line 28	0,068
29	Line 29	0,082
30	Line 30	0,391

Tabel 4.27. Panjang Tiap-Tiap Saluran di *Section 3* Penyulang GDO 04 dan PLR 01

No	Komponen	Panjang (km)
31	Line 31	0,612
32	Line 32	0,173
33	Line 33	0,458
34	Line 34	0,651
35	Line 35	0,529
36	Line 36	0,097
37	Line 37	0,392
38	Line 38	0,561
39	Line 39	0,037

No	Komponen	Panjang (km)
40	Line 40	0,425
41	Line 41	0,484
42	Line 42	0,738

Tabel 4.28. Panjang Tiap-Tiap Saluran di *Section 4* Penyulang GDO 04 dan PLR 01

No	Komponen	Panjang (km)
43	Line 43	0,317
44	Line 44	0,102
45	Line 45	0,212
46	Line 46	0,341
47	Line 47	0,062
48	Line 48	0,196
49	Line 49	0,414
50	Line 50	0,022
51	Line 51	0,315
52	Line 52	0,163
53	Line 53	0,411
54	Line 54	0,116
55	Line 55	0,134
56	Line 56	0,275
57	Line 57	0,271
58	Line 58	0,158
59	Line 59	0,177
60	Line 60	0,194

No	Komponen	Panjang (km)
61	Line 61	0,413
62	Line 62	0,316
63	Line 63	0,235

Tabel 4.29. Panjang Tiap-Tiap Saluran di *Section 5* Penyulang GDO 04 dan PLR 01

No	Komponen	Panjang (km)
64	Line 64	0,371
65	Line 65	0,213
66	Line 66	0,052
67	Line 67	0,117
68	Line 68	0,192
69	Line 69	0,171
70	Line 70	0,232
71	Line 71	0,216
72	Line 72	0,276
73	Line 73	0,134
74	Line 74	0,276
75	Line 75	0,193
76	Line 76	0,072
77	Line 77	0,190
78	Line 78	0,245
79	Line 79	0,314
80	Line 80	0,376
81	Line 81	0,132

No	Komponen	Panjang (km)
82	Line 82	0,298
83	Line 83	0,148
84	Line 84	0,194

B. Indeks Kegagalan Peralatan Distribusi

Tabel 4.30. Data Indeks Keandalan Saluran Udara

Saluran Udara	
Sustained failure rate (α /km/yr)	0,2
r (repaire time) (jam)	3
rs (switch time) (jam)	0,15

Sumber: SPLN No.59 : 1985

Tabel 4.31. Indeks Kegagalan Peralatan

Komponen	α (failure rate)	r (repaire time) (jam)	rs (switching time) (jam)
Trafo Distribusi	0,005/unit/tahun	10	0,15
Circuit Breaker	0,004/unit/tahun	10	0,15
Sectionalizer	0,003/unit/tahun	10	0,15

Sumber: SPLN No.59 : 1985

4.4.1. Perhitungan dan Analisis Indeks Keandalan Jaringan Distribusi Tenaga Listrik GDO 04 Manahan Tanpa DG (PLTSa)

Berdasarkan data panjang saluran, jumlah beban, indeks keandalan saluran dan kegagalan peralatan berdasarkan Standar PLN No. 59 Tahun 1985, maka dilakukan evaluasi indeks keandalan jaringan distribusi saat dan tanpa penetrasi DG (PLTSa) Penyulang GDO 04 dan PLR 01. Data yang dibutuhkan untuk evaluasi indeks keandalan jaringan distribusi (konfigurasi jaringan, panjang tiap-tiap saluran, jumlah pelanggan SPLN tentang standar perhitungan indeks

keandalan) digunakan sebagai dasar evaluasi setiap *Section* jaringan yang selanjutnya diintegrasikan dengan *section* lain.

1. *Section 1*

Untuk mengetahui pengaruh kegagalan atau gangguan pada suatu titik terhadap sistem secara keseluruhan, maka diperlukan *worksheet*. *Worksheet* selain mengetahui secara jelas akibat kegagalan suatu sistem juga sebagai rancangan sistematis untuk menganalisis indeks keandalan jaringan distribusi tenaga listrik.

Tabel 4.32. Section Technique Worksheet Section 1

Data Peralatan		Efek Sistem	
No. Gangguan	Komponen	Load Point yang Dipengaruhi <i>Repair Time</i>	Load Point yang Dipengaruhi <i>Switching Time</i>
1	Sectionalizer 1	LP1-LP14	-
2	Trafo 1	LP1	-
3	Trafo 2	LP2	-
4	Trafo 3	LP3	-
5	Trafo 4	LP4	-
6	Trafo 5	LP5	-
7	Trafo 6	LP6	-
8	Trafo 7	LP7	-
9	Trafo 8	LP8	-
10	Trafo 9	LP9	-
11	Trafo 10	LP10	-
12	Trafo 11	LP11	-
13	Trafo 12	LP12	-
14	Trafo 13	LP13	-
15	Trafo 14	LP14	-
16	Line 1	LP1-LP14	LP15-LP41
17	Line 2	LP1-LP14	LP15-LP41
18	Line 3	LP1-LP14	LP15-LP41
19	Line 4	LP1-LP14	LP15-LP41

Data Peralatan		Efek Sistem	
No. Gangguan	Komponen	Load Point yang Dipengaruhi <i>Repair Time</i>	Load Point yang Dipengaruhi <i>Switching Time</i>
20	Line 5	LP1-LP14	LP15-LP41
21	Line 6	LP1-LP14	LP15-LP41
22	Line 7	LP1-LP14	LP15-LP41
23	Line 8	LP1-LP14	LP15-LP41
24	Line 9	LP1-LP14	LP15-LP41
25	Line 10	LP1-LP14	LP15-LP41
26	Line 11	LP1-LP14	LP15-LP41
27	Line 12	LP1-LP14	LP15-LP41
28	Line 13	LP1-LP14	LP15-LP41
29	Line 14	LP1-LP14	LP15-LP41
30	Sectionalizer 2	LP1-LP14	LP15-LP41

Selanjutnya, untuk menghitung frekuensi dan durasi kegagalan tiap peralatan, maka diambil 1 kasus yaitu: *failure rate* (α LP1). *Failure rate* (α LP1) diperoleh dari penjumlahan *failure rate* yang mempengaruhi LP1 dan perkalian *failure rate* peralatan dengan panjang saluran udara. Perkalian dengan *repair time* atau *switching time* tergantung kondisi peralatan, apakah peralatan tersebut harus padam atau hanya mengalami kondisi *switching time* pada saat terjadi gangguan.

Langkah dalam menentukan laju kegagalan peralatan setiap *section* yaitu:

$$\alpha_{LP} = \sum_{i=k} \alpha_i$$

keterangan:

λ_i = laju kegagalan untuk peralatan K

K = semua peralatan yang berpengaruh terhadap *load point*

Jika diambil satu contoh yaitu *load point* satu (LP1) pada line 1 maka dapat dihitung laju kegagalan line 1 kaitannya terhadap panjang jaringan seperti berikut ini:

$$\alpha(\text{line 1}) = \text{Failure rate Peralatan} \times \text{Panjang Saluran Udara}$$

$$= 0,2 \times 0,3014 = 0,06028 \text{ gangguan/tahun}$$

Untuk α_{LP1} , dan seterusnya dapat dicari dengan menjumlahkan total laju kegagalan peralatan yang berpengaruh terhadap *load point* 1 atau load point lainnya. Untuk laju kegagalan *load point* 1 (α_{LP1}), dapat dilihat pada tabel 4.24 berikut,

Tabel 4.33. Perhitungan laju kegagalan untuk *Load Point* 1 (α_{LP1})

Peralatan	Failure Rate Peralatan (gangguan/tahun/km)	Panjang Saluran Udara (km)	α (gangguan/tahun)
Sectionalizer 1	0,003	-	0,003
Sectionalizer 2	0,003	-	0,003
Trafo	0,005	-	0,005
Line 1	0,2	0,3014	0,06028
Line 2	0,2	0,154	0,0308
Line 3	0,2	0,2196	0,04392
Line 4	0,2	0,42383	0,084766
Line 5	0,2	0,107	0,0214
Line 6	0,2	0,486	0,0972
Line 7	0,2	0,361	0,0722
Line 8	0,2	0,465	0,093
Line 9	0,2	0,078	0,0156
Line 10	0,2	0,423	0,0846
Line 11	0,2	0,689	0,1378
Line 12	0,2	0,152	0,0304
Line 13	0,2	0,296	0,0592
Line 14	0,2	0,477	0,0954
Jumlah Total Kelajuan Kegagalan ($\sum_{i=k} \alpha_i$)			0,93757

Nilai failure rate untuk load point 2 hingga 14 adalah sama dengan jumlah failure rate load point 1, karena nilai failure rate tiap-tiap trafo diasumsikan sama.

Tabel 4.34. Perhitungan Laju Kegagalan *Load Point* 15 (α_{LP15})

Peralatan	Failure Rate Peralatan (gangguan/tahun/km)	Panjang Saluran Udara (km)	α (gangguan/tahun)
Sectionalizer 1	0,003	-	0,003
Sectionalizer 2	0,003	-	0,003
Trafo	0	-	0
Line 1	0,2	0,3014	0,06028

Peralatan	Failure Rate Peralatan (gangguan/tahun/km)	Panjang Saluran Udara (km)	α (gangguan/tahun)
Line 2	0,2	0,154	0,0308
Line 3	0,2	0,2196	0,04392
Line 4	0,2	0,42383	0,084766
Line 5	0,2	0,107	0,0214
Line 6	0,2	0,486	0,0972
Line 7	0,2	0,361	0,0722
Line 8	0,2	0,465	0,093
Line 9	0,2	0,078	0,0156
Line 10	0,2	0,423	0,0846
Line 11	0,2	0,689	0,1378
Line 12	0,2	0,152	0,0304
Line 13	0,2	0,296	0,0592
Line 14	0,2	0,477	0,0954
Jumlah Total Kelajuan Kegagalan ($\sum_{i=k} \alpha_i$)			0,93257

Nilai failure rate load point 16 hingga 41 adalah sama dengan nilai failure rate load point 15. Hal ini terjadi karena, saat komponen dari section 1 mengalami gangguan maka pemisah akan membuka untuk sementara sehingga sistem akan putus untuk sementara. Setelah 0,15 jam maka GDO 04 dapat menyuplai daya kembali dari GI Gendongrejo ke section 2 dan section 3.

Langkah dalam menentukan durasi gangguan peralatan setiap *section* yaitu:

$$ULP = \sum_{i=k} U_i = \sum_{i=k} \lambda_i \times r_j$$

keterangan:

r_j = waktu perbaikan (*repairing time* atau *switching time*)

Jika diambil satu contoh yaitu *load point* satu (LP1) pada line 1 maka dapat dihitung durasi gangguan line 1 kaitannya terhadap panjang jaringan seperti berikut ini:

$$\begin{aligned} U(\text{line 1}) &= \text{Failure rate Peralatan } (\alpha) \times \text{Repair Time peralatan } (U) \\ &= 0,06028 \times 3 = 0,18084 \text{ Jam/tahun} \end{aligned}$$

Untuk ULP1, dan seterusnya dapat dicari dengan menjumlahkan total laju kegagalan peralatan yang berpengaruh terhadap *load point* 1 atau *load point*

lainnya, untuk laju kegagalan *load point* 1 (α_{LP1}), dapat dilihat pada tabel 4.24 berikut,

Tabel 4.35. Perhitungan Durasi Gangguan (U) *Load Point* 1 (ULP1)

Peralatan	α (fault/yr)	Repaire Time (jam)	Switching Time (jam)	U (jam/tahun)
Sectionalizer 1	0,003	10	0,15	0,03
Trafo 1	0,005	10	0,15	0,05
Sectionalizer 2	0,003	10	0,15	0,03
Line 1	0,06028	3	0,15	0,18084
Line 2	0,0308	3	0,15	0,0924
Line 3	0,04392	3	0,15	0,13176
Line 4	0,084766	3	0,15	0,254298
Line 5	0,0214	3	0,15	0,0642
Line 6	0,0972	3	0,15	0,2916
Line 7	0,0722	3	0,15	0,2166
Line 8	0,093	3	0,15	0,279
Line 9	0,0156	3	0,15	0,0468
Line 10	0,0846	3	0,15	0,2538
Line 11	0,1378	3	0,15	0,4134
Line 12	0,0304	3	0,15	0,0912
Line 13	0,0592	3	0,15	0,1776
Line 14	0,0954	3	0,15	0,2862
Jumlah Total Durasi Gangguan ($\sum_{i=k} U_i$)				2,889698

Perhitungan untuk mencari *load point* 2 sampai 14 pada section 1 menggunakan langkah dan cara yang sama dan hasilnya pun juga sama karena nilai *repaire time* setiap trafo diasumsikan sama. Dalam hal ini penulis menghitung nilai Load Point 2 sampai 14 menggunakan software Microsoft Excel.

Pada *load point* 1, kondisi yang dialami semua peralatan yang ada didalamnya hanya kondisi *repair time* dan tidak ada peralatan yang mengalami kondisi *switching time*, karena apabila peralatan kecuali transformator mengalami kegagalan maka akan mengakibatkan gangguan semua sistem.

Tabel 4.36. Perhitungan Durasi Gangguan (U) Load Point 15 (ULP15)

Peralatan	α (fault/yr)	Repaire Time (jam)	Switching Time (jam)	U (jam/tahun)
Sectionalizer 1	0,003	10	0,15	0,00045
Sectionalizer 2	0,003	10	0,15	0,00045
Line 1	0,06028	3	0,15	0,009042
Line 2	0,0308	3	0,15	0,00462
Line 3	0,04392	3	0,15	0,006588
Line 4	0,084766	3	0,15	0,0127149
Line 5	0,0214	3	0,15	0,00321
Line 6	0,0972	3	0,15	0,01458
Line 7	0,0722	3	0,15	0,01083
Line 8	0,093	3	0,15	0,01395
Line 9	0,0156	3	0,15	0,00234
Line 10	0,0846	3	0,15	0,01269
Line 11	0,1378	3	0,15	0,02067
Line 12	0,0304	3	0,15	0,00456
Line 13	0,0592	3	0,15	0,00888
Line 14	0,0954	3	0,15	0,01431
Jumlah Total Durasi Gangguan ($\sum_{i=k} U_i$)				0,1398849

Nilai durasi gangguan untuk *load point* 16 hingga 41 adalah sama dengan nilai *load point* 15. Hal ini terjadi karena saat komponen section 1 mengalami gangguan sehingga sistem lain (section 2 dan 3) akan megalami pemutusan sementara, selanjutnya Sectionalizer 2 (S2) akan membuka dan beban section 2 dan 3 akan dilayani kembali oleh GI Gedongrejo melalui GDO 04.

Tabel 4.37. Laju kegagalan dan Durasi Gangguan *Load Point Section 1*

Load Point	Indeks Keandalan <i>Load Point</i>	
	α (gangguan/tahun)	U (jam/tahun)
Load Point 1	0,93757	2,899698
Load Point 2	0,93757	2,899698
Load Point 3	0,93757	2,899698
Load Point 4	0,93757	2,899698

Load Point	Indeks Keandalan Load Point	
	α (gangguan/tahun)	U (jam/tahun)
Load Point 5	0,93757	2,899698
Load Point 6	0,93757	2,899698
Load Point 7	0,93757	2,899698
Load Point 8	0,93757	2,899698
Load Point 9	0,93757	2,899698
Load Point 10	0,93757	2,899698
Load Point 11	0,93757	2,899698
Load Point 12	0,93757	2,899698
Load Point 13	0,93757	2,899698
Load Point 14	0,93757	2,899698
Load Point 15	0,93257	0,1398849
Load Point 16	0,93257	0,1398849
Load Point 17	0,93257	0,1398849
Load Point 18	0,93257	0,1398849
Load Point 19	0,93257	0,1398849
Load Point 20	0,93257	0,1398849
Load Point 21	0,93257	0,1398849
Load Point 22	0,93257	0,1398849
Load Point 23	0,93257	0,1398849
Load Point 24	0,93257	0,1398849
Load Point 25	0,93257	0,1398849
Load Point 26	0,93257	0,1398849
Load Point 27	0,93257	0,1398849
Load Point 28	0,93257	0,1398849

Load Point	Indeks Keandalan Load Point	
	α (gangguan/tahun)	U (jam/tahun)
Load Point 29	0,93257	0,1398849
Load Point 30	0,93257	0,1398849
Load Point 31	0,93257	0,1398849
Load Point 32	0,93257	0,1398849
Load Point 33	0,93257	0,1398849
Load Point 34	0,93257	0,1398849
Load Point 35	0,93257	0,1398849
Load Point 36	0,93257	0,1398849
Load Point 37	0,93257	0,1398849
Load Point 38	0,93257	0,1398849
Load Point 39	0,93257	0,1398849
Load Point 40	0,93257	0,1398849
Load Point 41	0,93257	0,1398849

Dari tabel diatas, kita dapat menentukan nilai SAIFI dan SAIDI pada *Section 1*. Sebagai contoh, yaitu SAIFI pada *load Point 1*. Nilai SAIFI dapat ditentukan dengan mengalikan α LP1 dengan konsumen LP1 dan membagi nilai tersebut dengan jumlah keseluruhan konsumen keseluruhan.

$$\begin{aligned}
 SAIFI &= \frac{\sum \alpha_i N_i}{\sum N_i} \\
 SAIFI_{LP1} &= \frac{0,938566 \times 121}{11387} = 0,009973346 \\
 SAIDI &= \frac{\sum U_i \cdot N_i}{\sum N_i} \\
 SAIDI_{LP1} &= \frac{2,899698 \times 121}{11387} = 0,030812634
 \end{aligned}$$

Perhitungan SAIFI dan SAIDI untuk *Load Point 2* hingga *Load Point 41* menggunakan cara yang sama. Untuk mencari SAIFI dan SAIDI total *Section 1* dilakukan penjumlahan total SAIFI dan SAIDI *Load Point Section 1*. Berikut tabel SAIDI dan SAIFI *Section 1*.

Tabel 4.38. Indeks Keandalan *Section 1*

No. Load Point	Indeks Keandalan	
	SAIFI (Ganguan/Tahun)	SAIDI (Jam/Tahun)
1	0,00996	0,03081
2	0,00469	0,01452
3	0,00733	0,02266
4	0,11321	0,35014
5	0,00379	0,01171
6	0,00757	0,02343
7	0,01597	0,04940
8	0,00296	0,00917
9	0,00790	0,02445
10	0,00552	0,01706
11	0,00288	0,00891
12	0,00338	0,01044
13	0,05072	0,15686
14	0,00288	0,00891
15	0,11441	0,01716
16	0,01089	0,00163
17	0,00295	0,00044
18	0,00008	0,00001
19	0,00147	0,00022
20	0,01409	0,00211
21	0,00016	0,00002
22	0,00098	0,00015
23	0,00319	0,00048
24	0,01269	0,00190
25	0,00008	0,00001
26	0,00238	0,00036
27	0,00328	0,00049
28	0,00729	0,00109

No. Load Point	Indeks Keandalan	
	SAIFI (Gangguan/Tahun)	SAIDI (Jam/Tahun)
29	0,00139	0,00021
30	0,03300	0,00495
31	0,00721	0,00108
32	0,00008	0,00001
33	0,01458	0,00219
34	0,00778	0,00117
35	0,00975	0,00146
36	0,00008	0,00001
37	0,00008	0,00001
38	0,00884	0,00133
39	0,00008	0,00001
40	0,00016	0,00002
TOTAL	0,49577	0,77703

Jadi nilai SAIFI pada *Section 1* adalah 0,495772167 Gangguan/Tahun dan nilai SAIDI adalah 0,777033724 Jam/Tahun.

2. Section 2

Tabel 4.39. Section Technique worksheet section 2

Data Peralatan		Efek Sistem	
No. Gangguan	Komponen	Load Point yang Dipengaruhi <i>Repair Time</i>	Load Point yang Dipengaruhi <i>Switching Time</i>
1	Trafo 15	LP15	-
2	Trafo 16	LP16	-
3	Trafo 17	LP17	-
4	Trafo 18	LP18	-
5	Trafo 19	LP19	-
6	Trafo 20	LP20	-
7	Trafo 21	LP21	-
8	Trafo 22	LP22	-
9	Trafo 23	LP23	-
10	Trafo 24	LP24	-

Data Peralatan		Efek Sistem	
No. Gangguan	Komponen	Load Point yang Dipengaruhi <i>Repair Time</i>	Load Point yang Dipengaruhi <i>Switching Time</i>
12	Trafo 26	LP26	-
13	Trafo 27	LP27	-
14	Trafo 28	LP28	-
15	Trafo 29	LP29	-
16	Trafo 30	LP30	-
17	S2	LP1-LP30	LP31-LP41
18	S3	LP1-LP30	LP31-LP41
19	S4	LP1-LP30	LP31-LP41
20	Line 15	LP1-LP30	LP31-LP41
21	Line 16	LP1-LP30	LP31-LP41
22	Line 17	LP1-LP30	LP31-LP41
23	Line 18	LP1-LP30	LP31-LP41
24	Line 19	LP1-LP30	LP31-LP41
25	Line 20	LP1-LP30	LP31-LP41
26	Line 21	LP1-LP30	LP31-LP41
27	Line 22	LP1-LP30	LP31-LP41
28	Line 23	LP1-LP30	LP31-LP41
29	Line 24	LP1-LP30	LP31-LP41
30	Line 25	LP1-LP30	LP31-LP41
31	Line 26	LP1-LP30	LP31-LP41
32	Line 27	LP1-LP30	LP31-LP41
33	Line 28	LP1-LP30	LP31-LP41
34	Line 29	LP1-LP30	LP31-LP41
35	Line 30	LP1-LP30	LP31-LP41

Tabel 4.40. Perhitungan Laju Kegagalan *Load Point* 15 (α_{LP15})

Peralatan	Failure Rate Peralatan (gangguan/tahun/km)	Panjang Saluran Udara (km)	α (gangguan/tahun)
S2	0,003	-	0,003
S3	0,003	-	0,003
S4	0,003	-	0,003
T15	0,005	-	0,005
Line 15	0,2	0,312	0,0624
Line 16	0,2	0,417	0,0834
Line 17	0,2	0,065	0,013
Line 18	0,2	0,173	0,0346
Line 19	0,2	0,204	0,0408
Line 20	0,2	0,251	0,0502
Line 21	0,2	0,107	0,0214
Line 22	0,2	0,264	0,0528
Line 23	0,2	0,057	0,0114
Line 24	0,2	0,293	0,0586
Line 25	0,2	0,426	0,0852
Line 26	0,2	0,277	0,0554
Line 27	0,2	0,112	0,0224
Line 28	0,2	0,068	0,0136
Line 29	0,2	0,082	0,0164
Line 30	0,2	0,391	0,0782
Jumlah Total Laju Kegagalan ($\sum_{i=k} \alpha_i$)			0,7138

Nilai gangguan load point 15 (LP15) adalah sama dengan nilai gangguan *load point* 16 sampai *load point* 30 (LP16-LP30) karena nilai failure rate dari trafo diasumsikan sama.

Tabel 4.41. Perhitungan Laju Kegagalan *Load Point* 1 (α_{LP1})

Peralatan	Failure Rate Peralatan (gangguan/tahun/km)	Panjang Saluran Udara (km)	α (gangguan/tahun)
S2	0,003	-	0,003
S3	0,003	-	0,003
S4	0,003	-	0,003
Line 15	0,2	0,312	0,0624

Peralatan	Failure Rate Peralatan (gangguan/tahun/km)	Panjang Saluran Udara (km)	α (gangguan/tahun)
Line 16	0,2	0,417	0,0834
Line 17	0,2	0,065	0,013
Line 18	0,2	0,173	0,0346
Line 19	0,2	0,204	0,0408
Line 20	0,2	0,251	0,0502
Line 21	0,2	0,107	0,0214
Line 22	0,2	0,264	0,0528
Line 23	0,2	0,057	0,0114
Line 24	0,2	0,293	0,0586
Line 25	0,2	0,426	0,0852
Line 26	0,2	0,277	0,0554
Line 27	0,2	0,112	0,0224
Line 28	0,2	0,068	0,0136
Line 29	0,2	0,082	0,0164
Line 30	0,2	0,391	0,0782
Jumlah Total Laju Kegagalan ($\sum_{i=k} \alpha_i$)			0,7088

Nilai failure rate *load point* 1 (α_{LP1}) adalah sama dengan nilai failure (LP2-LP14) dan failure (LP31-LP41), karena (LP1-LP14) dan (LP31-LP41) akan mengalami pemutusan daya saat gangguan pada kabel atau pemisah di *section* 2 . Namun gangguan trafo di *section* 2 tidak akan menimbulkan gangguan di *section* 1 dan 3.

Tabel 4.42. Perhitungan Durasi Gangguan (U *Load Point* 15)

Peralatan	α (fault/yr)	Repaire Time (jam)	Switching Time (jam)	U (jam/hari)
S2	0,003	10	0,15	0,03
S3	0,003	10	0,15	0,03
S4	0,003	10	0,15	0,03
T15	0,005	10	0,15	0,05
Line 15	0,0624	3	0,15	0,1872
Line 16	0,0834	3	0,15	0,2502
Line 17	0,013	3	0,15	0,039
Line 18	0,0346	3	0,15	0,1038
Line 19	0,0408	3	0,15	0,1224

Peralatan	α (fault/yr)	Repaire Time (jam)	Switching Time (jam)	U (jam/hari)
Line 20	0,0502	3	0,15	0,1506
Line 21	0,0214	3	0,15	0,0642
Line 22	0,0528	3	0,15	0,1584
Line 23	0,0114	3	0,15	0,0342
Line 24	0,0586	3	0,15	0,1758
Line 25	0,0852	3	0,15	0,2556
Line 26	0,0554	3	0,15	0,1662
Line 27	0,0224	3	0,15	0,0672
Line 28	0,0136	3	0,15	0,0408
Line 29	0,0164	3	0,15	0,0492
Line 30	0,0782	3	0,15	0,2346
Jumlah Total Durasi Gangguan ($\sum_{i=k} U_i$)				2,2394

Nilai *Repaire Time* untuk *load point* 15 (U_{15}) memiliki nilai yang sama dengan *repaire time* load 16-30 (U_{16-30}), karena diasumsikan nilai *repaire time* tiap trafo memiiliki nilai yang sama.

Tabel 4.43. Perhitungan Durasi Gangguan (U) *Load Point* 1 (LP1)

Peralatan	α (fault/yr)	Repaire Time (jam)	Switching Time (jam)	U (jam/hari)
S2	0,003	10	0,15	0,03
S3	0,003	10	0,15	0,03
S4	0,003	10	0,15	0,03
Line 15	0,0624	3	0,15	0,1872
Line 16	0,0834	3	0,15	0,2502
Line 17	0,013	3	0,15	0,039
Line 18	0,0346	3	0,15	0,1038
Line 19	0,0408	3	0,15	0,1224
Line 20	0,0502	3	0,15	0,1506
Line 21	0,0214	3	0,15	0,0642
Line 22	0,0528	3	0,15	0,1584
Line 23	0,0114	3	0,15	0,0342
Line 24	0,0586	3	0,15	0,1758
Line 25	0,0852	3	0,15	0,2556
Line 26	0,0554	3	0,15	0,1662

Peralatan	α (fault/yr)	Repaire Time (jam)	Switching Time (jam)	U (jam/hari)
Line 27	0,0224	3	0,15	0,0672
Line 28	0,0136	3	0,15	0,0408
Line 29	0,0164	3	0,15	0,0492
Line 30	0,0782	3	0,15	0,2346
Jumlah Total Durasi Gangguan ($\sum_{i=k} U_i$)				2,1894

Nilai *Repaire Time* untuk *load point* 1-14 (U_{1-14}) memiliki nilai yang sama dengan *repaire time* load 1 (U_1). Nilai ini hampir sama dengan nilai repaire time section 2 tetapi nilai *repaire time* trafo di section 2 saat ini dianggap 0 karena gangguan pada trafo di section 2 tidak akan mempengaruhi sistem section 1.

Tabel 4.44. Perhitungan Durasi Gangguan LP31(U_{31})

Peralatan	α (fault/yr)	Repaire Time (jam)	Switching Time (jam)	U (jam/hari)
S2	0,003	10	0,15	0,00045
S3	0,003	10	0,15	0,00045
S4	0,003	10	0,15	0,00045
Line 15	0,0624	3	0,15	0,00936
Line 16	0,0834	3	0,15	0,01251
Line 17	0,013	3	0,15	0,00195
Line 18	0,0346	3	0,15	0,00519
Line 19	0,0408	3	0,15	0,00612
Line 20	0,0502	3	0,15	0,00753
Line 21	0,0214	3	0,15	0,00321
Line 22	0,0528	3	0,15	0,00792
Line 23	0,0114	3	0,15	0,00171
Line 24	0,0586	3	0,15	0,00879
Line 25	0,0852	3	0,15	0,01278
Line 26	0,0554	3	0,15	0,00831
Line 27	0,0224	3	0,15	0,00336
Line 28	0,0136	3	0,15	0,00204
Line 29	0,0164	3	0,15	0,00246
Line 30	0,0782	3	0,15	0,01173
Jumlah Total Durasi Gangguan ($\sum_{i=k} U_i$)				0,10632

Perhitungan untuk mencari nilai Switching Time *load point* 32 sampai 41 pada section 3 menggunakan langkah dan cara yang sama dan hasilnya pun juga sama dengan *Load Point* 31. Nilai *Switching time* setiap trafo dianggap 0, karena kegagalan pada trafo dalam section 2, tidak akan mempengaruhi sistem di section 3. Dalam hal ini penulis menghitung nilai Load Point 31 sampai 41 menggunakan software Microsoft Excel.

Tabel 4.45. Perhitungan Laju Kegagalan dan Durasi Gangguan *Load Point*
Section 2

Peralatan	α (<i>fault/yr</i>)	
	α (<i>fault/yr</i>)	Repaire Time (jam)
Load Point 1	0,7088	2,1894
Load Point 2	0,7088	2,1894
Load Point 3	0,7088	2,1894
Load Point 4	0,7088	2,1894
Load Point 5	0,7088	2,1894
Load Point 6	0,7088	2,1894
Load Point 7	0,7088	2,1894
Load Point 8	0,7088	2,1894
Load Point 9	0,7088	2,1894
Load Point 10	0,7088	2,1894
Load Point 11	0,7088	2,1894
Load Point 12	0,7088	2,1894
Load Point 13	0,7088	2,1894
Load Point 14	0,7088	2,1894
Load Point 15	0,7138	2,2394
Load Point 16	0,7138	2,2394
Load Point 17	0,7138	2,2394

Peralatan	α (<i>fault/yr</i>)	
	α (<i>fault/yr</i>)	<i>Repaire Time</i> (jam)
Load Point 18	0,7138	2,2394
Load Point 19	0,7138	2,2394
Load Point 20	0,7138	2,2394
Load Point 21	0,7138	2,2394
Load Point 22	0,7138	2,2394
Load Point 23	0,7138	2,2394
Load Point 24	0,7138	2,2394
Load Point 25	0,7138	2,2394
Load Point 26	0,7138	2,2394
Load Point 27	0,7138	2,2394
Load Point 28	0,7138	2,2394
Load Point 29	0,7138	2,2394
Load Point 30	0,7138	2,2394
Load Point 31	0,7088	0,10632
Load Point 32	0,7088	0,10632
Load Point 33	0,7088	0,10632
Load Point 34	0,7088	0,10632
Load Point 35	0,7088	0,10632
Load Point 36	0,7088	0,10632
Load Point 37	0,7088	0,10632
Load Point 38	0,7088	0,10632
Load Point 39	0,7088	0,10632
Load Point 40	0,7088	0,10632
Load Point 41	0,7088	0,10632

Dari tabel diatas, kita dapat menentukan nilai SAIFI dan SAIDI pada *Section 2*. Contoh SAIFI pada *load Point 1*, nilai SAIFI dapat ditentukan dengan mengalikan α LP1 dengan konsumen LP1 dan membagi nilai tersebut dengan jumlah keseluruhan konsumen keseluruhan.

$$\begin{aligned} \text{SAIFI} &= \frac{\sum \alpha_i N_i}{\sum N_i} \\ \text{SAIFI}_{LP1} &= \frac{0,7088 \times 121}{11387} = 0,007531817 \\ \text{SAIDI} &= \frac{\sum U_i \cdot N_i}{\sum N_i} \\ \text{SAIDI}_{LP1} &= \frac{2,1894 \times 121}{11387} = 0,023264898 \end{aligned}$$

Perhitungan SAIFI dan SAIDI untuk *Load Point 2* hingga *Load Point 41* menggunakan cara yang sama. Untuk mencari SAIFI dan SAIDI total *Section 2* dilakukan penjumlahan total SAIFI dan SAIDI tiap *Load Point Section 2*. Berikut tabel SAIDI dan SAIFI *Load Point 2*.

Tabel 4.46. Tabel SAIDI dan SAIFI *Section 2*

No. Load Point	Nilai Indeks Keandalan	
	SAIFI (Gangguan/Tahun)	SAIDI (Jam/Tahun)
1	0,00753	0,02326
2	0,00355	0,01096
3	0,00554	0,01711
4	0,08559	0,26437
5	0,00286	0,00884
6	0,00573	0,01769
7	0,01208	0,03730
8	0,00224	0,00692
9	0,00598	0,01846
10	0,00417	0,01288
11	0,00218	0,00673
12	0,00255	0,00788
13	0,03834	0,11844
14	0,00218	0,00673
15	0,08757	0,27474

No. Load Point	Nilai Indeks Keandalan	
	SAIFI (Gangguan/Tahun)	SAIDI (Jam/Tahun)
16	0,00834	0,02616
17	0,00226	0,00708
18	0,00006	0,00020
19	0,00113	0,00354
20	0,01078	0,03383
21	0,00013	0,00039
22	0,00075	0,00236
23	0,00244	0,00767
24	0,00972	0,03048
25	0,00006	0,00020
26	0,00182	0,00570
27	0,00251	0,00787
28	0,00558	0,01750
29	0,00107	0,00334
30	0,02526	0,07926
31	0,00548	0,00082
32	0,00006	0,00001
33	0,01108	0,00166
34	0,00591	0,00089
35	0,00741	0,00111
36	0,00006	0,00001
37	0,00006	0,00001
38	0,00672	0,00101
39	0,00006	0,00001
40	0,00012	0,00002
41	0,00012	0,00002
TOTAL	0,37709	1,06346

Jadi nilai SAIFI dan SAIDI di section 32 adalah 0,37708545 gangguan/tahun dan 1,06346363 jam/tahun.

3. Section 3

Tabel 4.47. Section Technique worksheet section 3

Data Peralatan		Efek Sistem	
No. Gangguan	Komponen	Load Point yang Dipengaruhi <i>Repair Time</i>	Load Point yang Dipengaruhi <i>Switching Time</i>
1	Trafo 31	LP31	-
2	Trafo 32	LP32	-
3	Trafo 33	LP33	-
4	Trafo 34	LP34	-
5	Trafo 35	LP35	-
6	Trafo 36	LP36	-
7	Trafo 37	LP37	-
8	Trafo 38	LP38	-
9	Trafo 39	LP39	-
10	Trafo 40	LP40	-
11	Trafo 41	LP41	-
12	S4	LP31-LP41	LP1-LP30
13	S5	LP31-LP41	LP1-LP30
14	S6	LP31-LP41	LP1-LP30
15	Line 31	LP31-LP41	LP1-LP30
16	Line 32	LP31-LP41	LP1-LP30
17	Line 33	LP31-LP41	LP1-LP30
18	Line 34	LP31-LP41	LP1-LP30
19	Line 35	LP31-LP41	LP1-LP30
20	Line 36	LP31-LP41	LP1-LP30
21	Line 37	LP31-LP41	LP1-LP30
22	Line 38	LP31-LP41	LP1-LP30
23	Line 39	LP31-LP41	LP1-LP30
24	Line 40	LP31-LP41	LP1-LP30
25	Line 41	LP31-LP41	LP1-LP30
26	Line 42	LP31-LP41	LP1-LP30

Tabel 4.48. Perhitungan Indeks Keandalan Dasar *failure rate Load Point 31*
(α_{LP31})

Peralatan	Failure Rate Peralatan (gangguan/tahun/km)	Panjang Saluran Udara (km)	α (gangguan/tahun)
S4	0,003	-	0,003
S5	0,003	-	0,003
S6	0,003	-	0,003
T31	0,005	-	0,005
Line 31	0,2	0,612	0,1224
Line 32	0,2	0,173	0,0346
Line 33	0,2	0,458	0,0916
Line 34	0,2	0,651	0,1302
Line 35	0,2	0,529	0,1058
Line 36	0,2	0,097	0,0194
Line 37	0,2	0,392	0,0784
Line 38	0,2	0,561	0,1122
Line 39	0,2	0,037	0,0074
Line 40	0,2	0,425	0,085
Line 41	0,2	0,484	0,0968
Line 42	0,2	0,738	0,1476
Jumlah Total Laju Kegagalan ($\sum_{i=k} \alpha_i$)			1,0454

Nilai failure rate untuk load point 31 hingga 41 adalah sama, karena nilai failure rate tiap-tiap trafo sama.

Tabel 4.49. Laju Kegagalan *Load Point 1* (α_{LP1})

Peralatan	Failure Rate Peralatan (gangguan/tahun/km)	Panjang Saluran Udara (km)	α (gangguan/tahun)
S4	0,003	-	0,003
S5	0,003	-	0,003
S6	0,003	-	0,003
Line 31	0,2	0,612	0,1224
Line 32	0,2	0,173	0,0346
Line 33	0,2	0,458	0,0916
Line 34	0,2	0,651	0,1302
Line 35	0,2	0,529	0,1058

Peralatan	<i>Failure Rate</i> Peralatan (gangguan/tahun/km)	Panjang Saluran Udara (km)	α (gangguan/tahun)
Line 36	0,2	0,097	0,0194
Line 37	0,2	0,392	0,0784
Line 38	0,2	0,561	0,1122
Line 39	0,2	0,037	0,0074
Line 40	0,2	0,425	0,085
Line 41	0,2	0,484	0,0968
Line 42	0,2	0,738	0,1476
Jumlah Total Laju Kegagalan ($\sum_{i=k} \alpha_i$)			1,0404

Nilai failure rate *load point* 1 (α_{LP1}) adalah sama dengan nilai failure rate 2 hingga 30. Karena load point 2-30 mengalami switching time saat gangguan pada kabel atau pemisah di load point 3. Dalam hal ini, jika terjadi gangguan pada trafo dalam section 3, hal ini tidak mengakibatkan kegagalan di seksi yang lainnya.

Tabel 4.50. Perhitungan Durasi Gangguan (U) *Load Point* 31 (ULP31)

Peralatan	α (fault/yr)	<i>Repaire Time</i> (jam)	<i>Switching Time</i> (jam)	U (jam/hari)
S4	0,003	10	0,15	0,03
S5	0,003	10	0,15	0,03
S6	0,003	10	0,15	0,03
T31	0,005	10	0,15	0,05
Line 31	0,1224	3	0,15	0,3672
Line 32	0,0346	3	0,15	0,1038
Line 33	0,0916	3	0,15	0,2748
Line 34	0,1302	3	0,15	0,3906
Line 35	0,1058	3	0,15	0,3174
Line 36	0,0194	3	0,15	0,0582
Line 37	0,0784	3	0,15	0,2352
Line 38	0,1122	3	0,15	0,3366
Line 39	0,0074	3	0,15	0,0222
Line 40	0,085	3	0,15	0,255
Line 41	0,0968	3	0,15	0,2904
Line 42	0,1476	3	0,15	0,4428
Jumlah Total Durasi Gangguan ($\sum_{i=k} U_i$)				3,2342

Nilai durasi pemadaman (U) *load point* 31 hingga 41 adalah sama karena berada dalam 1 *section*. Namun untuk load point 1 hingga 30, tidak dipengaruhi oleh kegagalan trafo dalam section 3 dan perhitungannya hanya menggunakan switching time. Section 1 dan 2 (LP1-LP30) hanya membutuhkan waktu switching time karena jika terjadi gangguan, maka Sectionalizer 4 (S4) akan membuka (O).

Tabel 4.51. Perhitungan Durasi Gangguan (U) *Load Point* 1 (ULP1)

Peralatan	α (fault/yr)	Repaire Time (jam)	Switching Time (jam)	U (jam/hari)
S4	0,003	10	0,15	0,00045
S5	0,003	10	0,15	0,00045
S6	0,003	10	0,15	0,00045
Line 31	0,1224	3	0,15	0,01836
Line 32	0,0346	3	0,15	0,00519
Line 33	0,0916	3	0,15	0,01374
Line 34	0,1302	3	0,15	0,01953
Line 35	0,1058	3	0,15	0,01587
Line 36	0,0194	3	0,15	0,00291
Line 37	0,0784	3	0,15	0,01176
Line 38	0,1122	3	0,15	0,01683
Line 39	0,0074	3	0,15	0,00111
Line 40	0,085	3	0,15	0,01275
Line 41	0,0968	3	0,15	0,01452
Line 42	0,1476	3	0,15	0,02214
Jumlah Total Durasi Gangguan ($\sum_{i=k} U_i$)				0,15606

Nilai failure rate time untuk load point 2 hingga 30 adalah sama dengan nilai load point 1. Hal ini terjadi Karena saat komponen section 1 mengalami gangguan, maka Sectionalizer 4 (S4) akan membuka dan beban Section 1 dan 2 (LP1-LP30) akan dilayani kembali oleh GDO 04.

Tabel 4.52. Laju Kegagalan dan Durasi Gangguan *Load Point Section 3*

Load Point	Indeks Keandalan Load Point	
	α (gangguan/tahun)	U (jam/tahun)
Load Point 1	0,7088	0,15606
Load Point 2	0,7088	0,15606
Load Point 3	0,7088	0,15606
Load Point 4	0,7088	0,15606
Load Point 5	0,7088	0,15606
Load Point 6	0,7088	0,15606
Load Point 7	0,7088	0,15606
Load Point 8	0,7088	0,15606
Load Point 9	0,7088	0,15606
Load Point 10	0,7088	0,15606
Load Point 11	0,7088	0,15606
Load Point 12	0,7088	0,15606
Load Point 13	0,7088	0,15606
Load Point 14	0,7088	0,15606
Load Point 15	0,7138	0,15606
Load Point 16	0,7138	0,15606
Load Point 17	0,7138	0,15606
Load Point 18	0,7138	0,15606
Load Point 19	0,7138	0,15606
Load Point 20	0,7138	0,15606
Load Point 21	0,7138	0,15606
Load Point 22	0,7138	0,15606
Load Point 23	0,7138	0,15606

Load Point	Indeks Keandalan Load Point	
	α (gangguan/tahun)	U (jam/tahun)
Load Point 24	0,7138	0,15606
Load Point 25	0,7138	0,15606
Load Point 26	0,7138	0,15606
Load Point 27	0,7138	0,15606
Load Point 28	0,7138	0,15606
Load Point 29	0,7138	0,15606
Load Point 30	0,7138	0,15606
Load Point 31	0,7088	3,2342
Load Point 32	0,7088	3,2342
Load Point 33	0,7088	3,2342
Load Point 34	0,7088	3,2342
Load Point 35	0,7088	3,2342
Load Point 36	0,7088	3,2342
Load Point 37	0,7088	3,2342
Load Point 38	0,7088	3,2342
Load Point 39	0,7088	3,2342
Load Point 40	0,7088	3,2342
Load Point 41	0,7088	3,2342

Dari tabel diatas, kita dapat menentukan nilai SAIFI dan SAIDI pada

Section 3. Contoh SAIFI pada *load Point 1*, nilai SAIFI dapat ditentukan dengan mengalikan α LP1 dengan konsumen LP1 dan membagi nilai tersebut dengan jumlah keseluruhan konsumen keseluruhan.

$$SAIFI = \frac{\sum \alpha Ni}{\sum Ni}$$

$$SAIFI_{LP1} = \frac{0,7088 \times 121}{11387} = 0,007531817$$

$$SAIDI = \frac{\sum U_i \cdot N_i}{\sum N_i}$$

$$SAIDI_{LP1} = \frac{0,15606 \times 121}{11387} = 0,001658317$$

Perhitungan SAIFI dan SAIDI untuk *Load Point 2* hingga *Load Point 41* menggunakan cara yang sama. Untuk mencari SAIFI dan SAIDI total *Section 3* dilakukan penjumlahan total SAIFI dan SAIDI tiap *Load Point* di *Section 3*. Berikut tabel SAIDI dan SAIFI *Load Point 3*.

Tabel 4.53. SAIDI dan SAIFI *Section 3*

No. Load Point	SAIFI (Gangguan/Tahun)	SAIDI (Jam/Tahun)
1	0,00753	0,00166
2	0,00355	0,00078
3	0,00554	0,00122
4	0,08559	0,01884
5	0,00286	0,00063
6	0,00573	0,00126
7	0,01208	0,00266
8	0,00224	0,00049
9	0,00598	0,00132
10	0,00417	0,00092
11	0,00218	0,00048
12	0,00255	0,00056
13	0,03834	0,00844
14	0,00218	0,00048
15	0,08757	0,01915
16	0,00834	0,00182
17	0,00226	0,00049
18	0,00006	0,00001
19	0,00113	0,00025
20	0,01078	0,00236
21	0,00013	0,00003
22	0,00075	0,00016
23	0,00244	0,00053
24	0,00972	0,00212

No. Load Point	SAIFI (Gangguan/Tahun)	SAIDI (Jam/Tahun)
25	0,00006	0,00001
26	0,00182	0,00040
27	0,00251	0,00055
28	0,00558	0,00122
29	0,00107	0,00023
30	0,02526	0,11446
31	0,00548	0,02499
32	0,00006	0,00028
33	0,01108	0,05056
34	0,00591	0,02698
35	0,00741	0,03380
36	0,00006	0,00028
37	0,00006	0,00028
38	0,00672	0,03067
39	0,00006	0,00028
40	0,00012	0,00057
41	0,00012	0,00057
TOTAL	0,37709	0,35283

Jadi nilai SAIFI dan SAIDI di Section 3 adalah 0,377085 Gangguan/Tahun dan 0,352829 Jam/Tahun.

4. Section 4

Tabel 4.54. Section Technique Worksheet Section 4

Data Peralatan		Efek Sistem	
No. Gangguan	Komponen	Load Point yang Dipengaruhi <i>Repair Time</i>	Load Point yang Dipengaruhi <i>Switching Time</i>
1	Trafo 42	LP42	-
2	Trafo 43	LP43	-
3	Trafo 44	LP44	-
4	Trafo 45	LP45	-
5	Trafo 46	LP46	-
6	Trafo 47	LP47	-
7	Trafo 48	LP48	-

Data Peralatan		Efek Sistem	
No. Gangguan	Komponen	Load Point yang Dipengaruhi <i>Repair Time</i>	Load Point yang Dipengaruhi <i>Switching Time</i>
8	Trafo 49	LP49	-
9	Trafo 50	LP50	-
10	Trafo 51	LP51	-
11	Trafo 52	LP52	-
12	Trafo 53	LP53	-
13	Trafo 54	LP54	-
14	Trafo 55	LP55	-
15	Trafo 56	LP56	-
16	Trafo 57	LP57	-
17	Trafo 58	LP58	-
18	Trafo 59	LP59	-
19	Trafo 60	LP60	-
20	Trafo 61	LP61	-
21	Trafo 62	LP62	-
22	Trafo 63	LP63	-
23	Trafo 64	LP64	-
24	Trafo 65	LP65	-
25	Trafo 66	LP66	-
26	S5	LP42-LP66	LP67-LP89
28	S6	LP42-LP66	LP67-LP89
29	S7	LP42-LP66	LP67-LP89
30	Line 43	LP42-LP66	LP67-LP89
31	Line 44	LP42-LP66	LP67-LP89
32	Line 45	LP42-LP66	LP67-LP89
33	Line 46	LP42-LP66	LP67-LP89
34	Line 47	LP42-LP66	LP67-LP89
35	Line 48	LP42-LP66	LP67-LP89

36	Line 49	LP42-LP66	LP67-LP89
37	Line 50	LP42-LP66	LP67-LP89
38	Line 51	LP42-LP66	LP67-LP89
39	Line 52	LP42-LP66	LP67-LP89
40	Line 53	LP42-LP66	LP67-LP89
41	Line 54	LP42-LP66	LP67-LP89
42	Line 55	LP42-LP66	LP67-LP89
43	Line 56	LP42-LP66	LP67-LP89
44	Line 57	LP42-LP66	LP67-LP89
45	Line 58	LP42-LP66	LP67-LP89
46	Line 59	LP42-LP66	LP67-LP89
47	Line 60	LP42-LP66	LP67-LP89
48	Line 61	LP42-LP66	LP67-LP89
49	Line 62	LP42-LP66	LP67-LP89
50	Line 63	LP42-LP66	LP67-LP89

Tabel 4.55. Perhitungan Laju Kegagalan (*failure rate*) Load Point 42 (aLP42)

Peralatan	Failure Rate Peralatan (gangguan/tahun/km)	Panjang Saluran Udara (km)	α (gangguan/tahun)
S7	0,003	-	0,003
S8	0,003	-	0,003
S9	0,003	-	0,003
T42	0,005	-	0,005
Line 43	0,2	0,317	0,0634
Line 44	0,2	0,102	0,0204
Line 45	0,2	0,212	0,0424
Line 46	0,2	0,341	0,0682
Line 47	0,2	0,062	0,0124
Line 48	0,2	0,196	0,0392
Line 49	0,2	0,414	0,0828
Line 50	0,2	0,022	0,0044
Line 51	0,2	0,315	0,063

Peralatan	<i>Failure Rate</i> Peralatan (gangguan/tahun/km)	Panjang Saluran Udara (km)	α (gangguan/tahun)
Line 52	0,2	0,163	0,0326
Line 53	0,2	0,411	0,0822
Line 54	0,2	0,116	0,0232
Line 55	0,2	0,134	0,0268
Line 56	0,2	0,275	0,055
Line 57	0,2	0,271	0,0542
Line 58	0,2	0,158	0,0316
Line 59	0,2	0,177	0,0354
Line 60	0,2	0,194	0,0388
Line 61	0,2	0,413	0,0826
Line 62	0,2	0,316	0,0632
Line 63	0,2	0,235	0,047
Jumlah Total Laju Kegagalan ($\sum_{i=k} \alpha_i$)			0,9828

Nilai *failure rate* untuk load point 42 hingga 66 adalah sama, karena nilai *failure rate* tiap-tiap trafo sama.

Tabel 4.56. Perhitungan Laju Kegagalan (*Failure Rate*) Load Point 67 (α_{LP43})

Peralatan	<i>Failure Rate</i> Peralatan (gangguan/tahun/km)	Panjang Saluran Udara (km)	α (gangguan/tahun)
S7	0,003	-	0,003
S8	0,003	-	0,003
S9	0,003	-	0,003
Line 43	0,2	0,317	0,0634
Line 44	0,2	0,102	0,0204
Line 45	0,2	0,212	0,0424
Line 46	0,2	0,341	0,0682
Line 47	0,2	0,062	0,0124
Line 48	0,2	0,196	0,0392
Line 49	0,2	0,414	0,0828
Line 50	0,2	0,022	0,0044
Line 51	0,2	0,315	0,063
Line 52	0,2	0,163	0,0326
Line 53	0,2	0,411	0,0822
Line 54	0,2	0,116	0,0232

Peralatan	<i>Failure Rate</i> Peralatan (gangguan/tahun/km)	Panjang Saluran Udara (km)	α (gangguan/tahun)
Line 55	0,2	0,134	0,0268
Line 56	0,2	0,275	0,055
Line 57	0,2	0,271	0,0542
Line 58	0,2	0,158	0,0316
Line 59	0,2	0,177	0,0354
Line 60	0,2	0,194	0,0388
Line 61	0,2	0,413	0,0826
Line 62	0,2	0,316	0,0632
Line 63	0,2	0,235	0,047
Jumlah Total Laju Kegagalan ($\sum_{i=k} \alpha_i$)			0,9778

Nilai failure rate *load point* 67 (α_{LP67}) adalah sama dengan nilai failure rate 67 sampai 89. Karena load point 67 sampai 89 mengalami switching time saat ganguan pada kabel atau pemisah di *section 4*.

Tabel 4.57. Perhitungan Durasi Gangguan (U) *Load Point* 42 (ULP42)

Peralatan	α (fault/yr)	<i>Repaire Time</i> (jam)	<i>Switching Time</i> (jam)	U (jam/tahun)
S7	0,003	10	0,15	0,03
S8	0,003	10	0,15	0,03
S9	0,003	10	0,15	0,03
T42	0,005	10	0,15	0,05
Line 43	0,0634	3	0,15	0,1902
Line 44	0,0204	3	0,15	0,0612
Line 45	0,0424	3	0,15	0,1272
Line 46	0,0682	3	0,15	0,2046
Line 47	0,0124	3	0,15	0,0372
Line 48	0,0392	3	0,15	0,1176
Line 49	0,0828	3	0,15	0,2484
Line 50	0,0044	3	0,15	0,0132
Line 51	0,063	3	0,15	0,189
Line 52	0,0326	3	0,15	0,0978
Line 53	0,0822	3	0,15	0,2466
Line 54	0,0232	3	0,15	0,0696
Line 55	0,0268	3	0,15	0,0804

Peralatan	α (fault/yr)	Repaire Time (jam)	Switching Time (jam)	U (jam/tahun)
Line 56	0,055	3	0,15	0,165
Line 57	0,0542	3	0,15	0,1626
Line 58	0,0316	3	0,15	0,0948
Line 59	0,0354	3	0,15	0,1062
Line 60	0,0388	3	0,15	0,1164
Line 61	0,0826	3	0,15	0,2478
Line 62	0,0632	3	0,15	0,1896
Line 63	0,047	3	0,15	0,141
Jumlah Total Durasi Gangguan ($\sum_{i=k} U_i$)				3,0464

Nilai durasi pemadaman (U) *load point* 42 hingga 66 adalah sama karena berada dalam 1 *section*. Namun untuk *load point* 67 hingga 89, tidak dipengaruhi oleh kegagalan trafo *section* 3 dan perhitungannya hanya menggunakan switching time. *Section* 5 (LP67-LP89) hanya membutuhkan waktu switching time karena jika terjadi gangguan, maka Sectionalizer 7 (S7) akan membuka (O). Selanjutnya, daya pada *section* 5 akan disupply oleh GI Mangkunegara melalui penyulang MKN 07 dengan menutup Sectionalizer dari posisi normaly open (O) ke close (C).

Tabel 4.58. Perhitungan Laju Kegagalan (U) *Load Point* 67 (ULP67)

Peralatan	α (fault/yr)	Repaire Time (jam)	Switching Time (jam)	U (jam/hari)
S7	0,003	10	0,15	0,00045
S8	0,003	10	0,15	0,00045
S9	0,003	10	0,15	0,00045
Line 43	0,0634	3	0,15	0,00951
Line 44	0,0204	3	0,15	0,00306
Line 45	0,0424	3	0,15	0,00636
Line 46	0,0682	3	0,15	0,01023
Line 47	0,0124	3	0,15	0,00186
Line 48	0,0392	3	0,15	0,00588
Line 49	0,0828	3	0,15	0,01242
Line 50	0,0044	3	0,15	0,00066
Line 51	0,063	3	0,15	0,00945
Line 52	0,0326	3	0,15	0,00489
Line 53	0,0822	3	0,15	0,01233
Line 54	0,0232	3	0,15	0,00348

Peralatan	α (fault/yr)	Repaire Time (jam)	Switching Time (jam)	U (jam/hari)
Line 55	0,0268	3	0,15	0,00402
Line 56	0,055	3	0,15	0,00825
Line 57	0,0542	3	0,15	0,00813
Line 58	0,0316	3	0,15	0,00474
Line 59	0,0354	3	0,15	0,00531
Line 60	0,0388	3	0,15	0,00582
Line 61	0,0826	3	0,15	0,01239
Line 62	0,0632	3	0,15	0,00948
Line 63	0,047	3	0,15	0,00705
Jumlah Total Durasi Gangguan ($\sum_{i=k} U_i$)				0,14667

Nilai durasi gangguan untuk load point 68 hingga 89 adalah sama dengan nilai load point 7. Hal ini terjadi Karena saat komponen section 1 mengalami gangguan, maka Sectionalizer 4 (S7) akan membuka dan beban Section 5 (LP67-LP89) akan dilayani oleh MKN 07 dengan cara menutup Sectionalizer 11 (S11) dari posisi Open ke posisi Close.

Tabel 4.59. Perhitungan Laju Kegagalan dan Durasi Gangguan *Load Point Section 3*

Load Point	Indeks Keandalan Load Point	
	α (gangguan/tahun)	U (jam/tahun)
Load Point 42	0,9828	3,0464
Load Point 43	0,9828	3,0464
Load Point 44	0,9828	3,0464
Load Point 45	0,9828	3,0464
Load Point 46	0,9828	3,0464
Load Point 47	0,9828	3,0464
Load Point 48	0,9828	3,0464
Load Point 49	0,9828	3,0464
Load Point 50	0,9828	3,0464
Load Point 51	0,9828	3,0464
Load Point 52	0,9828	3,0464
Load Point 53	0,9828	3,0464

Load Point	Indeks Keandalan Load Point	
	α (gangguan/tahun)	U (jam/tahun)
Load Point 54	0,9828	3,0464
Load Point 55	0,9828	3,0464
Load Point 56	0,9828	3,0464
Load Point 57	0,9828	3,0464
Load Point 58	0,9828	3,0464
Load Point 59	0,9828	3,0464
Load Point 60	0,9828	3,0464
Load Point 61	0,9828	3,0464
Load Point 62	0,9828	3,0464
Load Point 63	0,9828	3,0464
Load Point 64	0,9828	3,0464
Load Point 65	0,9828	3,0464
Load Point 66	0,9828	3,0464
Load Point 67	0,9778	0,14667
Load Point 68	0,9778	0,14667
Load Point 69	0,9778	0,14667
Load Point 70	0,9778	0,14667
Load Point 71	0,9778	0,14667
Load Point 72	0,9778	0,14667
Load Point 73	0,9778	0,14667
Load Point 74	0,9778	0,14667
Load Point 75	0,9778	0,14667
Load Point 76	0,9778	0,14667
Load Point 77	0,9778	0,14667
Load Point 78	0,9778	0,14667
Load Point 79	0,9778	0,14667
Load Point 80	0,9778	0,14667
Load Point 81	0,9778	0,14667

Load Point	Indeks Keandalan Load Point	
	α (gangguan/tahun)	U (jam/tahun)
Load Point 82	0,9778	0,14667
Load Point 83	0,9778	0,14667
Load Point 84	0,9778	0,14667
Load Point 85	0,9778	0,14667
Load Point 86	0,9778	0,14667
Load Point 87	0,9778	0,14667
Load Point 88	0,9778	0,14667
Load Point 89	0,9778	0,14667

Dari tabel diatas, kita dapat menentukan nilai SAIFI dan SAIDI pada *Section 4*. Contoh SAIFI pada *load Point 42*, nilai SAIFInya dapat ditentukan dengan mengalikan α LP1 dengan konsumen LP1 dan membagi nilai tersebut dengan jumlah keseluruhan konsumen keseluruhan.

$$\begin{aligned}
 SAIFI &= \frac{\sum \alpha Ni}{\sum Ni} \\
 SAIFI_{LP42} &= \frac{0,9828 \times 1}{11387} = 0,008630895 \\
 SAIDI &= \frac{\sum Ui.Ni}{\sum Ni} \\
 SAIDI_{LP42} &= \frac{3,0464 \times 1}{11387} = 0,026753315
 \end{aligned}$$

Perhitungan SAIFI dan SAIDI untuk *Load Point 43* hingga *Load Point 89* menggunakan cara yang sama. Untuk mencari SAIFI dan SAIDI total *Section 4* dilakukan penjumlahan total SAIFI dan SAIDI tiap *Load Point Section*. Berikut tabel SAIDI dan SAIFI *Section 4*.

Tabel 4.60. Indeks Keandalan (SAIFI dan SAIDI) *Section 4*

No. Load Point	Nilai Indeks Keandalan	
	SAIFI (Gangguan/Tahun)	SAIDI (Jam/Tahun)
42	0,00009	0,00027
43	0,00104	0,00321
44	0,00811	0,02515

No. Load Point	Nilai Indeks Keandalan	
	SAIFI (Gangguan/Tahun)	SAIDI (Jam/Tahun)
45	0,00112	0,00348
46	0,01295	0,04013
47	0,00751	0,02328
48	0,00017	0,00054
49	0,00302	0,00936
50	0,01079	0,03344
51	0,00009	0,00027
52	0,01070	0,03317
53	0,01122	0,03478
54	0,04324	0,13403
55	0,00811	0,02515
56	0,01882	0,05832
57	0,02667	0,08267
58	0,01882	0,05832
59	0,01277	0,03959
60	0,00492	0,01525
61	0,00190	0,00589
62	0,01830	0,05672
63	0,01217	0,03772
64	0,04307	0,13350
65	0,01174	0,03638
66	0,00742	0,02301
67	0,00026	0,00004
68	0,00017	0,00003
69	0,00043	0,00006
70	0,00009	0,00001
71	0,01546	0,00232
72	0,00730	0,00109
73	0,00747	0,00112
74	0,01923	0,00289
75	0,01932	0,00290
76	0,00833	0,00125
77	0,00026	0,00004
78	0,00009	0,00001

No. Load Point	Nilai Indeks Keandalan	
	SAIFI (Gangguan/Tahun)	SAIDI (Jam/Tahun)
79	0,01185	0,00178
80	0,00481	0,00072
81	0,00009	0,00001
82	0,01056	0,00158
83	0,00129	0,00019
84	0,01486	0,00223
85	0,00017	0,00003
86	0,00807	0,00121
87	0,01537	0,00231
88	0,00034	0,00005
89	0,02009	0,00301
TOTAL	0,46065	0,93851

Jadi nilai indeks keandalan (SAIFI dan SAIDI) section 4 adalah 0,460645 gangguan/tahun dan 0,93851 jam/tahun.

5. Section 5

Tabel 4.61. Section Technique Worksheet Section 5

Data Peralatan		Efek Sistem	
No. Gangguan	Komponen	Load Point yang Dipengaruhi <i>Repair Time</i>	Load Point yang Dipengaruhi <i>Switching Time</i>
1	Trafo 67	LP42	-
2	Trafo 68	LP43	-
3	Trafo 69	LP44	-
4	Trafo 70	LP45	-
5	Trafo 71	LP46	-
6	Trafo 72	LP47	-
7	Trafo 73	LP48	-
8	Trafo 74	LP49	-
9	Trafo 75	LP50	-
10	Trafo 76	LP51	-
11	Trafo 77	LP52	-

Data Peralatan		Efek Sistem	
No. Gangguan	Komponen	Load Point yang Dipengaruhi <i>Repair Time</i>	Load Point yang Dipengaruhi <i>Switching Time</i>
13	Trafo 79	LP54	-
14	Trafo 80	LP55	-
15	Trafo 81	LP56	-
16	Trafo 82	LP57	-
17	Trafo 83	LP58	-
18	Trafo 84	LP59	-
19	Trafo 85	LP60	-
20	Trafo 86	LP61	-
21	Trafo 87	LP62	-
22	Trafo 88	LP63	-
23	Trafo 89	LP64	-
24	S6	LP67-LP89	LP42-LP66
25	S7	LP67-LP89	LP42-LP66
26	S10	LP67-LP89	LP42-LP66
27	S11	LP67-LP89	LP42-LP66
28	Line 64	LP67-LP89	LP42-LP66
29	Line 65	LP67-LP89	LP42-LP66
30	Line 66	LP67-LP89	LP42-LP66
31	Line 67	LP67-LP89	LP42-LP66
32	Line 68	LP67-LP89	LP42-LP66
33	Line 69	LP67-LP89	LP42-LP66
34	Line 70	LP67-LP89	LP42-LP66
35	Line 71	LP67-LP89	LP42-LP66
36	Line 72	LP67-LP89	LP42-LP66
37	Line 73	LP67-LP89	LP42-LP66
38	Line 74	LP67-LP89	LP42-LP66
39	Line 75	LP67-LP89	LP42-LP66
40	Line 76	LP67-LP89	LP42-LP66

Data Peralatan		Efek Sistem	
No. Gangguan	Komponen	Load Point yang Dipengaruhi <i>Repair Time</i>	Load Point yang Dipengaruhi <i>Switching Time</i>
42	Line 78	LP67-LP89	LP42-LP66
43	Line 79	LP67-LP89	LP42-LP66
44	Line 80	LP67-LP89	LP42-LP66
45	Line 81	LP67-LP89	LP42-LP66
46	Line 82	LP67-LP89	LP42-LP66
47	Line 83	LP67-LP89	LP42-LP66
48	Line 84	LP67-LP89	LP42-LP66

Tabel 4.62. Perhitungan Laju Kegagalan (*failure rate*) *Load Point 67* (α_{LP67})

Peralatan	Failure Rate Peralatan (gangguan/tahun/km)	Panjang Saluran Udara (km)	α (gangguan/tahun)
S6	0,003	-	0,003
S7	0,003	-	0,003
S10	0,003	-	0,003
S11	0,003	-	0,003
T67	0,005	-	0,005
Line 64	0,2	0,371	0,0742
Line 65	0,2	0,213	0,0426
Line 66	0,2	0,052	0,0104
Line 67	0,2	0,117	0,0234
Line 68	0,2	0,192	0,0384
Line 69	0,2	0,171	0,0342
Line 70	0,2	0,232	0,0464
Line 71	0,2	0,216	0,0432
Line 72	0,2	0,276	0,0552
Line 73	0,2	0,134	0,0268
Line 74	0,2	0,276	0,0552
Line 75	0,2	0,193	0,0386
Line 76	0,2	0,072	0,0144
Line 77	0,2	0,19	0,038
Line 78	0,2	0,245	0,049

Peralatan	<i>Failure Rate</i> Peralatan (gangguan/tahun/km)	Panjang Saluran Udara (km)	α (gangguan/tahun)
Line 79	0,2	0,314	0,0628
Line 80	0,2	0,376	0,0752
Line 81	0,2	0,132	0,0264
Line 82	0,2	0,298	0,0596
Line 83	0,2	0,148	0,0296
Line 84	0,2	0,194	0,0388
Jumlah Total Laju Kegagalan ($\sum_{i=k} \alpha_i$)			0,8994

Nilai failure rate untuk load point 67 hingga 89 adalah sama, karena nilai failure rate tiap-tiap trafo diasumsikan sama.

Tabel 4.63. Perhitungan Laju Kegagalan (*Failure rate*) Load Point 42 (α_{LP43})

Peralatan	<i>Failure Rate</i> Peralatan (gangguan/tahun/km)	Panjang Saluran Udara (km)	α (gangguan/tahun)
S6	0,003	-	0,003
S7	0,003	-	0,003
S10	0,003	-	0,003
S11	0,003	-	0,003
Line 64	0,2	0,371	0,0742
Line 65	0,2	0,213	0,0426
Line 66	0,2	0,052	0,0104
Line 67	0,2	0,117	0,0234
Line 68	0,2	0,192	0,0384
Line 69	0,2	0,171	0,0342
Line 70	0,2	0,232	0,0464
Line 71	0,2	0,216	0,0432
Line 72	0,2	0,276	0,0552
Line 73	0,2	0,134	0,0268
Line 74	0,2	0,276	0,0552
Line 75	0,2	0,193	0,0386
Line 76	0,2	0,072	0,0144
Line 77	0,2	0,19	0,038
Line 78	0,2	0,245	0,049
Line 79	0,2	0,314	0,0628
Line 80	0,2	0,376	0,0752

Peralatan	Failure Rate Peralatan (gangguan/tahun/km)	Panjang Saluran Udara (km)	α (gangguan/tahun)
Line 81	0,2	0,132	0,0264
Line 82	0,2	0,298	0,0596
Line 83	0,2	0,148	0,0296
Line 84	0,2	0,194	0,0388
Jumlah Total Laju Kegagalan ($\sum_{i=k} \alpha_i$)			0,8944

Nilai *failure rate load point 42* (α_{LP42}) adalah sama dengan nilai *failure rate* 43 sampai 66. Karena *load point* 42 sampai 66 mengalami *switching time* saat gangguan pada kabel atau pemisah di *section 5*. Namun gangguan trafo di *section 5* tidak menimbulkan gangguan di *section 4* atau sistem lain.

Tabel 4.64. Perhitungan Durasi Gangguan (U) *Load Point 67 (ULP67)*

Peralatan	α (fault/yr)	Repaire Time (jam)	Switching Time (jam)	U (jam/tahun)
S6	0,003	10	0,15	0,03
S7	0,003	10	0,15	0,03
S10	0,003	10	0,15	0,03
S11	0,003	10	0,15	0,03
T67	0,005	10	0,15	0,05
Line 64	0,0742	3	0,15	0,2226
Line 65	0,0426	3	0,15	0,1278
Line 66	0,0104	3	0,15	0,0312
Line 67	0,0234	3	0,15	0,0702
Line 68	0,0384	3	0,15	0,1152
Line 69	0,0342	3	0,15	0,1026
Line 70	0,0464	3	0,15	0,1392
Line 71	0,0432	3	0,15	0,1296
Line 72	0,0552	3	0,15	0,1656
Line 73	0,0268	3	0,15	0,0804
Line 74	0,0552	3	0,15	0,1656
Line 75	0,0386	3	0,15	0,1158
Line 76	0,0144	3	0,15	0,0432
Line 77	0,038	3	0,15	0,114
Line 78	0,049	3	0,15	0,147
Line 79	0,0628	3	0,15	0,1884
Line 80	0,0752	3	0,15	0,2256

Peralatan	α (fault/yr)	Repaire Time (jam)	Switching Time (jam)	U (jam/tahun)
Line 81	0,0264	3	0,15	0,0792
Line 82	0,0596	3	0,15	0,1788
Line 83	0,0296	3	0,15	0,0888
Line 84	0,0388	3	0,15	0,1164
Jumlah Total Durasi Gangguan ($\sum_{i=k} U_i$)				2,8172

Nilai durasi pemadaman (U) *load point* 67 hingga 89 adalah sama karena berada dalam 1 *section*. Namun untuk *load point* 42 hingga 66, tidak dipengaruhi oleh kegagalan trafo dalam *section* 5 dan perhitungannya hanya menggunakan switching time. *Section* 4 (LP42-LP66) hanya membutuhkan waktu switching time karena jika terjadi gangguan, maka Sectionalizer 7 (S7) akan membuka. Selanjutnya, daya pada *section* 4 akan disupply kembali oleh PALUR 01.

Tabel 4.65. Perhitungan Durasi Gangguan (U) *Load Point* 42 (ULP42)

Peralatan	α (fault/yr)	Repaire Time (jam)	Switching Time (jam)	U (jam/hari)
S6	0,003	10	0,15	0,00045
S7	0,003	10	0,15	0,00045
S10	0,003	10	0,15	0,00045
S11	0,003	10	0,15	0,00045
Line 64	0,0742	3	0,15	0,01113
Line 65	0,0426	3	0,15	0,00639
Line 66	0,0104	3	0,15	0,00156
Line 67	0,0234	3	0,15	0,00351
Line 68	0,0384	3	0,15	0,00576
Line 69	0,0342	3	0,15	0,00513
Line 70	0,0464	3	0,15	0,00696
Line 71	0,0432	3	0,15	0,00648
Line 72	0,0552	3	0,15	0,00828
Line 73	0,0268	3	0,15	0,00402
Line 74	0,0552	3	0,15	0,00828
Line 75	0,0386	3	0,15	0,00579
Line 76	0,0144	3	0,15	0,00216
Line 77	0,038	3	0,15	0,0057
Line 78	0,049	3	0,15	0,00735
Line 79	0,0628	3	0,15	0,00942

Peralatan	α (fault/yr)	Repaire Time (jam)	Switching Time (jam)	U (jam/hari)
Line 80	0,0752	3	0,15	0,01128
Line 81	0,0264	3	0,15	0,00396
Line 82	0,0596	3	0,15	0,00894
Line 83	0,0296	3	0,15	0,00444
Line 84	0,0388	3	0,15	0,00582
Jumlah Total Durasi Gangguan ($\sum_{i=k} U_i$)				0,13371

Nilai failure rate time untuk load point 43 hingga 66 adalah sama dengan nilai load point 42. Hal ini terjadi Karena saat komponen *section 5* mengalami gangguan, maka Sectionalizer 7 (S7) akan membuka dan beban Section 4 (LP42-LP66) akan dilayani/disuplai kembali oleh PALUR 01.

Tabel 4.66. Laju Kegagalan dan Durasi Gangguan *Load Point Section 5*

Load Point	Indeks Keandalan Load Point	
	α (gangguan/tahun)	U (jam/tahun)
Load Point 42	0,8944	0,13371
Load Point 43	0,8944	0,13371
Load Point 44	0,8944	0,13371
Load Point 45	0,8944	0,13371
Load Point 46	0,8944	0,13371
Load Point 47	0,8944	0,13371
Load Point 48	0,8944	0,13371
Load Point 49	0,8944	0,13371
Load Point 50	0,8944	0,13371
Load Point 51	0,8944	0,13371
Load Point 52	0,8944	0,13371
Load Point 53	0,8944	0,13371
Load Point 54	0,8944	0,13371
Load Point 55	0,8944	0,13371
Load Point 56	0,8944	0,13371
Load Point 57	0,8944	0,13371
Load Point 58	0,8944	0,13371
Load Point 59	0,8944	0,13371
Load Point 60	0,8944	0,13371
Load Point 61	0,8944	0,13371
Load Point 62	0,8944	0,13371

Load Point	Indeks Keandalan Load Point	
	α (gangguan/tahun)	U (jam/tahun)
Load Point 63	0,8944	0,13371
Load Point 64	0,8944	0,13371
Load Point 65	0,8944	0,13371
Load Point 66	0,8944	0,13371
Load Point 67	0,8994	2,8172
Load Point 68	0,8994	2,8172
Load Point 69	0,8994	2,8172
Load Point 70	0,8994	2,8172
Load Point 71	0,8994	2,8172
Load Point 72	0,8994	2,8172
Load Point 73	0,8994	2,8172
Load Point 74	0,8994	2,8172
Load Point 75	0,8994	2,8172
Load Point 76	0,8994	2,8172
Load Point 77	0,8994	2,8172
Load Point 78	0,8994	2,8172
Load Point 79	0,8994	2,8172
Load Point 80	0,8994	2,8172
Load Point 81	0,8994	2,8172
Load Point 82	0,8994	2,8172
Load Point 83	0,8994	2,8172
Load Point 84	0,8994	2,8172
Load Point 85	0,8994	2,8172
Load Point 86	0,8994	2,8172
Load Point 87	0,8994	2,8172
Load Point 88	0,8994	2,8172
Load Point 89	0,8994	2,8172

Dari tabel diatas, kita dapat menentukan nilai SAIFI dan SAIDI pada

Section 4. Contoh SAIFI pada *load Point 42*, nilai SAIFInya dapat ditentukan dengan mengalikan α LP1 dengan konsumen LP1 dan membagi nilai tersebut dengan jumlah keseluruhan konsumen keseluruhan.

$$\begin{aligned} SAIFI &= \frac{\sum \alpha Ni}{\sum Ni} \\ SAIFI_{LP42} &= \frac{0,8944 \times 1}{11387} = 0,0000785457 \end{aligned}$$

$$SAIDI = \frac{\sum U_i \cdot N_i}{\sum N_i}$$

$$SAIDI_{LP42} = \frac{0,13371 \times 1}{11387} = 0,000017423$$

Perhitungan SAIFI dan SAIDI untuk *Load Point* 43 hingga *Load Point* 89 menggunakan cara yang sama. Untuk mencari SAIFI dan SAIDI total *Section 5* dilakukan penjumlahan total SAIFI dan SAIDI tiap *Load Point Section*. Berikut tabel SAIDI dan SAIFI *Section 5*.

Tabel 4.67. Indeks Keandalan (SAIFI dan SAIDI) *Section 5*

No. Load Point	Indeks Keandalan	
	SAIFI (Gangguan/Tahun)	SAIDI (Gangguan/Tahun)
42	0,00008	0,00001
43	0,00094	0,00014
44	0,00738	0,00110
45	0,00102	0,00015
46	0,01178	0,00176
47	0,00683	0,00102
48	0,00016	0,00002
49	0,00275	0,00041
50	0,00982	0,00147
51	0,00008	0,00001
52	0,00974	0,00146
53	0,01021	0,00153
54	0,03935	0,00588
55	0,00738	0,00110
56	0,01712	0,00256
57	0,02427	0,00363
58	0,01712	0,00256
59	0,01162	0,00174
60	0,00448	0,00067
61	0,00173	0,00026
62	0,01665	0,00249
63	0,01107	0,00166
64	0,03919	0,00586
65	0,01068	0,00160

No. Load Point	Indeks Keandalan	
	SAIFI (Gangguan/Tahun)	SAIDI (Gangguan/Tahun)
66	0,00675	0,00101
67	0,00024	0,00074
68	0,00016	0,00049
69	0,00039	0,00124
70	0,00008	0,00025
71	0,01422	0,04453
72	0,00671	0,02103
73	0,00687	0,02152
74	0,01769	0,05542
75	0,01777	0,05567
76	0,00766	0,02400
77	0,00024	0,00074
78	0,00008	0,00025
79	0,01090	0,03414
80	0,00442	0,01385
81	0,00008	0,00025
82	0,00972	0,03043
83	0,00118	0,00371
84	0,01366	0,04280
85	0,00016	0,00049
86	0,00742	0,02326
87	0,01414	0,04429
88	0,00032	0,00099
89	0,01848	0,05789
TOTAL	0,42083	0,51809

Jadi nilai indeks keandalan (SAIFI dan SAIDI) section 5 adalah 0,420832247 gangguan/tahun dan 0,518086419 jam/tahun.

Nilai indeks keandalan (SAIDI dan SAIFI) saat sebelum penerapan DG dapat ditentukan dengan menjumlahkan jumlah SAIDI semua section dan SAIFI semua section. SAIFI dihitung dengan menjumlahkan secara total nilai SAIFI section 1 sampai section 5. SAIDI dihitung dengan menjumlahkan secara total nilai SAIDI section 1 sampai section 5. Nilainya dapat dilihat pada tabel berikut:

Tabel 4.68. Indek Keandalan (SAIFI dan SAIDI) Feeder GDO 04 dan Palur 01 Tanpa PLTSa

No.	No. Section	Indeks Keandalan Sistem	
		SAIFI (Gangguan/Tahun)	SAIDI (Jam/Tahun)
1	1	0,49577	0,77703
2	2	0,37709	1,06346
3	3	0,37709	0,35283
4	4	0,46065	0,93851
5	5	0,42083	0,51809
TOTAL		2,13142	3,64992

Jadi, Untuk penyulang yang dianalisis diperoleh nilai SAIFI sebesar **2,13142** kali/tahun dan nilai SAIDI sebesar **3,64992** jam/tahun.

4.4.2. Perhitungan dan Analisis Indeks Keandalan Jaringan Distribusi Tenaga Listrik GDO 04 Manahan dengan Penerapan DG (PLTSa)

1. Section 1

Untuk mengetahui pengaruh kegagalan atau gangguan pada suatu titik terhadap sistem secara keseluruhan, maka diperlukan *worksheet*. *Worksheet* selain mengetahui secara jelas akibat kegagalan suatu sistem juga sebagai rancangan sistematis untuk menganalisis indeks keandalan jaringan distribusi tenaga listrik.

Tabel 4.69. Section Technique Worksheet Section 1

Data Peralatan		Efek Sistem	
No. Gangguan	Komponen	Load Point yang Dipengaruhi <i>Repair Time</i>	Load Point yang Dipengaruhi <i>Switching Time</i>
1	Sectionalizer 1	LP1-LP14	-
2	Trafo 1	LP1	-
3	Trafo 2	LP2	-
4	Trafo 3	LP3	-
5	Trafo 4	LP4	-
6	Trafo 5	LP5	-
7	Trafo 6	LP6	-
8	Trafo 7	LP7	-

Data Peralatan		Efek Sistem	
No. Gangguan	Komponen	Load Point yang Dipengaruhi <i>Repair Time</i>	Load Point yang Dipengaruhi <i>Switching Time</i>
10	Trafo 9	LP9	-
11	Trafo 10	LP10	-
12	Trafo 11	LP11	-
13	Trafo 12	LP12	-
14	Trafo 13	LP13	-
15	Trafo 14	LP14	-
16	Line 1	LP1-LP14	-
17	Line 2	LP1-LP14	-
18	Line 3	LP1-LP14	-
19	Line 4	LP1-LP14	-
20	Line 5	LP1-LP14	-
21	Line 6	LP1-LP14	-
22	Line 7	LP1-LP14	-
23	Line 8	LP1-LP14	-
24	Line 9	LP1-LP14	-
25	Line 10	LP1-LP14	-
26	Line 11	LP1-LP14	-
27	Line 12	LP1-LP14	-
28	Line 13	LP1-LP14	-
29	Line 14	LP1-LP14	-
30	Sectionalizer 2	LP1-LP14	-

Selanjutnya, untuk menghitung frekuensi dan durasi kegagalan tiap peralatan, maka diambil 1 kasus yaitu: *failure rate* (α LP1). *Failure rate* (α LP1) diperoleh dari penjumlahan failure rate yang mempengaruhi LP1 dan perkalian failure rate LP1 dengan panjang saluran udara. Perkalian dengan *repair time* atau *switching time* tergantung kondisi peralatan, apakah peralatan tersebut harus padam atau hanya mengalami kondisi *switching time* pada saat terjadi gangguan.

Langkah dalam menentukan laju kegagalan peralatan setiap *section* yaitu:

$$\alpha_{LP} = \sum_{i=k} \alpha_i$$

keterangan:

λ_i = laju kegagalan untuk peralatan K

K = semua peralatan yang berpengaruh terhadap *load point*

Jika diambil satu contoh yaitu *load point* satu (LP1) pada line 1 maka dapat dihitung laju kegagalan line 1 kaitannya terhadap panjang jaringan seperti berikut ini:

$$\begin{aligned}\alpha(\text{line 1}) &= \text{Failure rate Peralatan} \times \text{Panjang Saluran Udara} \\ &= 0,2 \times 0,3014 = 0,06028 \text{ gangguan/tahun}\end{aligned}$$

Untuk α_{LP1} , dan seterusnya dapat dicari dengan menjumlahkan total laju kegagalan peralatan yang berpengaruh terhadap *load point* 1 atau load point lainnya. Untuk laju kegagalan *load point* 1 (α_{LP1}), dapat dilihat pada tabel 4.24 berikut,

Tabel 4.70. Perhitungan laju kegagalan untuk *Load Point* 1 (α_{LP1})

Peralatan	Failure Rate Peralatan (gangguan/tahun/km)	Panjang Saluran Udara (km)	α (gangguan/tahun)
Sectionalizer 1	0,003	-	0,003
Sectionalizer 2	0,003	-	0,003
Trafo	0,005	-	0,005
Line 1	0,2	0,3014	0,06028
Line 2	0,2	0,154	0,0308
Line 3	0,2	0,2196	0,04392
Line 4	0,2	0,42383	0,084766
Line 5	0,2	0,107	0,0214
Line 6	0,2	0,486	0,0972
Line 7	0,2	0,361	0,0722
Line 8	0,2	0,465	0,093
Line 9	0,2	0,078	0,0156
Line 10	0,2	0,423	0,0846
Line 11	0,2	0,689	0,1378
Line 12	0,2	0,152	0,0304

Peralatan	Failure Rate Peralatan (gangguan/tahun/km)	Panjang Saluran Udara (km)	α (gangguan/tahun)
Line 13	0,2	0,296	0,0592
Line 14	0,2	0,477	0,0954
Jumlah Total Laju Kegagalan ($\sum_{i=k} \alpha_i$)			0,937566

Nilai failure rate untuk load point 2 hingga 14 adalah sama dengan jumlah failure rate load point 1, karena nilai failure rate tiap-tiap trafo diasumsikan sama.

Langkah dalam menentukan durasi gangguan peralatan setiap *section* yaitu:

$$ULP = \sum_{i=k} U_i = \sum_{i=k} \lambda_i \times r_j$$

keterangan:

r_j = waktu perbaikan (*repairing time* atau *switching time*)

Jika diambil satu contoh yaitu *load point* satu (LP1) pada line 1 maka dapat dihitung durasi gangguan line 1 kaitannya terhadap panjang jaringan seperti berikut ini:

$$\begin{aligned} U(\text{line 1}) &= \text{Failure rate Peralatan } (\alpha) \times \text{Repaire Time peralatan } (U) \\ &= 0,06028 \times 3 = 0,18084 \text{ Jam/tahun} \end{aligned}$$

Untuk ULP1, dan seterusnya dapat dicari dengan menjumlahkan total laju kegagalan peralatan yang berpengaruh terhadap *load point* 1 atau *load point* lainnya, untuk laju kegagalan *load point* 1 (α_{LP1}), dapat dilihat pada tabel 4.24 berikut,

Tabel 4.71. Perhitungan Durasi Gangguan (U) *Load Point 1* (ULP1)

Peralatan	α (fault/yr)	Repaire Time (jam)	Switching Time (jam)	U (jam/tahun)
Sectionalizer 1	0,003	10	0,15	0,03
Trafo 1	0,005	10	0,15	0,05
Sectionalizer 2	0,003	10	0,15	0,03
Line 1	0,06028	3	0,15	0,18084
Line 2	0,0308	3	0,15	0,0924
Line 3	0,04392	3	0,15	0,13176
Line 4	0,084766	3	0,15	0,254298
Line 5	0,0214	3	0,15	0,0642

Peralatan	α (fault/yr)	Repaire Time (jam)	Switching Time (jam)	U (jam/tahun)
Line 6	0,0972	3	0,15	0,2916
Line 7	0,0722	3	0,15	0,2166
Line 8	0,093	3	0,15	0,279
Line 9	0,0156	3	0,15	0,0468
Line 10	0,0846	3	0,15	0,2538
Line 11	0,1378	3	0,15	0,4134
Line 12	0,0304	3	0,15	0,0912
Line 13	0,0592	3	0,15	0,1776
Line 14	0,0954	3	0,15	0,2862
Jumlah Total Durasi Gangguan ($\sum_{i=k} U_i$)				2,889698

Perhitungan untuk mencari *load point* 2 sampai 14 pada section I menggunakan langkah dan cara yang sama dan hasilnya pun juga sama karena nilai *repaire time* setiap trafo diasumsikan sama. Dalam hal ini penulis menghitungan nilai Load Point 2 sampai 14 menggunakan software Microsoft Excel.

Pada *load point* 1, kondisi yang dialami semua peralatan yang ada di dalamnya hanya kondisi *repair time* dan tidak ada peralatan yang mengalami kondisi *switching time*. Hal ini terjadi karena, apabila suatu komponen di section I mengalami gangguan maka sistem di section lain tidak megalami gangguan.

Tabel 4.72. Laju kegagalan dan Durasi Gangguan *Load Point Section I*

Load Point	Indeks Keandalan Load Point	
	α (gangguan/tahun)	U (jam/tahun)
Load Point 1	0,93757	2,899698
Load Point 2	0,93757	2,899698
Load Point 3	0,93757	2,899698
Load Point 4	0,93757	2,899698
Load Point 5	0,93757	2,899698
Load Point 6	0,93757	2,899698
Load Point 7	0,93757	2,899698
Load Point 8	0,93757	2,899698

Load Point	Indeks Keandalan Load Point	
	α (gangguan/tahun)	U (jam/tahun)
Load Point 9	0,93757	2,899698
Load Point 10	0,93757	2,899698
Load Point 11	0,93757	2,899698
Load Point 12	0,93757	2,899698
Load Point 13	0,93757	2,899698
Load Point 14	0,93757	2,899698

Dari tabel diatas, kita dapat menentukan nilai SAIFI dan SAIDI pada *Section 1*. Sebagai contoh, yaitu SAIFI pada *load Point 1*. Nilai SAIFI dapat ditentukan dengan mengalikan α LP1 dengan konsumen LP1 dan membagi nilai tersebut dengan jumlah keseluruhan konsumen keseluruhan.

$$SAIFI = \frac{\sum \alpha Ni}{\sum Ni}$$

$$SAIFI_{LP1} = \frac{0,938566 \times 121}{11387} = 0,009973346$$

$$SAIDI = \frac{\sum U_i.Ni}{\sum Ni}$$

$$SAIDI_{LP1} = \frac{2,899698 \times 121}{11387} = 0,030812634$$

Perhitungan SAIFI dan SAIDI untuk *Load Point 2* hingga *Load Point 14* menggunakan cara yang sama. Untuk mencari SAIFI dan SAIDI total *Section 1* dilakukan penjumlahan total SAIFI dan SAIDI *Load Point Section 1*. Berikut tabel SAIDI dan SAIFI *Section 1*.

Tabel 4.73. Indeks Keandalan *Section 1*

No. Load Point	Indeks Keandalan	
	SAIFI (Gangguan/Tahun)	SAIDI (Gangguan/Tahun)
1	0,00996	0,03081
2	0,00469	0,01452
3	0,00733	0,02266
4	0,11321	0,35014

No. Load Point	Indeks Keandalan	
	SAIFI (Gangguan/Tahun)	SAIDI (Gangguan/Tahun)
5	0,00379	0,01171
6	0,00757	0,02343
7	0,01597	0,04940
8	0,00296	0,00917
9	0,00790	0,02445
10	0,00552	0,01706
11	0,00288	0,00891
12	0,00338	0,01044
13	0,05072	0,15686
14	0,00288	0,00891
TOTAL	0,23880	0,73850

Jadi nilai SAIFI pada *Section 1* adalah **0,2388** Gangguan/Tahun dan nilai SAIDI adalah **0,7385** Jam/Tahun.

2. Section 2

Tabel 4.74. *Section Technique worksheet section 2*

Data Peralatan		Efek Sistem	
No. Gangguan	Komponen	Load Point yang Dipengaruhi <i>Repair Time</i>	Load Point yang Dipengaruhi <i>Switching Time</i>
1	Trafo 15	LP15	-
2	Trafo 16	LP16	-
3	Trafo 17	LP17	-
4	Trafo 18	LP18	-
5	Trafo 19	LP19	-
6	Trafo 20	LP20	-
7	Trafo 21	LP21	-
8	Trafo 22	LP22	-
9	Trafo 23	LP23	-
10	Trafo 24	LP24	-

Data Peralatan		Efek Sistem	
No. Gangguan	Komponen	Load Point yang Dipengaruhi <i>Repair Time</i>	Load Point yang Dipengaruhi <i>Switching Time</i>
12	Trafo 26	LP26	-
13	Trafo 27	LP27	-
14	Trafo 28	LP28	-
15	Trafo 29	LP29	-
16	Trafo 30	LP30	-
17	S2	LP15-LP16	LP17-LP20
18	S3	LP17-LP20	-
19	ST1	LP1-LP20	-
20	ST2	LP1-16 & LP21-LP30	LP17-LP20
21	Line 15	LP1-LP16	LP17-LP20
22	Line 16	LP1-LP16	LP17-LP20
23	Line 17	LP17-LP20	-
24	Line 18	LP17-LP20	-
25	Line 19	LP17-LP20	-
26	Line 20	LP17-LP20	-
27	Line 21	LP21-LP30	LP1-LP20
28	Line 22	LP21-LP30	LP1-LP20
29	Line 23	LP21-LP30	LP1-LP20
30	Line 24	LP21-LP30	LP1-LP20
31	Line 25	LP21-LP30	LP1-LP20
32	Line 26	LP21-LP30	LP1-LP20
33	Line 27	LP21-LP30	LP1-LP20
34	Line 28	LP21-LP30	LP1-LP20
35	Line 29	LP21-LP30	LP1-LP20
36	Line 30	LP21-LP30	LP1-LP20
37	S4	LP21-LP30	LP1-LP20

Tabel 4.75. Perhitungan Laju Kegagalan *Load Point* 21 (α_{LP21})

Peralatan	<i>Failure Rate</i> Peralatan (gangguan/tahun/km)	Panjang Saluran Udara (km)	α (gangguan/tahun)
ST2	0,003	-	0,003
S4	0,003	-	0,003
T21	0,005	-	0,005
Line 21	0,2	0,107	0,0214
Line 22	0,2	0,264	0,0528
Line 23	0,2	0,057	0,0114
Line 24	0,2	0,293	0,0586
Line 25	0,2	0,426	0,0852
Line 26	0,2	0,277	0,0554
Line 27	0,2	0,112	0,0224
Line 28	0,2	0,068	0,0136
Line 29	0,2	0,082	0,0164
Line 30	0,2	0,391	0,0782
Jumlah Total Laju Kegagalan ($\sum_{i=k} \alpha_i$)			0,4264

Nilai laju kegagalan *load point* 21 (LP21) adalah sama dengan nilai gangguan *load point* 22 sampai *load point* 30 (LP21-LP30) karena nilai *failure rate* dari trafo dan komponen yang mempengaruhi sistem sama.

Tabel 4.76. Perhitungan Laju Kegagalan *Load Point* 17 (α_{LP17})

Peralatan	<i>Failure Rate</i> Peralatan (gangguan/tahun/km)	Panjang Saluran Udara (km)	α (gangguan/tahun)
S2	0,003	-	0,003
S3	0,003	-	0,003
S4	0,003	-	0,003
ST1	0,003	-	0,003
ST2	0,003	-	0,003
Trafo17	0,005	-	0,005
Line 15	0,2	0,312	0,0624
Line 16	0,2	0,417	0,0834
Line 17	0,2	0,065	0,013
Line 18	0,2	0,173	0,0346
Line 19	0,2	0,204	0,0408

Peralatan	Failure Rate Peralatan (gangguan/tahun/km)	Panjang Saluran Udara (km)	α (gangguan/tahun)
Line 20	0,2	0,251	0,0502
Line 21	0,2	0,107	0,0214
Line 22	0,2	0,264	0,0528
Line 23	0,2	0,057	0,0114
Line 24	0,2	0,293	0,0586
Line 25	0,2	0,426	0,0852
Line 26	0,2	0,277	0,0554
Line 27	0,2	0,112	0,0224
Line 28	0,2	0,068	0,0136
Line 29	0,2	0,082	0,0164
Line 30	0,2	0,391	0,0782
Jumlah Total Laju Kegagalan ($\sum_{i=k} \alpha_i$)			0,7198

Nilai laju kegagalan *load point* 17 (LP17) adalah sama dengan nilai gangguan *load point* 18 sampai *load point* 20 (LP18-LP20) karena nilai *failure rate* dari trafo dan komponen yang mempengaruhi pemutusan sistem tersebut adalah sama.

Tabel 4.77. Perhitungan Laju Kegagalan *Load Point* 1 (α_{LP1})

Peralatan	Failure Rate Peralatan (gangguan/tahun/km)	Panjang Saluran Udara (km)	α (gangguan/tahun)
ST1	0,003	-	0,003
ST2	0,003	-	0,003
S4	0,003	-	0,003
Line 15	0,2	0,312	0,0624
Line 16	0,2	0,417	0,0434
Line 21	0,2	0,107	0,0214
Line 22	0,2	0,264	0,0528
Line 23	0,2	0,057	0,0114
Line 24	0,2	0,293	0,0586
Line 25	0,2	0,426	0,0852
Line 26	0,2	0,277	0,0554
Line 27	0,2	0,112	0,0224
Line 28	0,2	0,068	0,0136
Line 29	0,2	0,082	0,0164
Line 30	0,2	0,391	0,0782
Jumlah Total Laju Kegagalan ($\sum_{i=k} \alpha_i$)			0,5302

Nilai laju kegagalan *load point* 1 (LP1) adalah sama dengan nilai gangguan *load point* 2 sampai *load point* 16 (LP2-LP16) karena nilai *failure rate* dari komponen yang mempengaruhi pemutusan sistem adalah sama.

Tabel 4.78. Perhitungan Laju Kegagalan Tambahan *Load Point* 15 dan *Load Point* 16 (α_{LP15} & α_{LP16})

Peralatan	Failure Rate Peralatan (gangguan/tahun/km)	Panjang Saluran Udara (km)	α (gangguan/tahun)
S2	0,003	-	0,003

Tabel 4.79. Perhitungan Durasi Gangguan *Load Point* 21 (U LP21)

Peralatan	α (fault/yr)	Repaire Time (jam)	Switching Time (jam)	U (jam/hari)
ST2	0,003	10	0,15	0,03
S4	0,003	10	0,15	0,03
T21	0,005	10	0,15	0,03
Line 21	0,0214	3	0,15	0,05
Line 22	0,0528	3	0,15	0,0642
Line 23	0,0114	3	0,15	0,1584
Line 24	0,0586	3	0,15	0,0342
Line 25	0,0852	3	0,15	0,1758
Line 26	0,0554	3	0,15	0,2556
Line 27	0,0224	3	0,15	0,1662
Line 28	0,0136	3	0,15	0,0672
Line 29	0,0164	3	0,15	0,0408
Line 30	0,0782	3	0,15	0,0492
Jumlah Total Durasi Gangguan ($\sum_{i=k} U_i$)				1,1516

Nilai durasi gangguan untuk *load point* 21 (U_{21}) memiliki nilai yang sama dengan *repaire time* load 12-30 (U_{22-30}), karena nilai *repaire time* tiap trafo dan komponen yang mempengaruhi kegagalan sistem adalah sama.

Tabel 4.80. Perhitungan Durasi Gangguan (U) *Load Point* 1 (LP1)

Peralatan	α (fault/yr)	Repaire Time (jam)	Switching Time (jam)	U (jam/hari)
ST1	0,003	10	0,15	0,03
ST2	0,003	10	0,15	0,03
S4	0,003	10	0,15	0,00045

Peralatan	α (fault/yr)	Repaire Time (jam)	Switching Time (jam)	U (jam/hari)
Line 15	0,0624	3	0,15	0,1872
Line 16	0,0434	3	0,15	0,1302
Line 21	0,0214	3	0,15	0,00321
Line 22	0,0528	3	0,15	0,00792
Line 23	0,0114	3	0,15	0,00171
Line 24	0,0586	3	0,15	0,00879
Line 25	0,0852	3	0,15	0,01278
Line 26	0,0554	3	0,15	0,00831
Line 27	0,0224	3	0,15	0,00336
Line 28	0,0136	3	0,15	0,00204
Line 29	0,0164	3	0,15	0,00246
Line 30	0,0782	3	0,15	0,01173
Jumlah Total Durasi Gangguan ($\sum_{i=k} U_i$)				0,44016

Nilai gangguan untuk *load point* 2-16 (U_{2-16}) memiliki nilai yang sama dengan *Switching Time* load 1 (U_1), karena komponen yang mempengaruhi kegagalan sistem pada load point tersebut adalah sama.

Tabel 4.81. Perhitungan Durasi Gangguan (U) *Load Point* 17 (LP17)

Peralatan	α (fault/yr)	Repaire Time (jam)	Switching Time (jam)	U (jam/hari)
ST1	0,003	10	0,15	0,03
ST2	0,003	10	0,15	0,00045
S2	0,003	10	0,15	0,00045
S3	0,003	10	0,15	0,03
S4	0,003	10	0,15	0,00045
Trafo 17	0,005	10	0,15	0,00075
Line 15	0,0624	3	0,15	0,00936
Line 16	0,0834	3	0,15	0,01251
Line 17	0,013	3	0,15	0,039
Line 18	0,0346	3	0,15	0,1038
Line 19	0,0408	3	0,15	0,1224
Line 20	0,0502	3	0,15	0,1506
Line 21	0,0214	3	0,15	0,00321
Line 22	0,0528	3	0,15	0,00792
Line 23	0,0114	3	0,15	0,00171

Peralatan	α (fault/yr)	Repaire Time (jam)	Switching Time (jam)	U (jam/hari)
Line 24	0,0586	3	0,15	0,00879
Line 25	0,0852	3	0,15	0,01278
Line 26	0,0554	3	0,15	0,00831
Line 23	0,0224	3	0,15	0,00336
Line 24	0,0136	3	0,15	0,00204
Line 25	0,0164	3	0,15	0,00246
Line 26	0,0782	3	0,15	0,01173
Jumlah Total Durasi Gangguan ($\sum_{i=k} U_i$)				0,56208

Nilai gangguan untuk *load point* 18-20 ($U_{18}-U_{20}$) memiliki nilai yang sama dengan *repaire time* load 17 (U_{17}), karena komponen yang mempengaruhi kegagalan sistem pada *load point* tersebut adalah sama.

Tabel 4.82. Perhitungan Durasi Gangguan Tambahan (U) *Load Point* 15 (LP15)

Peralatan	α (fault/yr)	Repaire Time (jam)	Switching Time (jam)	U (jam/hari)
S2	0,003	10	0,15	0,03

Nilai gangguan tambahan untuk *load point* 15 (U_{15}) memiliki nilai yang sama dengan nilai gangguan *load point* 16 (U_{16}), karena komponen yang mempengaruhi kegagalan sistem pada *load point* tersebut adalah sama.

Tabel 4.83. Perhitungan Laju Kegagalan dan Durasi Gangguan *Load Point* di *Section 2*

Load Point	Indeks Keandalan Dasar	
	α (gangguan/tahun)	U (jam/tahun)
Load Point 1	0,5302	0,44016
Load Point 2	0,5302	0,44016
Load Point 3	0,5302	0,44016
Load Point 4	0,5302	0,44016
Load Point 5	0,5302	0,44016
Load Point 6	0,5302	0,44016
Load Point 7	0,5302	0,44016
Load Point 8	0,5302	0,44016

Load Point	Indeks Keandalan Dasar	
	α (gangguan/tahun)	U (jam/tahun)
Load Point 9	0,5302	0,44016
Load Point 10	0,5302	0,44016
Load Point 11	0,5302	0,44016
Load Point 12	0,5302	0,44016
Load Point 13	0,5302	0,44016
Load Point 14	0,5302	0,44016
Load Point 15	0,5332	0,47016
Load Point 16	0,5302	0,44016
Load Point 17	0,7198	0,56208
Load Point 18	0,7198	0,56208
Load Point 19	0,7198	0,56208
Load Point 20	0,7198	0,56208
Load Point 21	0,4264	1,1516
Load Point 22	0,4264	1,1516
Load Point 23	0,4264	1,1516
Load Point 24	0,4264	1,1516
Load Point 25	0,4264	1,1516
Load Point 26	0,4264	1,1516
Load Point 27	0,4264	1,1516
Load Point 28	0,4264	1,1516
Load Point 29	0,4264	1,1516
Load Point 30	0,4264	1,1516

Dari tabel diatas, kita dapat menentukan nilai SAIFI dan SAIDI pada

Section 2. Contoh SAIFI pada *load Point* 1, nilai SAIFI dapat ditentukan dengan

mengalikan α LP1 dengan konsumen LP1 dan membagi nilai tersebut dengan jumlah keseluruhan konsumen keseluruhan.

$$\begin{aligned} SAIFI &= \frac{\sum \alpha_i N_i}{\sum N_i} \\ SAIFI_{LP1} &= \frac{0,5302 \times 121}{11387} = 0,0056340 \\ SAIDI &= \frac{\sum U_i \cdot N_i}{\sum N_i} \\ SAIDI_{LP1} &= \frac{0,44016 \times 121}{11387} = 0,0046772 \end{aligned}$$

Perhitungan SAIFI dan SAIDI untuk *Load Point 2* hingga *Load Point 30* menggunakan cara yang sama. Untuk mencari SAIFI dan SAIDI total *Section 2* dilakukan penjumlahan total SAIFI dan SAIDI tiap *Load Point Section 2*. Berikut tabel SAIDI dan SAIFI *section 2*.

Tabel 4.84. Tabel SAIDI dan SAIFI *Section 2*

No. Load Point	Nilai Indeks Keandalan	
	SAIFI (Gangguan/Tahun)	SAIDI (Gangguan/Tahun)
1	0,0056340	0,0046772
2	0,0026540	0,0022033
3	0,0041440	0,0034403
4	0,0640226	0,0531501
5	0,0021418	0,0017781
6	0,0042837	0,0035562
7	0,0090330	0,0074990
8	0,0016762	0,0013916
9	0,0044699	0,0037108
10	0,0031196	0,0025899
11	0,0016297	0,0013529
12	0,0019090	0,0015848

No. Load Point	Nilai Indeks Keandalan	
	SAIFI (Gangguan/Tahun)	SAIDI (Gangguan/Tahun)
13	0,0286821	0,0238112
14	0,0016297	0,0013529
15	0,0654150	0,0576810
16	0,0061927	0,0051411
17	0,0022756	0,0017770
18	0,0000632	0,0000494
19	0,0011378	0,0008885
20	0,0108725	0,0084902
21	0,0000749	0,0002023
22	0,0004494	0,0012136
23	0,0014604	0,0039442
24	0,0058042	0,0156756
25	0,0000374	0,0001011
26	0,0010859	0,0029329
27	0,0014978	0,0040453
28	0,0033327	0,0090008
29	0,0006366	0,0017193
30	0,0150908	0,0407565
TOTAL	0,250456521	0,26571706

Jadi nilai SAIFI dan SAIDI di section II adalah **0,250456521** gangguan/tahun dan **0,26571706** jam/tahun.

3. Section 3

Tabel 4.85. Section Technique worksheet section 3

Data Peralatan		Efek Sistem	
No. Gangguan	Komponen	Load Point yang Dipengaruhi <i>Repair Time</i>	Load Point yang Dipengaruhi <i>Switching Time</i>
1	Trafo 31	LP31	-
2	Trafo 32	LP32	-
3	Trafo 33	LP33	-
4	Trafo 34	LP34	-
5	Trafo 35	LP35	-
6	Trafo 36	LP36	-
7	Trafo 37	LP37	-
8	Trafo 38	LP38	-
9	Trafo 39	LP39	-
10	Trafo 40	LP40	-
11	Trafo 41	LP41	-
12	S4	LP31-LP41	-
13	S5	LP31-LP41	-
14	S6	LP31-LP41	-
15	Line 31	LP31-LP41	-
16	Line 32	LP31-LP41	-
17	Line 33	LP31-LP41	-
18	Line 34	LP31-LP41	-
19	Line 35	LP31-LP41	-
20	Line 36	LP31-LP41	-
21	Line 37	LP31-LP41	-
22	Line 38	LP31-LP41	-
23	Line 39	LP31-LP41	-
24	Line 40	LP31-LP41	-
25	Line 41	LP31-LP41	-
26	Line 42	LP31-LP41	-

Tabel 4.86. Perhitungan Laju Kegagalan (*failure rate*) *Load Point* 31 (α_{LP31})

Peralatan	<i>Failure Rate</i> Peralatan (gangguan/tahun/km)	Panjang Saluran Udara (km)	α (gangguan/tahun)
S4	0,003	-	0,003
S5	0,003	-	0,003
S6	0,003	-	0,003
T31	0,005	-	0,005
Line 31	0,2	0,612	0,1224
Line 32	0,2	0,173	0,0346
Line 33	0,2	0,458	0,0916
Line 34	0,2	0,651	0,1302
Line 35	0,2	0,529	0,1058
Line 36	0,2	0,097	0,0194
Line 37	0,2	0,392	0,0784
Line 38	0,2	0,561	0,1122
Line 39	0,2	0,037	0,0074
Line 40	0,2	0,425	0,085
Line 41	0,2	0,484	0,0968
Line 42	0,2	0,738	0,1476
Jumlah Total Laju Kegagalan ($\sum_{i=k} \alpha_i$)			1,0454

Nilai failure rate untuk *load point* 31 hingga 41 adalah sama, karena nilai failure rate tiap-tiap trafo sama. Dalam hal ini, gangguan pada suatu komponen pada section III tidak akan mempengaruhi atau menganggu sistem yang lain karena pemisah dapat bekerja secara otomatis.

Tabel 4.87. Perhitungan Durasi Gangguan (U) *Load Point* 31 (ULP31)

Peralatan	α (fault/yr)	<i>Repaire Time</i> (jam)	<i>Switching</i> <i>Time</i> (jam)	U (jam/hari)
S4	0,003	10	0,15	0,03
S5	0,003	10	0,15	0,03
S6	0,003	10	0,15	0,03
T31	0,005	10	0,15	0,05
Line 31	0,1224	3	0,15	0,3672
Line 32	0,0346	3	0,15	0,1038
Line 33	0,0916	3	0,15	0,2748

Peralatan	α (fault/yr)	Repaire Time (jam)	Switching Time (jam)	U (jam/hari)
Line 34	0,1302	3	0,15	0,3906
Line 35	0,1058	3	0,15	0,3174
Line 36	0,0194	3	0,15	0,0582
Line 37	0,0784	3	0,15	0,2352
Line 38	0,1122	3	0,15	0,3366
Line 39	0,0074	3	0,15	0,0222
Line 40	0,085	3	0,15	0,255
Line 41	0,0968	3	0,15	0,2904
Line 42	0,1476	3	0,15	0,4428
Jumlah Total Durasi Gangguan ($\sum_{i=k} U_i$)				3,2342

Nilai durasi pemadaman (U) *load point* 31 hingga 41 adalah sama karena berada dalam 1 *section*. Gangguan pada *section* III tidak akan mempengaruhi sistem di *section* yang lain.

Tabel 4.88. Laju Kegagalan dan Durasi Gangguan *Load Point Section 3*

Load Point	Indeks Keandalan <i>Load Point</i>	
	α (gangguan/tahun)	U (jam/tahun)
Load Point 31	1,0454	3,2342
Load Point 32	1,0454	3,2342
Load Point 33	1,0454	3,2342
Load Point 34	1,0454	3,2342
Load Point 35	1,0454	3,2342
Load Point 36	1,0454	3,2342
Load Point 37	1,0454	3,2342
Load Point 38	1,0454	3,2342
Load Point 39	1,0454	3,2342
Load Point 40	1,0454	3,2342
Load Point 41	1,0454	3,2342

Dari tabel diatas, kita dapat menentukan nilai SAIFI dan SAIDI pada *Section 3*. Contoh SAIFI pada *load Point* 1, nilai SAIFI dapat ditentukan dengan

mengalikan α LP1 dengan konsumen LP1 dan membagi nilai tersebut dengan jumlah keseluruhan konsumen keseluruhan.

$$SAIFI = \frac{\sum \alpha_i N_i}{\sum N_i}$$

$$SAIFI_{LP31} = \frac{1,0454 \times 88}{11387} = 0,008079$$

$$SAIDI = \frac{\sum U_i \cdot N_i}{\sum N_i}$$

$$SAIDI_{LP31} = \frac{3,2342 \times 88}{11387} = 0,024994$$

Perhitungan SAIFI dan SAIDI untuk *Load Point* 32 hingga *Load Point* 41 menggunakan cara yang sama. Untuk mencari SAIFI dan SAIDI total *Section* 3 dilakukan penjumlahan total SAIFI dan SAIDI tiap *Load Point* di *Section* 3. Berikut tabel SAIDI dan SAIFI *Load Point* 3.

Tabel 4.89. SAIDI dan SAIFI *Section* 3

No. Load Point	SAIFI (Gangguan/Tahun)	SAIDI (Jam/Tahun)
31	0,00808	0,02499
32	0,00009	0,00028
33	0,01634	0,05056
34	0,00872	0,02698
35	0,01093	0,03380
36	0,00009	0,00028
37	0,00009	0,00028
38	0,00992	0,03068
39	0,00009	0,00028
40	0,00018	0,00057
41	0,00018	0,00057
TOTAL	0,05472	0,16928

Jadi nilai SAIDI dan SAIFI di *Section* 3 adalah **0,054717** dan **0,169279**.

4. Section 4

Tabel 4.90. Section Technique Worksheet Section 4

Data Peralatan		Efek Sistem	
No. Gangguan	Komponen	Load Point yang Dipengaruhi <i>Repair Time</i>	Load Point yang Dipengaruhi <i>Switching Time</i>
1	Trafo 42	LP42	-
2	Trafo 43	LP43	-
3	Trafo 44	LP44	-
4	Trafo 45	LP45	-
5	Trafo 46	LP46	-
6	Trafo 47	LP47	-
7	Trafo 48	LP48	-
8	Trafo 49	LP49	-
9	Trafo 50	LP50	-
10	Trafo 51	LP51	-
11	Trafo 52	LP52	-
12	Trafo 53	LP53	-
13	Trafo 54	LP54	-
14	Trafo 55	LP55	-
15	Trafo 56	LP56	-
16	Trafo 57	LP57	-
17	Trafo 58	LP58	-
18	Trafo 59	LP59	-
19	Trafo 60	LP60	-
20	Trafo 61	LP61	-
21	Trafo 62	LP62	-
22	Trafo 63	LP63	-
23	Trafo 64	LP64	-
24	Trafo 65	LP65	-
25	Trafo 66	LP66	-

Data Peralatan		Efek Sistem	
No. Gangguan	Komponen	Load Point yang Dipengaruhi <i>Repair Time</i>	Load Point yang Dipengaruhi <i>Switching Time</i>
28	S6	LP42-LP66	-
29	S7	LP42-LP66	-
30	Line 43	LP42-LP66	-
31	Line 44	LP42-LP66	-
32	Line 45	LP42-LP66	-
33	Line 46	LP42-LP66	-
34	Line 47	LP42-LP66	-
35	Line 48	LP42-LP66	-
36	Line 49	LP42-LP66	-
37	Line 50	LP42-LP66	-
38	Line 51	LP42-LP66	-
39	Line 52	LP42-LP66	-
40	Line 53	LP42-LP66	-
41	Line 54	LP42-LP66	-
42	Line 55	LP42-LP66	-
43	Line 56	LP42-LP66	-
44	Line 57	LP42-LP66	-
45	Line 58	LP42-LP66	-
46	Line 59	LP42-LP66	-
47	Line 60	LP42-LP66	-
48	Line 61	LP42-LP66	-
49	Line 62	LP42-LP66	-
50	Line 63	LP42-LP66	-

Tabel 4.91. Perhitungan Laju Kegagalan (*failure rate*) Load Point 42 (α_{LP42})

Peralatan	Failure Rate Peralatan (gangguan/tahun/km)	Panjang Saluran Udara (km)	α (gangguan/tahun)
S7	0,003	-	0,003
S8	0,003	-	0,003
S9	0,003	-	0,003
T42	0,005	-	0,005
Line 43	0,2	0,317	0,0634
Line 44	0,2	0,102	0,0204
Line 45	0,2	0,212	0,0424
Line 46	0,2	0,341	0,0682
Line 47	0,2	0,062	0,0124
Line 48	0,2	0,196	0,0392
Line 49	0,2	0,414	0,0828
Line 50	0,2	0,022	0,0044
Line 51	0,2	0,315	0,063
Line 52	0,2	0,163	0,0326
Line 53	0,2	0,411	0,0822
Line 54	0,2	0,116	0,0232
Line 55	0,2	0,134	0,0268
Line 56	0,2	0,275	0,055
Line 57	0,2	0,271	0,0542
Line 58	0,2	0,158	0,0316
Line 59	0,2	0,177	0,0354
Line 60	0,2	0,194	0,0388
Line 61	0,2	0,413	0,0826
Line 62	0,2	0,316	0,0632
Line 63	0,2	0,235	0,047
Jumlah Total Laju Kegagalan ($\sum_{i=k} \alpha_i$)			0,9828

Nilai *failure rate* untuk load point 42 hingga 66 adalah sama, karena nilai *failure rate* tiap-tiap trafo sama. Nilai failure rate *load point* 67 sampai 89 diasumsikan 0 saat terjadi gangguan di suatu komponen pada section 4 maka DG PLTS akan menyuplai daya ke beban di section lain secara otomatis.

Tabel 4.92. Perhitungan Durasi Gangguan (U) Load Point 42 (ULP42)

Peralatan	α (fault/yr)	Repaire Time (jam)	Switching Time (jam)	U (jam/tahun)
S7	0,003	10	0,15	0,03
S8	0,003	10	0,15	0,03
S9	0,003	10	0,15	0,03
T42	0,005	10	0,15	0,05
Line 43	0,0634	3	0,15	0,1902
Line 44	0,0204	3	0,15	0,0612
Line 45	0,0424	3	0,15	0,1272
Line 46	0,0682	3	0,15	0,2046
Line 47	0,0124	3	0,15	0,0372
Line 48	0,0392	3	0,15	0,1176
Line 49	0,0828	3	0,15	0,2484
Line 50	0,0044	3	0,15	0,0132
Line 51	0,063	3	0,15	0,189
Line 52	0,0326	3	0,15	0,0978
Line 53	0,0822	3	0,15	0,2466
Line 54	0,0232	3	0,15	0,0696
Line 55	0,0268	3	0,15	0,0804
Line 56	0,055	3	0,15	0,165
Line 57	0,0542	3	0,15	0,1626
Line 58	0,0316	3	0,15	0,0948
Line 59	0,0354	3	0,15	0,1062
Line 60	0,0388	3	0,15	0,1164
Line 61	0,0826	3	0,15	0,2478
Line 62	0,0632	3	0,15	0,1896
Line 63	0,047	3	0,15	0,141
Jumlah Total Durasi Gangguan ($\sum_{i=k} U_i$)				3,0464

Nilai durasi pemadaman (U) load point 42 hingga 66 adalah sama karena berada dalam satu *section* namun, gangguan di section 4 ini tidak akan menganggu section lain karena akan di cover oleh sunmber lain.

Tabel 4.93. Perhitungan Laju Kegagalan dan Durasi Gangguan *Load Point*
Section 4

<i>Load Point</i>	Indeks Keandalan <i>Load Point</i>	
	α (gangguan/tahun)	U (jam/tahun)
Load Point 42	0,9828	3,0464
Load Point 43	0,9828	3,0464
Load Point 44	0,9828	3,0464
Load Point 45	0,9828	3,0464
Load Point 46	0,9828	3,0464
Load Point 47	0,9828	3,0464
Load Point 48	0,9828	3,0464
Load Point 49	0,9828	3,0464
Load Point 50	0,9828	3,0464
Load Point 51	0,9828	3,0464
Load Point 52	0,9828	3,0464
Load Point 53	0,9828	3,0464
Load Point 54	0,9828	3,0464
Load Point 55	0,9828	3,0464
Load Point 56	0,9828	3,0464
Load Point 57	0,9828	3,0464
Load Point 58	0,9828	3,0464
Load Point 59	0,9828	3,0464
Load Point 60	0,9828	3,0464
Load Point 61	0,9828	3,0464
Load Point 62	0,9828	3,0464
Load Point 63	0,9828	3,0464

Load Point	Indeks Keandalan Load Point	
	α (gangguan/tahun)	U (jam/tahun)
Load Point 64	0,9828	3,0464
Load Point 65	0,9828	3,0464
Load Point 66	0,9828	3,0464

Dari tabel diatas, kita dapat menentukan nilai SAIFI dan SAIDI pada *Section 4*. Contoh SAIFI pada *load Point 42*, nilai SAIFInya dapat ditentukan dengan mengalikan α LP1 dengan konsumen LP1 dan membagi nilai tersebut dengan jumlah keseluruhan konsumen keseluruhan.

$$SAIFI = \frac{\sum \alpha Ni}{\sum Ni}$$

$$SAIFI_{LP42} = \frac{0,9828 \times 1}{11387} = 0,008630895$$

$$SAIDI = \frac{\sum U_i.Ni}{\sum Ni}$$

$$SAIDI_{LP42} = \frac{3,0464 \times 1}{11387} = 0,026753315$$

Perhitungan SAIFI dan SAIDI untuk *Load Point 43* hingga *Load Point 66* menggunakan cara yang sama. Untuk mencari SAIFI dan SAIDI total *Section 4* dilakukan penjumlahan total SAIFI dan SAIDI tiap *Load Point Section*. Berikut tabel SAIDI dan SAIFI *Section 4*.

Tabel 4.94. Indeks Keandalan (SAIFI dan SAIDI) *Section 4*

No. Load Point	Nilai Indeks Keandalan	
	SAIFI (Gangguan/Tahun)	SAIDI (Gangguan/Tahun)
42	0,00009	0,00027
43	0,00104	0,00321
44	0,00811	0,02515
45	0,00112	0,00348
46	0,01295	0,04013
47	0,00751	0,02328
48	0,00017	0,00054
49	0,00302	0,00936

No. Load Point	Nilai Indeks Keandalan	
	SAIFI (Gangguan/Tahun)	SAIDI (Gangguan/Tahun)
50	0,01079	0,03344
51	0,00009	0,00027
52	0,01070	0,03317
53	0,01122	0,03478
54	0,04324	0,13403
55	0,00811	0,02515
56	0,01882	0,05832
57	0,02667	0,08267
58	0,01882	0,05832
59	0,01277	0,03959
60	0,00492	0,01525
61	0,00190	0,00589
62	0,01830	0,05672
63	0,01217	0,03772
64	0,04307	0,13350
65	0,01174	0,03638
66	0,00742	0,02301
TOTAL	0,29475	0,91360

Jadi nilai indeks keandalan (SAIFI dan SAIDI) section 4 adalah **0,294745059** gangguan/tahun dan **0,9136** jam/tahun.

5. Section 5

Tabel 4.95. Section Technique Worksheet Section 5

Data Peralatan		Efek Sistem	
No. Gangguan	Komponen	Load Point yang Dipengaruhi <i>Repair Time</i>	Load Point yang Dipengaruhi <i>Switching Time</i>
1	Trafo 67	LP42	-
2	Trafo 68	LP43	-
3	Trafo 69	LP44	-
4	Trafo 70	LP45	-
5	Trafo 71	LP46	-
6	Trafo 72	LP47	-

Data Peralatan		Efek Sistem	
No. Gangguan	Komponen	Load Point yang Dipengaruhi <i>Repair Time</i>	Load Point yang Dipengaruhi <i>Switching Time</i>
8	Trafo 74	LP49	-
9	Trafo 75	LP50	-
10	Trafo 76	LP51	-
11	Trafo 77	LP52	-
12	Trafo 78	LP53	-
13	Trafo 79	LP54	-
14	Trafo 80	LP55	-
15	Trafo 81	LP56	-
16	Trafo 82	LP57	-
17	Trafo 83	LP58	-
18	Trafo 84	LP59	-
19	Trafo 85	LP60	-
20	Trafo 86	LP61	-
21	Trafo 87	LP62	-
22	Trafo 88	LP63	-
23	Trafo 89	LP64	-
24	S6	LP67-LP89	-
25	S7	LP67-LP89	-
26	S10	LP67-LP89	-
27	S11	LP67-LP89	-
28	Line 64	LP67-LP89	-
29	Line 65	LP67-LP89	-
30	Line 66	LP67-LP89	-
31	Line 67	LP67-LP89	-
32	Line 68	LP67-LP89	-
33	Line 69	LP67-LP89	-
34	Line 70	LP67-LP89	-
35	Line 71	LP67-LP89	-

Data Peralatan		Efek Sistem	
No. Gangguan	Komponen	Load Point yang Dipengaruhi <i>Repair Time</i>	Load Point yang Dipengaruhi <i>Switching Time</i>
37	Line 73	LP67-LP89	-
38	Line 74	LP67-LP89	-
39	Line 75	LP67-LP89	-
40	Line 76	LP67-LP89	-
41	Line 77	LP67-LP89	-
42	Line 78	LP67-LP89	-
43	Line 79	LP67-LP89	-
44	Line 80	LP67-LP89	-
45	Line 81	LP67-LP89	-
46	Line 82	LP67-LP89	-
47	Line 83	LP67-LP89	-
48	Line 84	LP67-LP89	-

Tabel 4.96. Perhitungan Laju Kegagalan (*failure rate*) *Load Point 67* (α_{LP67})

Peralatan	Failure Rate Peralatan (gangguan/tahun/km)	Panjang Saluran Udara (km)	α (gangguan/tahun)
S6	0,003	-	0,003
S7	0,003	-	0,003
S10	0,003	-	0,003
S11	0,003	-	0,003
T67	0,005	-	0,005
Line 64	0,2	0,371	0,0742
Line 65	0,2	0,213	0,0426
Line 66	0,2	0,052	0,0104
Line 67	0,2	0,117	0,0234
Line 68	0,2	0,192	0,0384
Line 69	0,2	0,171	0,0342
Line 70	0,2	0,232	0,0464
Line 71	0,2	0,216	0,0432
Line 72	0,2	0,276	0,0552
Line 73	0,2	0,134	0,0268

Peralatan	<i>Failure Rate</i> Peralatan (gangguan/tahun/km)	Panjang Saluran Udara (km)	α (gangguan/tahun)
Line 74	0,2	0,276	0,0552
Line 75	0,2	0,193	0,0386
Line 76	0,2	0,072	0,0144
Line 77	0,2	0,19	0,038
Line 78	0,2	0,245	0,049
Line 79	0,2	0,314	0,0628
Line 80	0,2	0,376	0,0752
Line 81	0,2	0,132	0,0264
Line 82	0,2	0,298	0,0596
Line 83	0,2	0,148	0,0296
Line 84	0,2	0,194	0,0388
Jumlah Total Laju Kegagalan ($\sum_{i=k} \alpha_i$)			0,8994

Nilai failure rate untuk load point 67 hingga 89 adalah sama, karena nilai failure rate tiap-tiap trafo diasumsikan sama. Jika terjadi gangguan pada pada komponen dalam section ini maka section lain tidak mengalami gangguan atau pemutusan karena beban dapat disupply secara otomatis dari sumber lain.

Tabel 4.97. Perhitungan Durasi Gangguan (U) Load Point 67 (ULP67)

Peralatan	α (fault/yr)	Repaire Time (jam)	Switching Time (jam)	U (jam/tahun)
S6	0,003	10	0,15	0,03
S7	0,003	10	0,15	0,03
S10	0,003	10	0,15	0,03
S11	0,003	10	0,15	0,03
T67	0,005	10	0,15	0,05
Line 64	0,0742	3	0,15	0,2226
Line 65	0,0426	3	0,15	0,1278
Line 66	0,0104	3	0,15	0,0312
Line 67	0,0234	3	0,15	0,0702
Line 68	0,0384	3	0,15	0,1152
Line 69	0,0342	3	0,15	0,1026
Line 70	0,0464	3	0,15	0,1392
Line 71	0,0432	3	0,15	0,1296
Line 72	0,0552	3	0,15	0,1656
Line 73	0,0268	3	0,15	0,0804

Peralatan	α (fault/yr)	Repaire Time (jam)	Switching Time (jam)	U (jam/tahun)
Line 74	0,0552	3	0,15	0,1656
Line 75	0,0386	3	0,15	0,1158
Line 76	0,0144	3	0,15	0,0432
Line 77	0,038	3	0,15	0,114
Line 78	0,049	3	0,15	0,147
Line 79	0,0628	3	0,15	0,1884
Line 80	0,0752	3	0,15	0,2256
Line 81	0,0264	3	0,15	0,0792
Line 82	0,0596	3	0,15	0,1788
Line 83	0,0296	3	0,15	0,0888
Line 84	0,0388	3	0,15	0,1164
Jumlah Total Durasi Gangguan ($\sum_{i=k} U_i$)				2,8172

Nilai durasi gangguan (U) *load point* 67 hingga 89 adalah sama karena berada dalam 1 *section*.

Tabel 4.98. Perhitungan Laju Kegagalan dan Durasi Gangguan *Load Point Section 5*

Load Point	Indeks Keandalan Load Point	
	α (gangguan/tahun)	U (jam/tahun)
Load Point 67	0,8994	2,8172
Load Point 68	0,8994	2,8172
Load Point 69	0,8994	2,8172
Load Point 70	0,8994	2,8172
Load Point 71	0,8994	2,8172
Load Point 72	0,8994	2,8172
Load Point 73	0,8994	2,8172
Load Point 74	0,8994	2,8172
Load Point 75	0,8994	2,8172
Load Point 76	0,8994	2,8172
Load Point 77	0,8994	2,8172
Load Point 78	0,8994	2,8172

Load Point	Indeks Keandalan Load Point	
	α (gangguan/tahun)	U (jam/tahun)
Load Point 79	0,8994	2,8172
Load Point 80	0,8994	2,8172
Load Point 81	0,8994	2,8172
Load Point 82	0,8994	2,8172
Load Point 83	0,8994	2,8172
Load Point 84	0,8994	2,8172
Load Point 85	0,8994	2,8172
Load Point 86	0,8994	2,8172
Load Point 87	0,8994	2,8172
Load Point 88	0,8994	2,8172
Load Point 89	0,8994	2,8172

Dari tabel diatas, kita dapat menentukan nilai SAIFI dan SAIDI pada *Section 4*. Contoh SAIFI pada *load Point 42*, nilai SAIFInya dapat ditentukan dengan mengalikan α LP1 dengan konsumen LP1 dan membagi nilai tersebut dengan jumlah keseluruhan konsumen keseluruhan.

$$SAIFI = \frac{\sum \alpha Ni}{\sum Ni}$$

$$SAIFI_{LP67} = \frac{2,8172 \times 3}{11387} = 0,000236954$$

$$SAIDI = \frac{\sum U_i.Ni}{\sum Ni}$$

$$SAIDI_{LP67} = \frac{0,13371 \times 3}{11387} = 0,000742215$$

Perhitungan SAIFI dan SAIDI untuk *Load Point 67* hingga *Load Point 89* menggunakan cara yang sama. Untuk mencari SAIFI dan SAIDI total *Section 5* dilakukan penjumlahan total SAIFI dan SAIDI tiap *Load Point Section*. Berikut tabel SAIDI dan SAIFI *Section 5*.

Tabel 4.99. Indeks Keandalan (SAIFI dan SAIDI) *Section 5*

No. Load Point	Indeks Keandalan	
	SAIFI (Gangguan/Tahun)	SAIDI (Jam/Tahun)
67	0,00024	0,00074
68	0,00016	0,00049
69	0,00039	0,00124
70	0,00008	0,00025
71	0,01422	0,04453
72	0,00671	0,02103
73	0,00687	0,02152
74	0,01769	0,05542
75	0,01777	0,05567
76	0,00766	0,02400
77	0,00024	0,00074
78	0,00008	0,00025
79	0,01090	0,03414
80	0,00442	0,01385
81	0,00008	0,00025
82	0,00972	0,03043
83	0,00118	0,00371
84	0,01366	0,04280
85	0,00016	0,00049
86	0,00742	0,02326
87	0,01414	0,04429
88	0,00032	0,00099
89	0,01848	0,05789
TOTAL	0,15260	0,47799

Jadi nilai indeks keandalan (SAIFI dan SAIDI) section 5 adalah **0,152599** gangguan/tahun dan **0,4779863** jam/tahun.

Nilai indeks keandalan (SAIDI dan SAIFI) saat setelah penerapan DG dapat ditentukan dengan menjumlahkan jumlah SAIDI semua *section* dan SAIFI semua *section*. SAIFI dihitung dengan menjumlahkan secara total nilai SAIFI *section 1* sampai *section 5*. SAIDI dihitung dengan menjumlahkan secara

total nilai SAIDI *section* 1 sampai *section* 5. Nilainya dapat dilihat pada tabel berikut:

Tabel 4.100. Indek Keandalan (SAIFI dan SAIDI) Feeder GDO 04 dan Palur 01 Dengan PLTSa

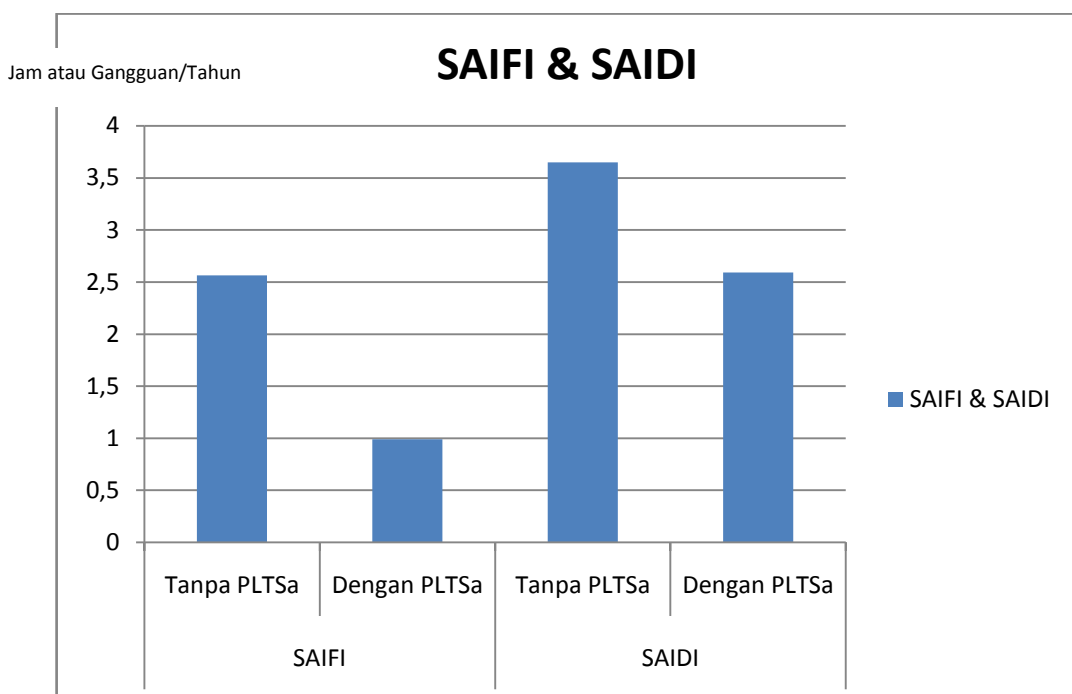
No.	No. Section	Indeks Keandalan Sistem	
		SAIFI (Gangguan/Tahun)	SAIDI (Jam/Tahun)
1	1	0,23880	0,73850
2	2	0,25046	0,26572
3	3	0,05472	0,16928
4	4	0,29475	0,91360
5	5	0,15260	0,47799
TOTAL		0,99132	2,56509

Jadi Untuk penyulang yang dianalisis setelah diterapkan PLTSa diperoleh nilai SAIFI sebesar **0,99132** kali/tahun dan nilai SAIDI sebesar **2,56509** jam/tahun.

Dari perhitungan menggunakan metode *section technique*, kita dapat melihat perbandingan indeks keandalan antara sebelum dan setelah penerapan DG (PLTSa). Setelah terpasang DG (PLTSa), ternyata sangat efektif dalam meningkatkan kualitas indeks keandalan, seperti yang disajikan dalam tabel berikut,

Tabel 4.101. Perbandingan Indek Keandalan (SAIFI dan SAIDI) Feeder GDO 04 dan Palur 01 Saat Sebelum dan Setelah Pemasangan PLTSa

No. Section	Indeks Keandalan Sistem			
	SAIFI		SAIDI	
	Tanpa PLTSa	Dengan PLTSa	Tanpa PLTSa	Dengan PLTSa
1	0,49577	0,23880	0,77703	0,73850
2	0,37709	0,25046	1,06346	2,56509
3	0,37709	0,05472	0,35283	0,16928
4	0,46065	0,29475	0,93851	0,91360
5	0,42083	0,15260	0,51809	0,47799
Total	2,56509	0,99132	3,64992	2,59052



Gambar 4.18. Grafik Indek Keandalan Jaringan Distribusi Tenaga Listrik Sebelum dan Setelah Penerapan DG (PLTSa)

Jadi nilai SAIDI dan SAIFI mengalami perbaikan yang signifikan, hal ini bisa dilihat dari tabel dan gambar diatas yang menyatakan bahwa, SAIFI (*System Average Interruption Frequency Index*) sebelum penetrasi PLTSa adalah 2,56509 Gangguan/tahun setelah penetrasi PLTSa, SAIFI menjadi 0,99132 Gangguan/tahun atau mengalami perbaikan 61,36%. SAIDI (*System Average Interruption Duration Index*) sebelum penetrasi PLTSa adalah 3,64992 Jam/tahun dan setelah penetrasi PLTSa, SAIDI menjadi 2,59052 Jam/tahun atau mengalami perbaikan 29%. Hal ini terjadi karena sebelum penerapan DG, penyulang berkonfigurasi radial dan setelah penerapan DG penyulang berkonfigurasi interkoneksi.